



# C6890 Technologie ochrany prostředí

## III. Technologie sloužící pro zajištění čistoty ovzduší

Ivan Holoubek

RECETOX, Masaryk University, Brno, CR

holoubek@recetox.muni.cz; <http://recetox.muni.cz>

# Sylabus přednášky

Č	Název přednášky	Obsah přednášky	
III.	Technologie sloužící pro zajištění čistoty ovzduší	<b>III.1 Hlavní technologie znečišťující ovzduší</b> <b>III.2 Technologie sloužící pro zajištění čistoty ovzduší</b> III.2.1 Odsířování III.2.2 Denitrifikace III.2.3 Odlučování tuhých částic III.2.4 Úprava paliv III.2.5 Snižování emisí z chemických a petrochemických procesů III.2.6 Snižování emisí z dopravy <b>III.3 Moderní trendy v oblasti zajištění čistoty ovzduší</b>	IH 17/10 06/11

Č	Název přednášky	Obsah přednášky
III.	Technologie sloužící pro zajištění čistoty ovzduší	III.1 Hlavní technologie znečišťující ovzduší



Č	Název přednášky	Obsah přednášky
III.	Technologie sloužící pro zajištění čistoty ovzduší	III.2 Technologie sloužící pro zajištění čistoty ovzduší

# Těžba uhlí v Československu

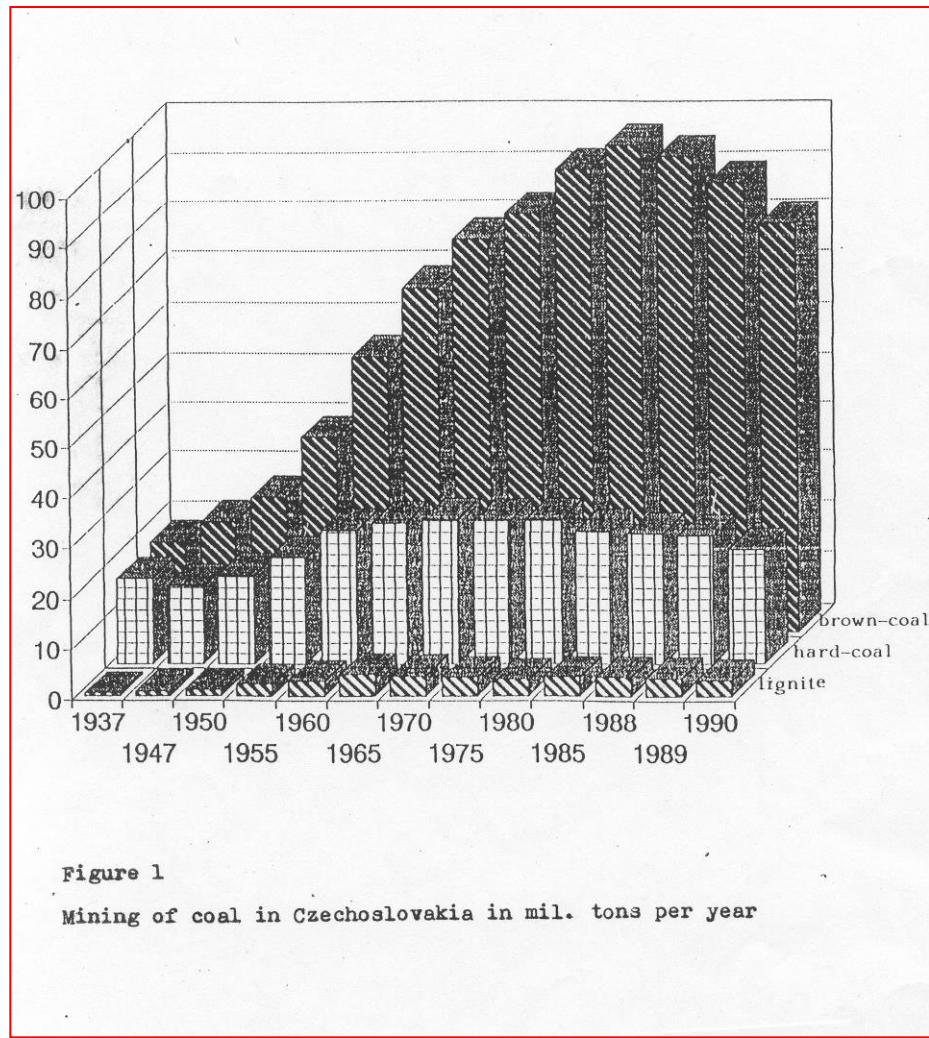


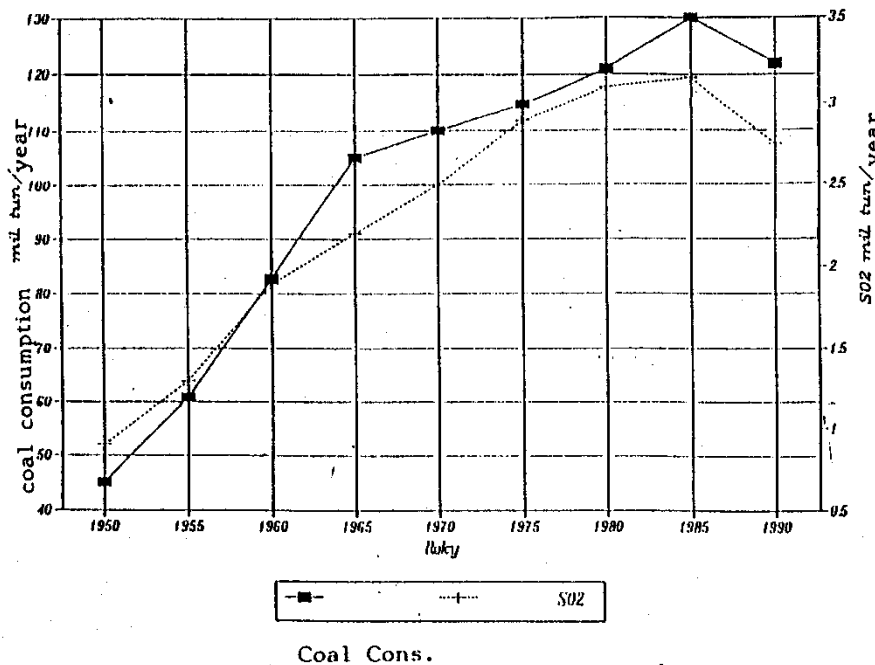
Figure 1

Mining of coal in Czechoslovakia in mil. tons per year

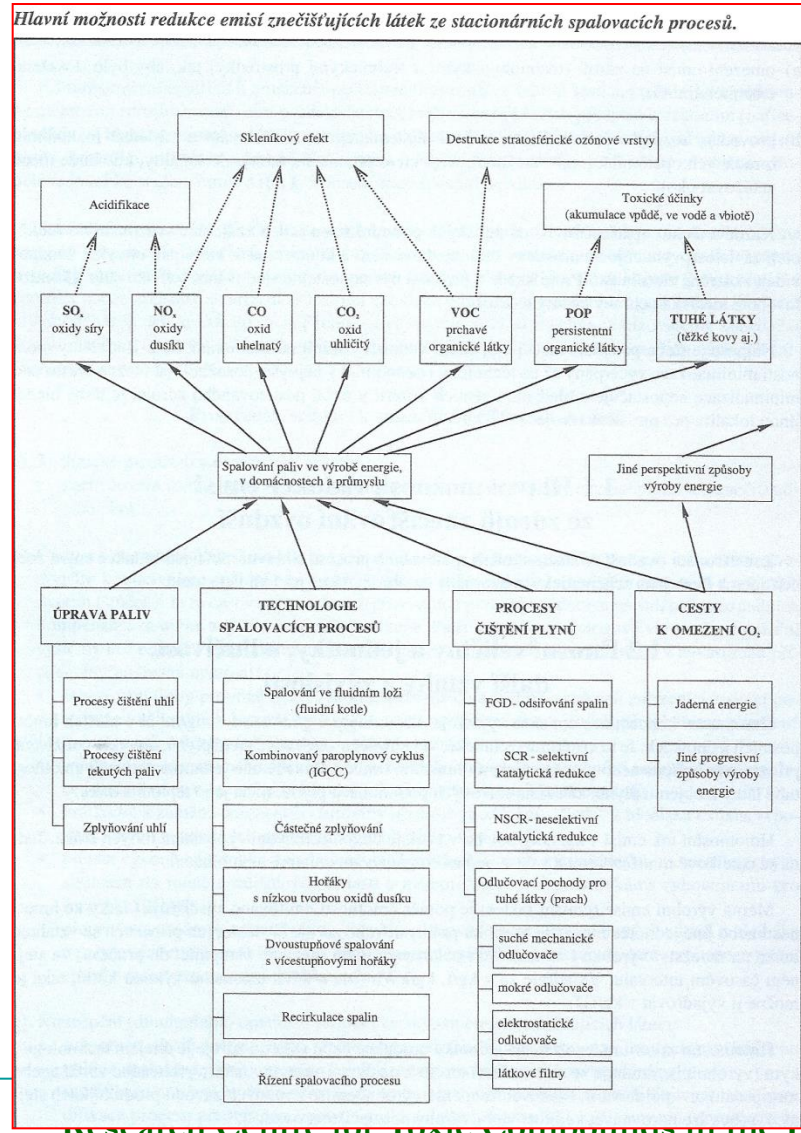
# Emise SO<sub>2</sub> v Československu

Figure 2

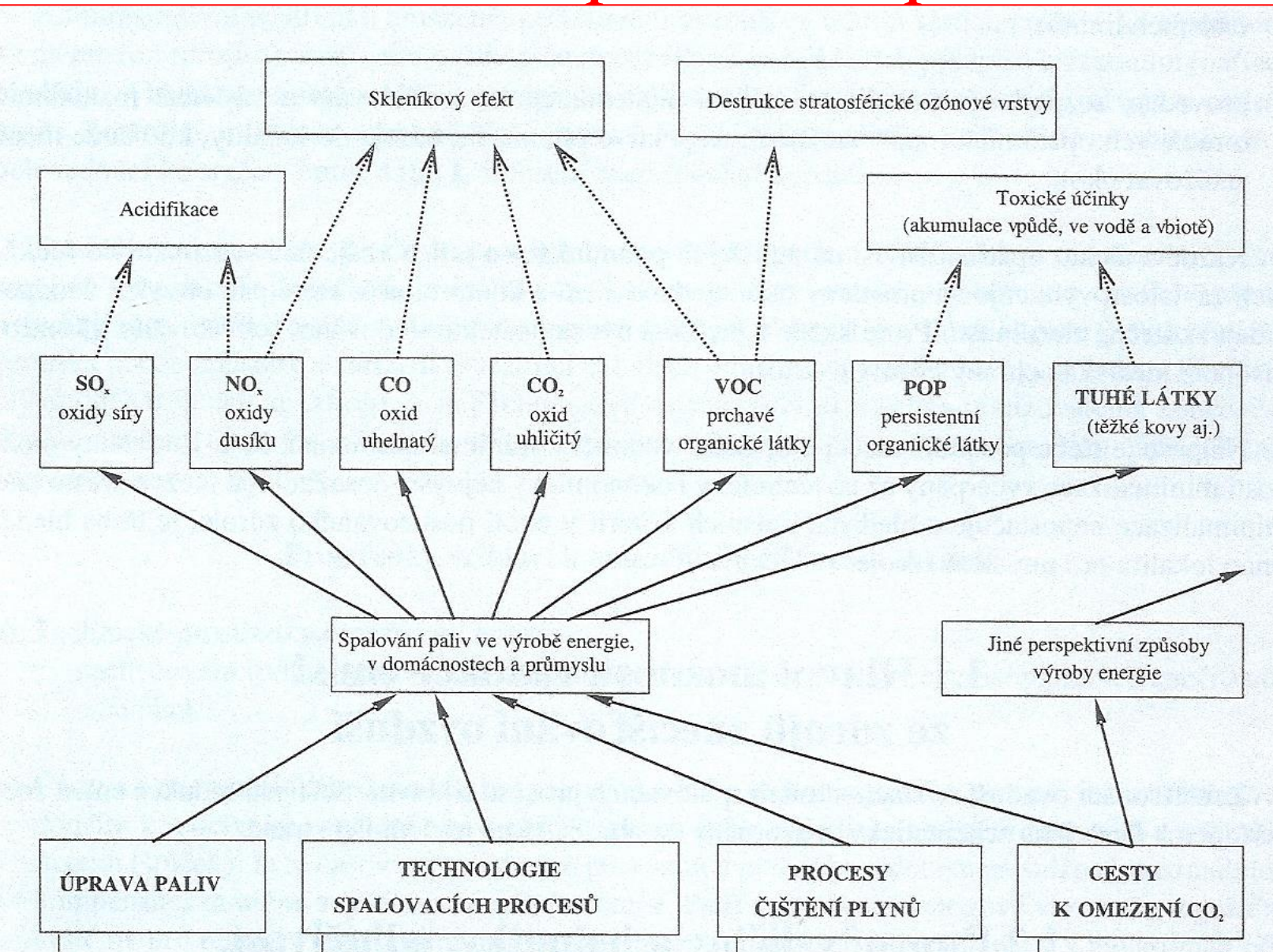
GROWTH of SO<sub>2</sub> EMISSIONS in CSFR through 1950–1990



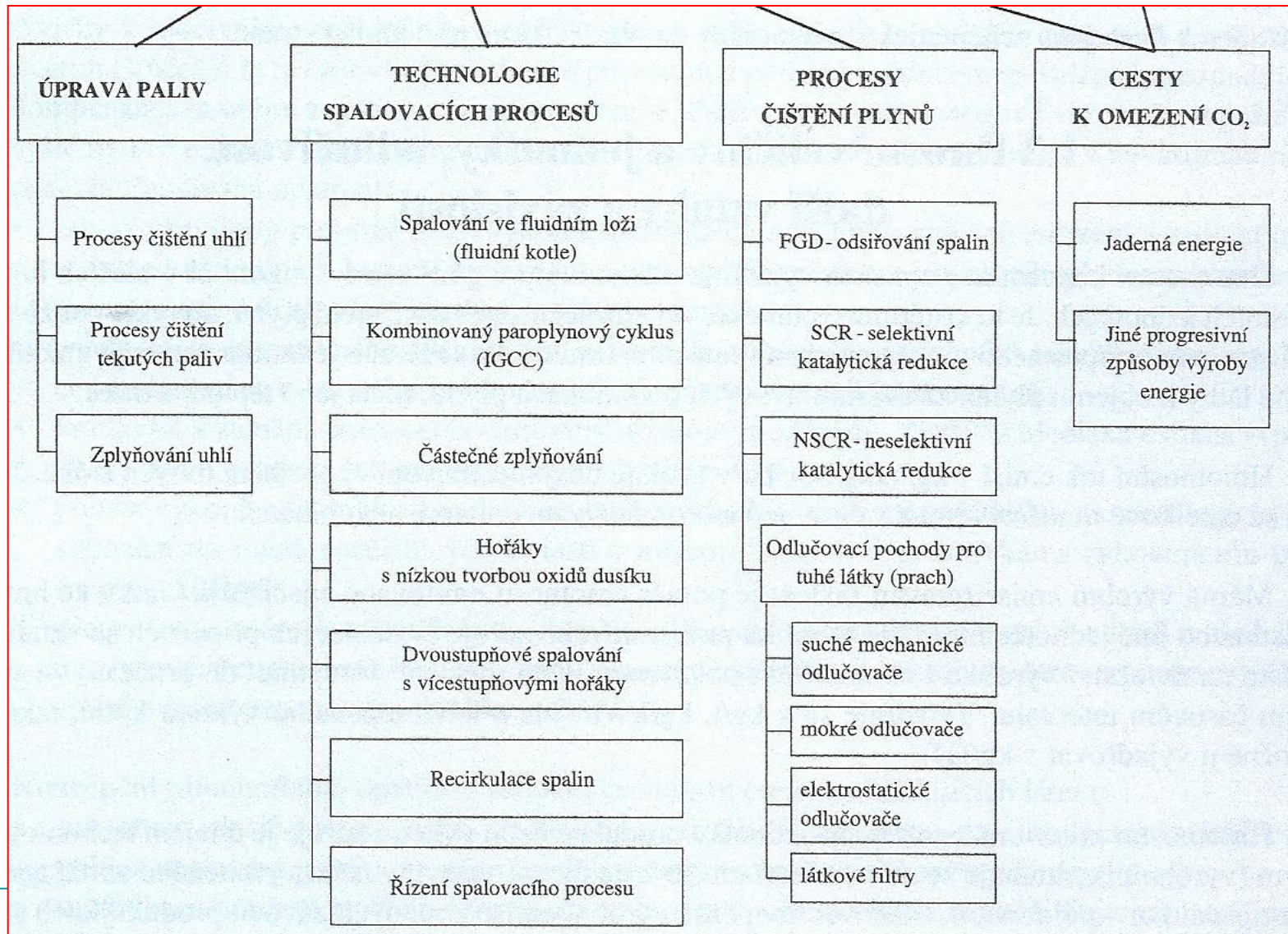
# Možnosti snižování emisí znečišťujících látek ze stacionárních spalovacích procesů



# Možnosti snižování emisí znečišťujících látek ze stacionárních spalovacích procesů



# Možnosti snižování emisí znečišťujících látek ze stacionárních spalovacích procesů



# Procesy desulfurace a denitrifikace

## Objemy zpracovávaných plynů:

- ↳ Spaliny z jednotky 200 MW – V ~ 1 – 1,2 mil. m<sup>3</sup>.h<sup>-1</sup> plynu, T ~ 130 – 180 °C
- ↳ Vysoká vlhkost
- ↳ Značný obsah tuhých příměsí
- ↳ Vysoká korozivost spalin ( SO<sub>2</sub>, SO<sub>3</sub> → H<sub>2</sub>SO<sub>4</sub> (80%)

# Procesy desulfurace a denitrifikace

## Nízká koncentrace odstraňované složky:

### Problémy s účinností:

- ↳  $\text{SO}_2$  – 0,1' % obj.
- ↳  $\text{NO}_x$  - 100' – 1 000' ppm
- ↳ (s) - 10' – 100'  $\text{g} \cdot \text{m}^{-3}$  (před odlučovačem – 10' - 100'  $\text{mg} \cdot \text{m}^{-3}$ )

# Procesy desulfurace a denitrifikace

## Základní charakteristika:

- ↳ extrémní rozměry, V
- ↳ vysoké nároky na korozní odolnost všech komponent
- ↳ vysoké pořizovací i provozní náklady
- ↳ technologie ekonomicky ztrátová (zvýšení ceny energie)



Č	Název přednášky	Obsah přednášky
III.	Technologie sloužící pro zajištění čistoty ovzduší	III.2.1 Odsířování

# Zvláště velké spalovací zdroje

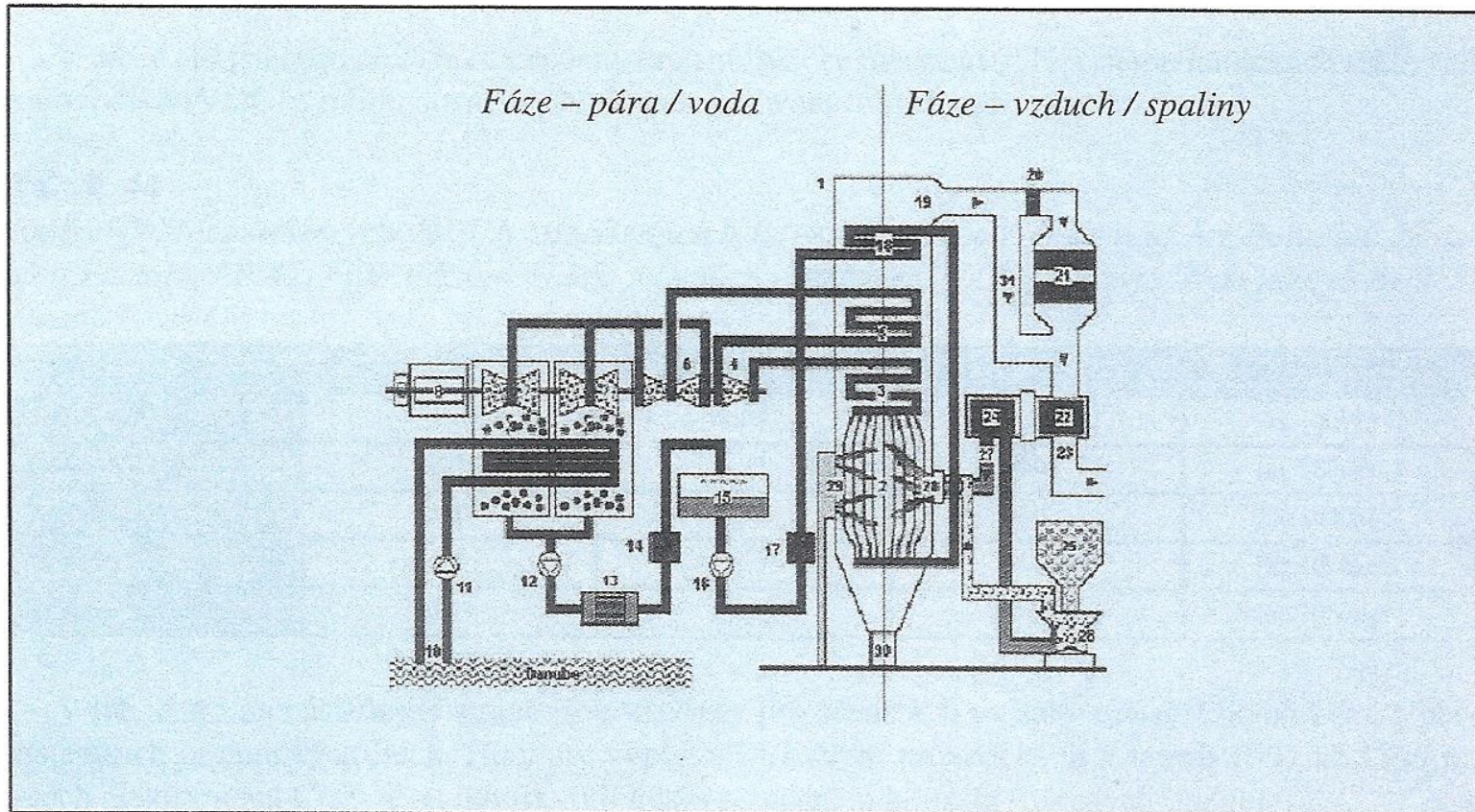
Spalovací zdroje, resp. zdroje spalování paliv se v České republice podle zákona č. 86/2002 Sb. v platném znění zařazují podle tepelného příkonu nebo výkonu do těchto kategorií:

- zvláště velké spalovací zdroje, kterými jsou zdroje znečišťování o jmenovitém tepelném příkonu 50 MW a vyšším bez přihlédnutí ke jmenovitému tepelnému výkonu;
- velké spalovací zdroje, kterými jsou zdroje znečišťování o jmenovitém tepelném výkonu vyšším než 5 MW do 50 MW nespadající do kategorie zvláště velkých spalovacích zdrojů;
- střední spalovací zdroje, kterými jsou zdroje znečišťování o jmenovitém tepelném výkonu od 0,2 MW do 5 MW včetně;
- malé spalovací zdroje, tj. zdroje znečišťování o jmenovitém tepelném výkonu < 0,2 MW.

Pro zařazení do kategorií se příkony nebo výkony jednotlivých zařízení (kotlů) ve zdroji sčítají.

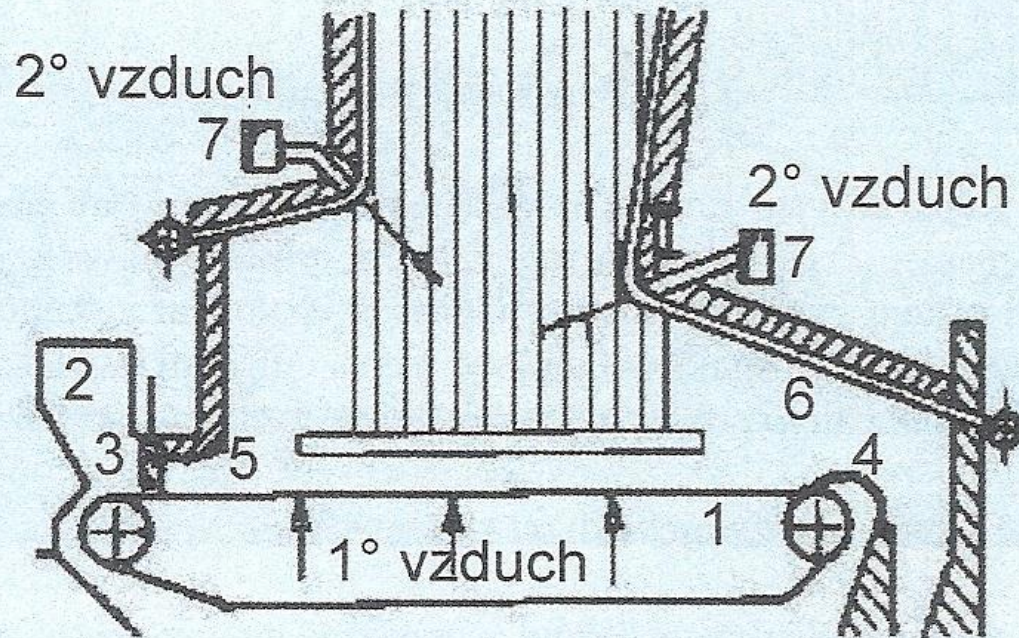
# Zvláště velké spalovací zdroje

Schéma typické moderní elektrárny. Údaje v tabulce označené: fáze pára / voda: 1 – kotel, 2 – topeníště, 3 – vysokotlaký ohřívač, 4 – vysokotlaká turbína, 5 – sekundární přehřívač, 6 – středotlaká turbína, 7 – nízkotlaká turbína, 8 – generátor, 9 – kondenzátor, 10 – chladicí voda, 11 – čerpadlo chladicí vody, 12 – čerpadlo kondenzátu, 13 – čištění kondenzátu, 14 – nízkotlaký ohřívač, 15 – zásobní nádrž napájecí vody, 16 – čerpadlo napájecí vody, 17 – vysokotlaký ohřívač, 18 – zásobník napájecí vody; fáze vzduch / spaliny: 19 – průtok spalin, 20 – rozstřik čpavku, 21 – katalyzátor, 22 – ohřívač vzduchu, 23 – filtr prachu a odstraňování síry, 24 – ohřívač vzduchu, 25 – zásobník uhlí, 26 – uhelné mlýny, 27 – vzduch pro hořáky, 28 – uhelný hořák, 29 – plynový hořák, 30 – odpich škváry, 31 – by-pass.



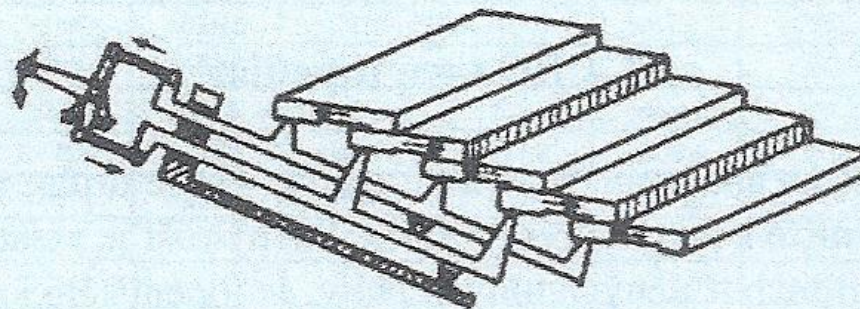
# Topeniště – s pásovým roštěm

Schéma toopeniště s pásovým roštěm. Údaje na obrázku označené: 1 – rošt; 2 – násypka; 3 – hradítko; 4 – jízek; 5 a 6 – přední a zadní klenba; 7 – sekundární vzduch.



# Topeniště – přesuvný rošt

Schéma přesuvného roštu.

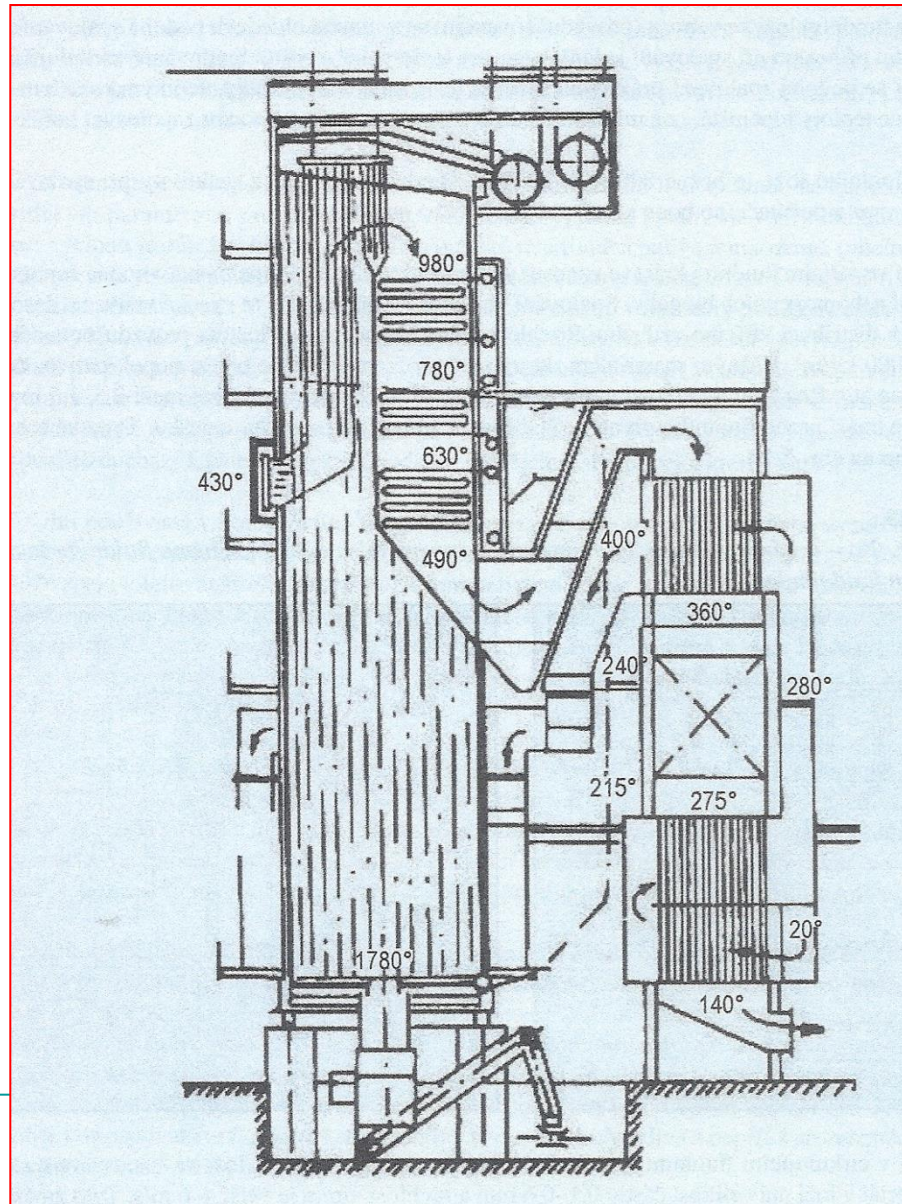


# Topeniště – práškový topeniště

*Varinty práškových topenišť.*

Granulační	Spalování prášku probíhá při poměrně nízkých teplotách v ohništi, takže popeloviny odcházejí z topeniště v tuhému stavu. V okamžiku spálení se ovšem částečka paliva zahřeje krátkodobě na vysokou teplotu, takže popeloviny se roztaží a vlivem povrchového napětí vytvoří kuličky (granule). Ty vlivem chladnějšího okolního prostředí rychle zchladnou a ztuhnou.
Tavičí	Je vývojově mladším typem topeniště vzniklým ve snaze zvětšit intenzitu spalování zvýšením teploty v topeništi, takže popeloviny opouštějí ohniště v tekutém stavu.

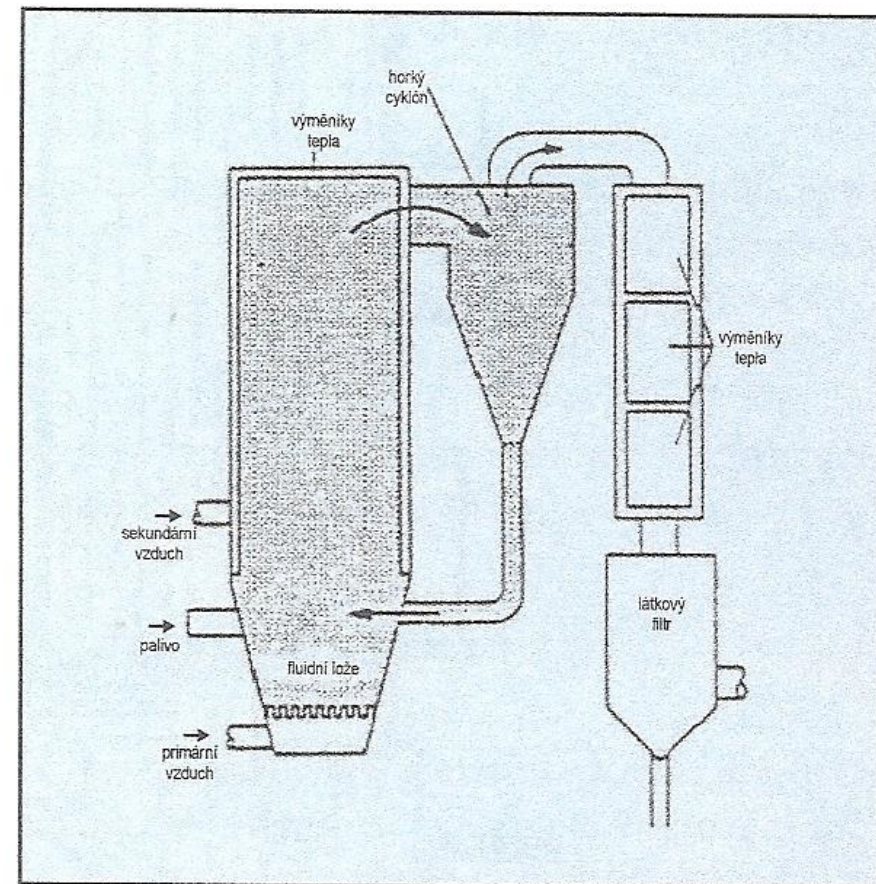
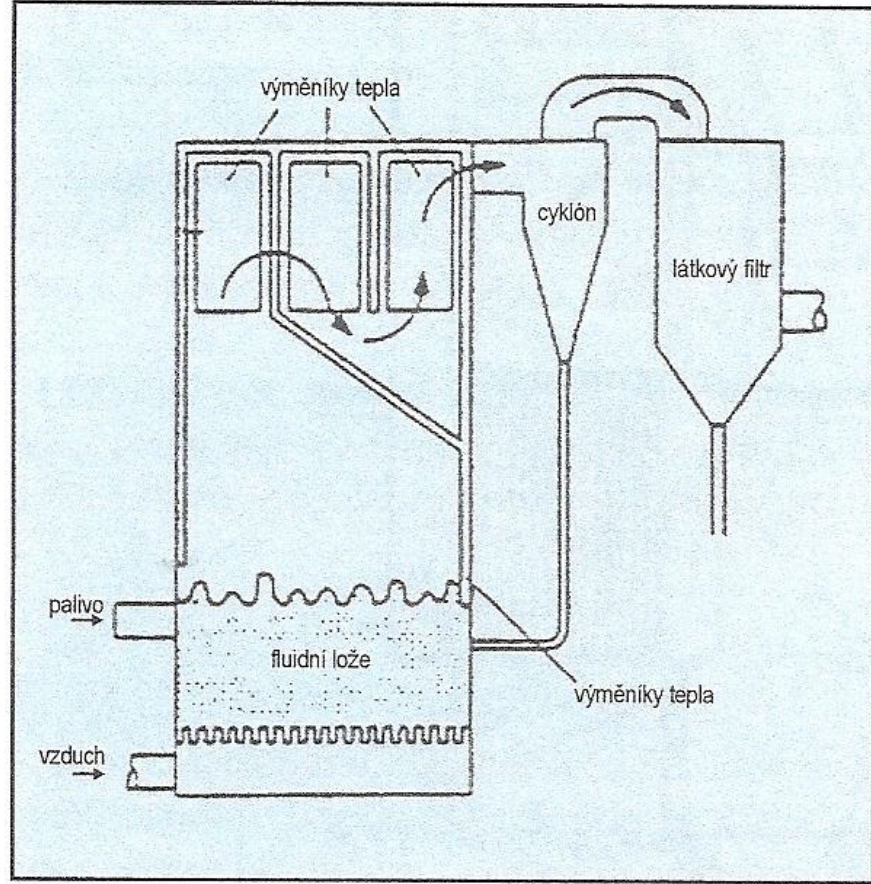
# Topeniště – práškový topeništ'



nment

# Topeniště – fluidní toopeniště

Vlevo (obr. č. 28) – schéma vířícího fluidního lože a vpravo (obr. č. 29) – schéma fluidního kotle s cirkulujícím fluidním ložem.



# Proces

ikace

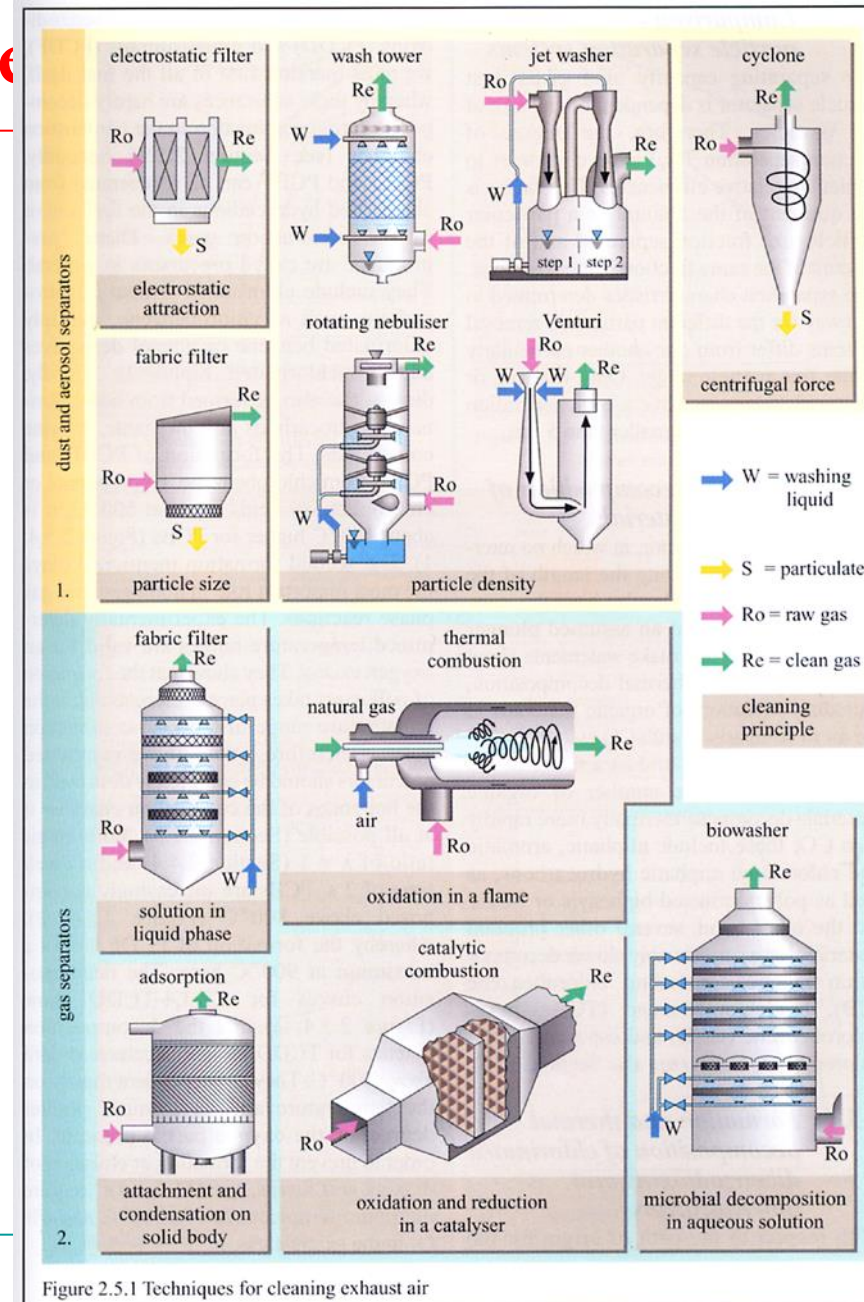


Figure 2.5.1 Techniques for cleaning exhaust air

# Procesy desulfurace

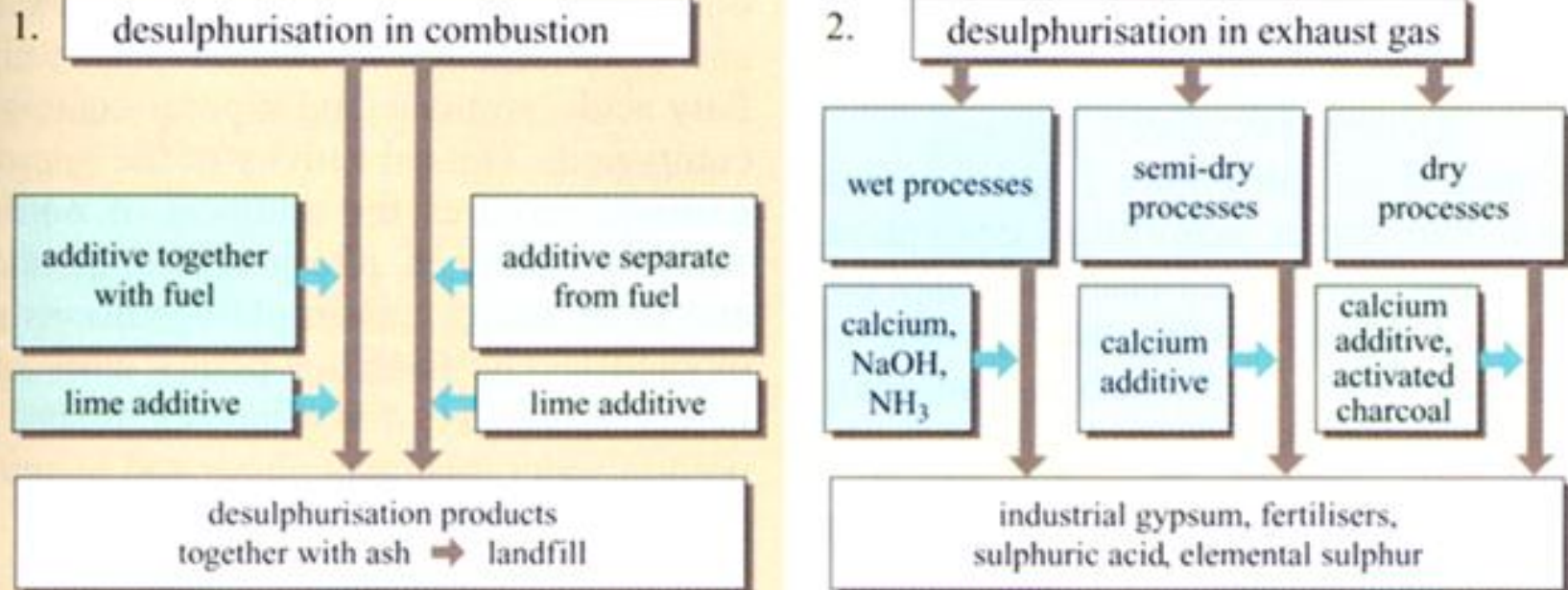


Figure 2.5.7 Desulphurisation processes

# Metody odsířování spalin

Administrativní

Technická

- (1) snižování obsahu S v palivech
  - (2) zplyňování paliv s následným zachycením sulfanu
  - (3) desulfurace spalin
- 
- (2), (3) - technicky reálné
  - (3) - aplikována v širokém měřítku

# Odsiřování spalin

V současnosti jediná metoda širšího využití pro snižování  
S emisí

- ↳ metody regenerativní – aktivní látka cirkuluje mezi absorpcí a regenerací
- ↳ metody neregenerativní – aktivní látka po reakci s SO<sub>2</sub> opouští proces jako produkt odsíření
- ↳ mokré – spaliny přichází do kontaktu s vodním O nebo suspenzí aktivní látky
- ↳ suché – během procesu neklesá T pod rosný bod vody (i metody katalytické)

# Odsířování spalin

## Výhody:

### Regenerativní:

- ↳ malá spotřeba aktivní látky – pouze krytí ztrát (způsobené nežádoucími vedlejšími reakcemi)
- ↳ velmi výhodný produkt odsíření – čistý SO<sub>2</sub> – surovina chemický průmysl

### Neregenerativní:

- ↳ jednodušší zařízení

## Nevýhody:

### Regenerativní: - složitější zařízení

### Neregenerativní:

- ↳ problémy s uplatněním produktu odsíření
- ↳ velká spotřeba aktivní látky

# Odsiřování spalin

## Výhody:

### Suché:

- ↳ vysoká teplota spalin (není nutné je předehyřivat za účelem rozptylu do atmosféry)
- ↳ malá investiční náročnost (řádově menší proti mokrým)

### Mokré:

- ↳ jednoznačně převažují

## Nevýhody:

### Suché:

- ↳ malá účinnost
- ↳ problémy s produktem odsíření

### Mokré:

- ↳ vyšší investiční náklady
- ↳ nízká T odsířených spalin - nutnost přihřívání

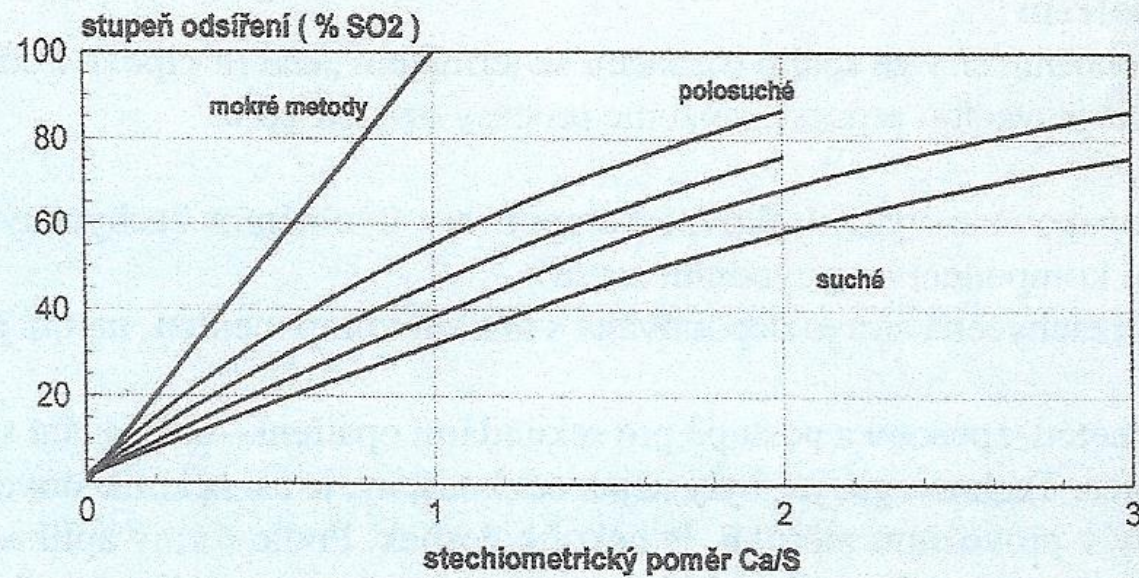
# Přehled technologií odsiřování spalin

*Obecný přehled užívaných technologií podle způsobu záchytu oxidů síry. Údaje v tabulce označené: [1] Limestone Injection Multistage Burner; [2] Gas Reburning – Sorbent Injection.*

Typ	Princip	Příklad, název technologie
Metody aditivní	- injektáž vápna či vápence nad zónu plamene - injektáž ZP, vody a sek. vzduchu s aditivem - fluidní spalování uhlí s přídavkem $\text{CaCO}_3$ ve fluidní vrstvě - s cirkulující fluidní vrstvou	LIMB [1]  GR – SI [2]
Polosuché a suché metody	- vstříkování aktivovaného vápna do spalin a následná filtrace tuhé fáze - rozprašovací sušárny	Niro-Atomizer  Fläkt
Absorpční, mokré procesy	neregenerativní, zachycená síra je vázána v produktu procesu regenerativní, aktivní komponenta je regenerována pro opětovné použití	
Katalytické metody	katalytická oxidace $\text{SO}_2$ na $\text{SO}_3$	Cat-ox  Kyioura  Chiyoda  Haldor-Topsøe
Adsorpční procesy	regenerativní adsorpce např. na aktivním koksu a regenerace párou nebo horkým pískem	Bergbau – Forschung

# Přehled technologií odsiřování spalin

Účinnost odsíření v závislosti na poměru Ca/S.



# Přehled technologií odsiřování spalin

*Chemismus absorpcních procesů pro energetiku.*

Typ	Princip procesu	Název
vápníkové vypírky pH 8–10 $L/G = 2\text{--}8 \text{ l m}^{-3}$ $\text{CaO/S} = 1\text{--}1,25$ $\eta = 70\text{--}92 \%$	vápno: $\text{SO}_2 + \text{Ca}(\text{OH})_2 \rightarrow \text{CaSO}_3 + \text{H}_2\text{O}$ vápenec: $\text{SO}_2 + \text{CaCO}_3 + \text{H}_2\text{O} \rightarrow \text{CaSO}_3 + \text{CO}_2 + \text{H}_2\text{O}$  $2 \text{CaSO}_3 + \text{O}_2 \rightarrow \text{CaSO}_4$ $\text{CaSO}_3 + \text{SO}_2 + \text{H}_2\text{O} \rightarrow \text{Ca}(\text{HSO}_3)_2$ $2 \text{Ca}(\text{HSO}_3)_2 + \text{O}_2 \rightarrow \text{CaSO}_4 + \text{H}_2\text{SO}_3$	SHL Babcock MHI
horčíkové vypírky pH 6–10 $L/G = 2\text{--}8 \text{ l m}^{-3}$ $\text{MgO/S} = 1\text{--}1,1$ $\eta = > 95 \%$	$\text{MgO} + \text{H}_2\text{O} \rightarrow \text{Mg}(\text{OH})_2$ $\text{Mg}(\text{OH})_2 + \text{SO}_2 \rightarrow \text{MgSO}_3$ , 6 nebo 3 $\text{H}_2\text{O}$ $\text{MgSO}_3 \rightarrow \text{MgO} + \text{SO}_2$ $n \ 2 \text{MgSO}_3 + \text{O}_2 \rightarrow \text{MgSO}_4$ $2 \text{MgSO}_4 + \text{C} \rightarrow 2 \text{MgO} + 2 \text{SO}_2 + \text{CO}_2$ $[\text{MgSO}_4 + \text{Ca}(\text{OH})_2 \rightarrow \text{CaSO}_4 + \text{Mg}(\text{OH})_2]$ *	CHEMICO NIOGAZ MHI Waagner-Biró * RCE
alkalické vypírky	$\text{SO}_2 + \text{Na}_2\text{SO}_3 + \text{H}_2\text{O} \rightarrow 2 \text{NaHSO}_3$ $2 \text{NaHSO}_3 \rightarrow \text{Na}_2\text{SO}_3 + \text{SO}_2 + \text{H}_2\text{O}$ $\text{NaHSO}_3 + \text{NaOH} \rightarrow \text{Na}_2\text{SO}_3 + \text{H}_2\text{O}$ $2 \text{Na}_2\text{SO}_3 + \text{O}_2 \rightarrow 2 \text{Na}_2\text{SO}_4$  $\text{SO}_3^{2-} + \text{SO}_2 \rightarrow 2 \text{HSO}_3^-$ $\text{SO}_3^{2-} + 1/2 \text{O}_2 \rightarrow \text{SO}_4^{2-}$ $\text{OH}^- + \text{HSO}_3^- \rightarrow \text{SO}_3^{2-} + \text{H}_2\text{O}$ $\text{SO}_4^{2-} + \text{Ca}(\text{OH})_2 \rightarrow \text{CaSO}_4 + \text{H}_2\text{O}$	Wellman-Lord  dvojí alkálie GM Dowa Minning
	$4 \text{NH}_4\text{OH} + 2 \text{SO}_2 + \text{O}_2 \rightarrow 2 (\text{NH}_4)_2\text{SO}_4 + \text{H}_2\text{O}$	Walther

# Suchá aditivní vápencová metoda

Dávkování jemně mletého vápence, event. dolomitu do spalovacího prostoru → vazba  $\text{SO}_x$  na  $\text{Ca}^{2+}$ .

$\text{CaCO}_3$  odchází se spalinami do elektrofiltrů, kde se spolu s popílkem odloučí a deponuje.

# Fluidní spalování s přídavkem vápence

Modifikace suché metody - kombinace fluidního spalování tuhých paliv a přídavku aditiv do spalovacího prostoru

Výhoda: delší doba zdržení paliva i aditiva v horké zóně



- lepší zreagování aditiva (při optimálním mletí a přebytku 1,5 až 85 %)
- nižší T hoření ( $800 - 850^{\circ}\text{C}$ ) + dlouhá doba zdržení uhelných částic v kotli
- možnost spalování uhlí již od výhřevnosti  $6 \text{ MJ} \cdot \text{kg}^{-1}$  (tedy i uhlí s vysokým obsahem popela  $> 70\%$  - nelze jinak )

# Fluidní spalování s přídavkem vápence

3 typy fluidního spalování:

- ↳ ve stacionární vrstvě
- ↳ v expandované vrstvě
- ↳ tlakově fluidní spalování

Stacionární vrstva – jednostupňový proces – přívod veškerého spalovacího vzduchu pod fluidní vrstvu (palivo aditivum)

Expandovaná vrstva – vyšší rychlosť fluidizačního media – tím ředění fluidní vrstvy, která zaujímá podstatně větší prostor

Tím se zvyšuje doba setrvání částic v topeništi.

Spalovací vzduch se přivádí vícestupňově → vyšší účinnost spalování, odsíření, snížení emise  $\text{NO}_x$ .

# Fluidní spalování s přídavkem vápence

Tlakové fluidní spalování:

Zatím nejdokonalejší varianta

Zvýšený tlak - lepší přestup tepla, vyšší a účinnost spalování a odsíření , snížení emise NO<sub>x</sub>

Výhodné v paroplynovém cyklu (zvýšení energetické účinnosti na 38 – 42 % )

Účinnost závisí na účinnosti plynové turbiny a tím i na T spalin.

# Fluidní spalování s přídavkem vápence

Je nutné spalinu z fluidního kotle ( $850\text{ }^{\circ}\text{C}$ ) přihřívat (spalováním zemního plynu) na  $100\text{ }^{\circ}\text{C}$  (i výše).

## Výhody fluidní metody:

- ↳ jednoduchost
- ↳ bez přihřívání

## Nevýhody:

- ↳ nevyužitelný produkt odsíření - směs sádrové, siřičitany,  $\text{CaCO}_3$ , popílky

# Fluidní spalování s přídavkem vápence

3 základní rovnice:



Účinnost vazby  $\text{SO}_x$  na  $\text{Ca}^{2+}$  je velmi nízká.

- ↳ ~ T, jemnosti mletí  $\text{CaCO}_3$  (optimum < 60 mm), době zdržení, přebytku aditiva
- ↳ ( 4x proti stechiometrii ~ 60 % odsíření, při obvyklém 1,5 – 2 – násobku – 30 %, výjimečně 50 %)
- ↳ Jednoduchost postupu, nutná je však rekonstrukce odlučovače – aditivum zvyšuje jeho zátěž + změna kvality odlučovaných částic – větší lepivost.

Překonaná ⇒ využití pouze jako intervenční metoda – *dočasné provozování v době kritických meteorologických stavů – rychlé najetí, výhodnější ekonomicky.*

# Rozprašovací absorpcie

Přechod do suché aditivní k mokré

Nástřik vápenného mléka do horkých spalin



Absorpce  $\text{SO}_2$ , částečná oxidace na  $\text{CaSO}_4$ , současně odchází k odpaření vody.



V následném elektrofiltru se zachycuje směs  $\text{CaSO}_4 + \text{CaSO}_3$  + popílku současně s nezreagovaným  $\text{CaO}$ .



Pro zlepšení stupně zreagování  $\text{CaO}$  se část zachyceného úletu recykuje.

80 % odsíření (při 1,8 násobku stechiometrického poměru) při  $T$  ochlazených spalin o 5-10 °C vyšší než jejich rosný bod.

# Rozprašovací absorpce

## Nevýhoda rozprašovací absorpce:

- ↳ Nevyřešené využití produktů odsíření
- ↳ Účinnost 80% do budoucna nízká

## Perspektiva – malé a střední energetické jednotky

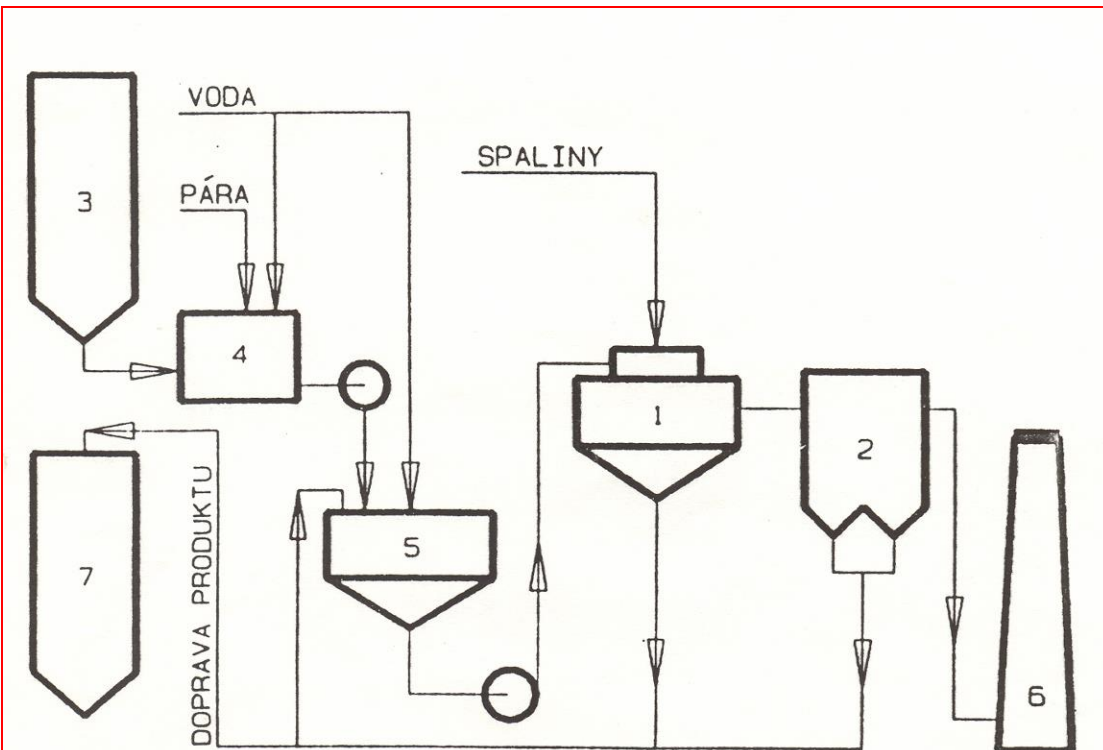
### 2 varianty (dle umístění odlučovače):

- ↳ před vlastní rozprašovací sušárnu zařazen tkaninový odlučovač – čistší odloučení
- ↳ za ní – výrazné zlepšení odlučovací schopnosti následkem přidané vlhkosti

# Rozprašovací absorpce

Nová varianta - firma Tampella: neaplikuje se vápno, ale mletý vápenec, který se zavádí do topeniště - dochází ke kalcinaci na CaO - částečná vazba  $\text{SO}_x$  již v této fázi - následuje aktivační reaktor - nástřik vody do spalin dále - jako v rozprašovací sušárně

# Rozprašovací absorpcie



Obr.2. Schema rozprašovací absorpcie

- |                   |                         |                |
|-------------------|-------------------------|----------------|
| 1 - rozpr.sušárna | 4 - hašení vápna        | 7 - zásobník   |
| 2 - elektrofiltr  | 5 - mísicí nádrž        | 8 - zás.pneum. |
| 3 - zásobník CaO  | 6 - nastř.nádrž dopravy |                |

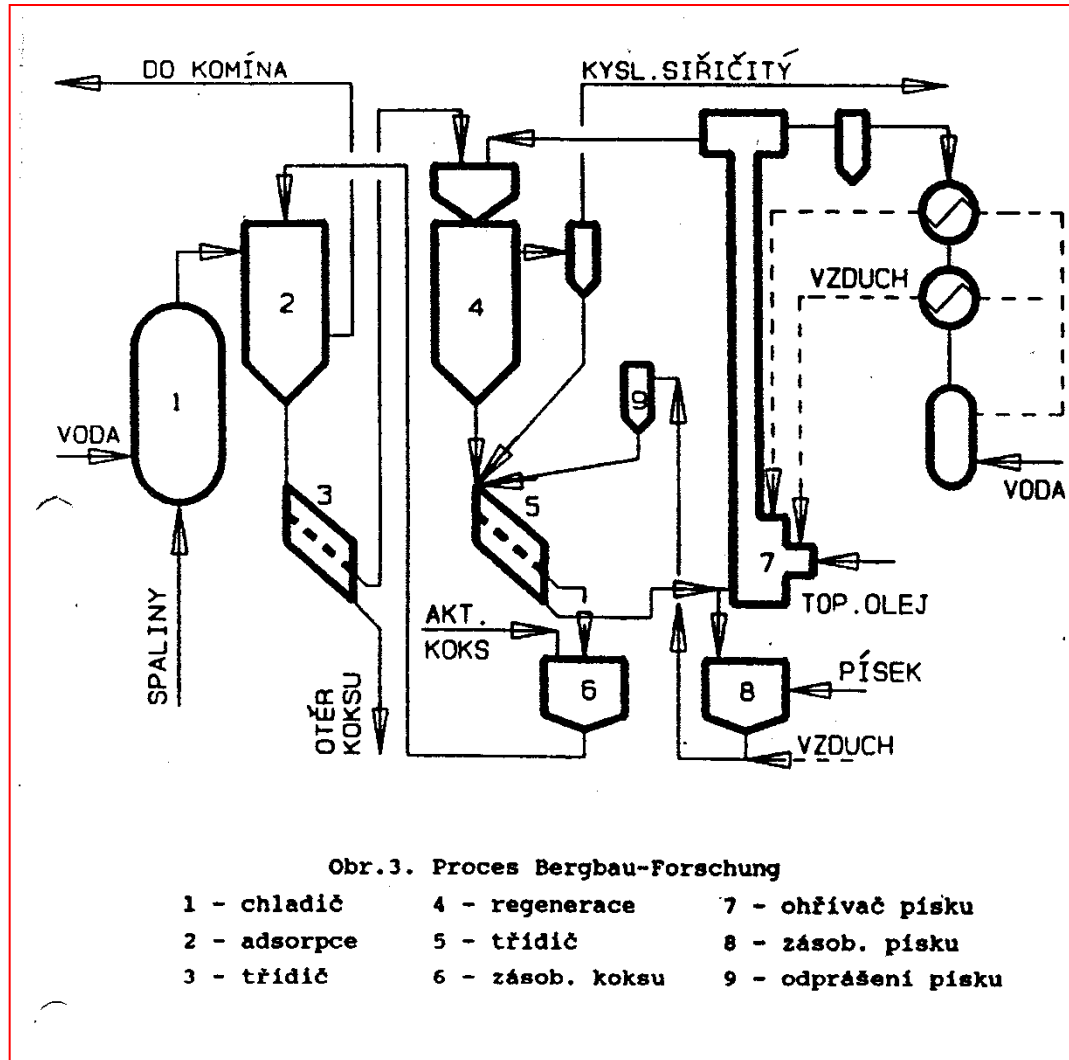
# Proces Bergbau - Forschung

Sorpce  $\text{SO}_2$  na aktivním koksu + oxidace  $\text{O}_2$  ze spalin na  $\text{H}_2\text{SO}_4$

Ohřev spalin vlastní reakcí  
Regenerace koksu horkým pískem ( $650^\circ$ ) – redukce  $\text{H}_2\text{SO}_4$  na  $\text{SO}_2$  uhlíkem aktivovaného koksu (částečné spotřebování)

Komplikovaná metoda,  
náročná na energii i na spotřebu koksu, koroze (absorpce pod teplotou rosného bodu  $\text{H}_2\text{SO}_4$ )

Neperspektivní.



# Mokré metody

Mnoho metod, jen málo do realizace

## Vápno – vápencová metoda

Rozvinutí suchých metod

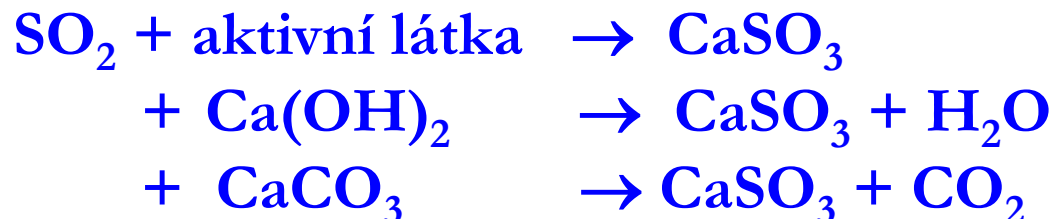
Pračky s prací kapalinou – suspenzí vápenného mléka

- ↳ Japonsko – nedostatek přírodního sádrovce - získání technicky využitelného sádrovce jako produktu odsíření
- ↳ USA - preferovány technologie produkovající odpadní kal – směs  $\text{CaSO}_3 + \text{CaSO}_4$  + nezreagovaný  $\text{CaO}$  - odstranění vody a ve vodě rozpustných látek  $\Rightarrow$  deponie

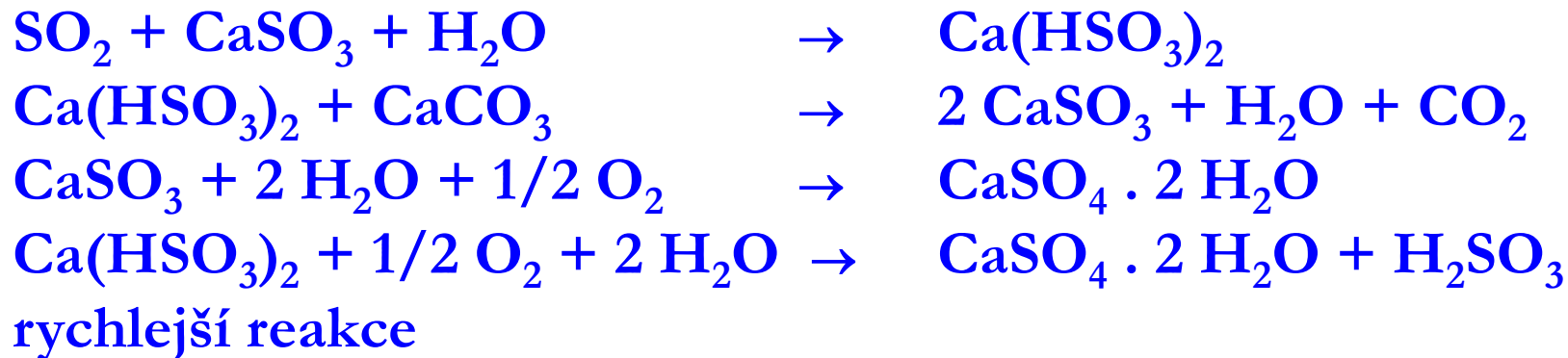
V současnosti – spojení obou trendů  $\Rightarrow$  produkce sádrovce

# Mokré metody

Dosud nejasněný mechanismus:



Dále:



# Mokré metody

## Nevýhody:

- ↳ vysoký zkrápěcí poměr (malá rozpustnost  $\text{CaCO}_3$  a  $\text{CaSO}_3$ )  
- nízká koncentrace aktivní látky  $\text{Ca}^{2+}$
- ↳ tvoří se usazeniny  $\text{CaSO}_4$  – komplikace při provozu
- ↳ prací roztok – vysoké pH  $\Rightarrow$  zvýšená tvorba  $\text{CaSO}_3$  na úkor  $\text{Ca}(\text{HSO}_3)_2$   $\Rightarrow$  nedostatečná oxidace

# Mokré metody

Pro zlepšení  $\Rightarrow$  použití aditiv:

Anorganická:

$\text{MgSO}_4$  – 0.1 mol. l<sup>-1</sup> snižuje tvorbu úsad – udržuje prací systém v nenasyceném stavu co do obsahu  $\text{CaSO}_4$



- umožňuje rychlejší vázání  $\text{SO}_2$  a převádí  $\text{Ca}^{2+}$  do roztoku:



# Mokré metody

**Nevýhoda: citlivost na  $\text{Cl}^-$ ,  $\text{F}^-$  ve spalinách, nutnost odstranění v samostatném předpíracím okruhu**

**Organická:**

s K mezi  $\text{H}_2\text{CO}_3$  a  $\text{H}_2\text{SO}_3$

**Nevýhoda aditiv: tvorba drobných krystalů  $\text{CaSO}_4$ , které se špatně odvodňují**

**organické kyseliny  $\Rightarrow$  OV – nutno čistit**

# Mokré metody

## Odlišnosti vápno – vápencových procesů:

- ↳ aditiva
- ↳ způsob vedení plynu a kapaliny v absorbéru
- ↳ způsob dělení  $\text{SO}_4^{2-}$  a  $\text{SO}_3^{2-}$
- ↳ způsob odvodňování sádrovce

## Výhoda:

- ↳ převádějí  $\text{Ca}^{2+}$  v roztok ve formě příslušné organické soli
- ↳ příznivě ovlivňují nasycenosť roztoku síranem

# Mokré metody

Tvorbou  $\text{CaSO}_3$  a  $\text{CaSO}_4$  se regeneruje volná kyselina

Dodává se pouze množství kryjící ztráty při odtahování  $\text{CaSO}_4$ .

Organická aditiva: kyselina benzoová, kyselina citronová, kyselina adipová

# Mokré metody

## Proces SHL: HCOOH

Převádí  $\text{CaCO}_3$  do čirého roztoku + pufrace roztoku na pH  
příznivé pro tvorbu  $\text{HSO}_3^-$  a oxidaci na  $\text{SO}_4^{2-}$

Protiproud – tvorba  $\text{HSO}_3^-$  a jeho oxidace na  $\text{SO}_4^{2-}$

Surovina:  $\text{CaCO}_3$  – jemně mletý, (90% pod 60 mm), 1,03 – 1,07  
nadbytek

# Mokré metody

Produkt: sádrovec –  $\text{CaSO}_4 \cdot 2\text{H}_2\text{O}$



usazení nebo hydrocyklon



vakuový filtr nebo odstředivky



promytí vodou ( $\text{Cl}^- < 100 \text{ mg}\cdot\text{kg}^{-1}$ )



energosádrovec



sušení, briketace

# Mokré metody

## Nevýhoda:

- ↳ potřeba velmi kvalitního magnezitu
- ↳ eroze materiálu
- ↳ velká energetická náročnost

Dosud nenašel uplatnění.

# Proces SHL (Saarberg – Holter – Lurgi)

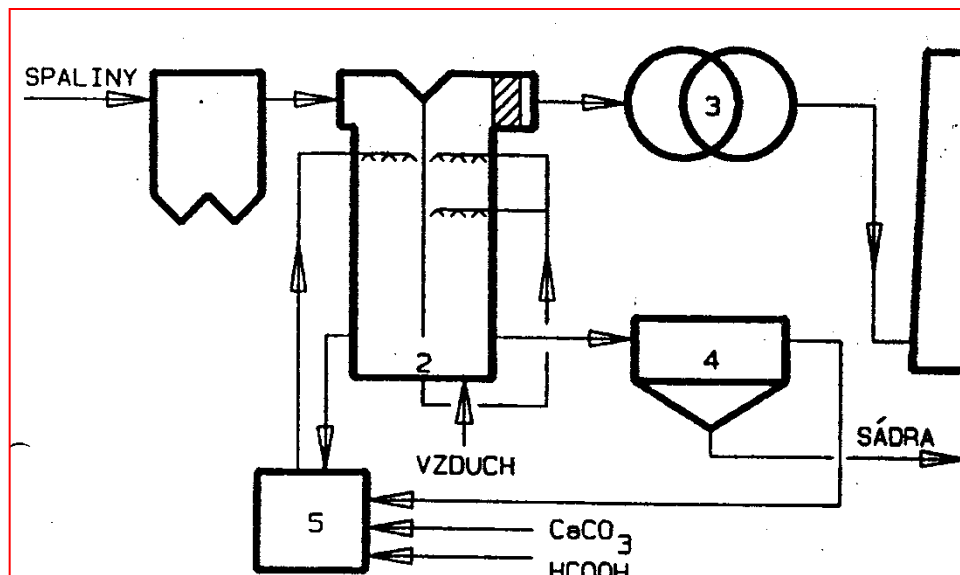
Absorbér – kombinace  
souprudé a protiproudé  
absorpce

HCOOH – převádí  
nerozpustný  $\text{CaCO}_3$  na  
dobře rozpustný  
 $\text{Ca}(\text{COOH})_2$

Umožňuje dosažení vysoké  
koncentrace  $\text{Ca}^{2+}$  v  
roztoku

Nižší zkrápěcí poměr

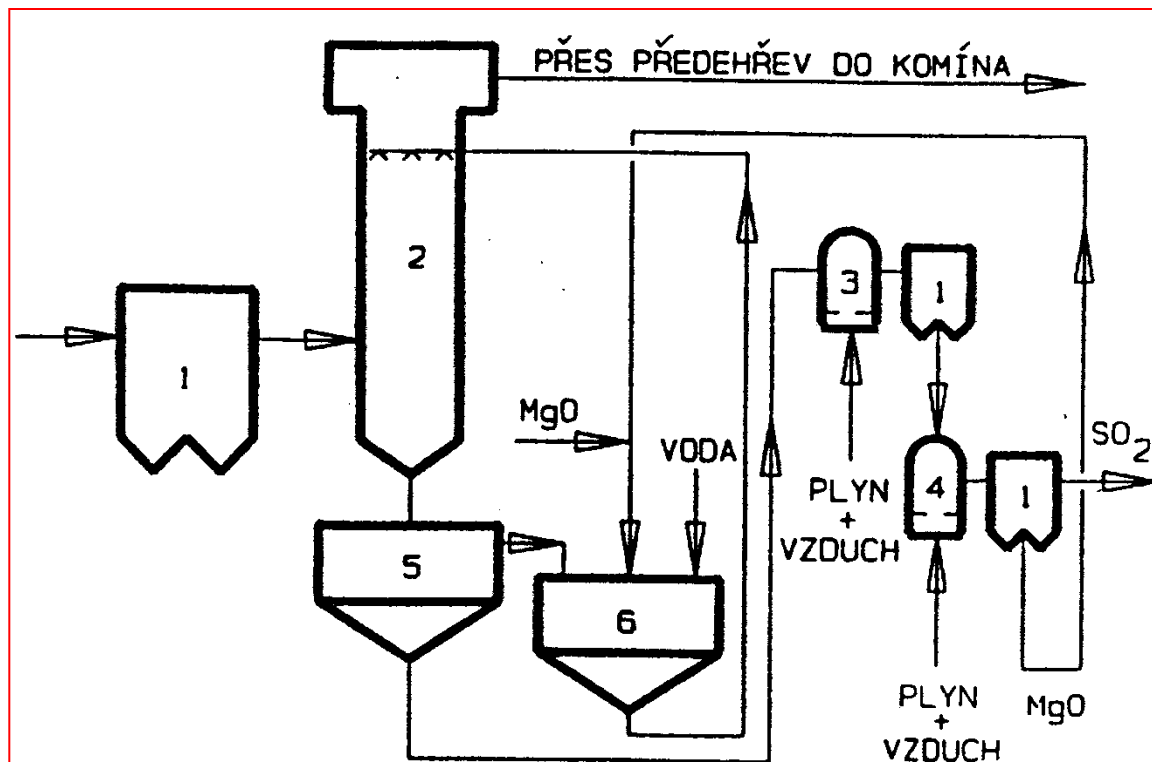
Souprud – největší  
zkrácení doby zdržení  
v oblasti vysokého pH (5  
a více) – snižuje tvorbu  
 $\text{CaSO}_3$



Obr.4. Schema procesu SHL

1 - elektrofiltr 3 - REGAVO 5 - příprava roztoku  
2 - absorbér 4 - filtrace a zpracování sádrovce

# Magnezitový proces NIIOGAZ



Obr.5. Magnezitový proces NIIOGAZ

- |                  |                |                    |
|------------------|----------------|--------------------|
| 1 - elektrofiltr | 3 - fl.sušení  | 5 - izolace kryst. |
| 2 - absorbér     | 4 - fl.rozklad | 6 - přípr.roztoku  |

# Magnezitový proces NIIOGAZ

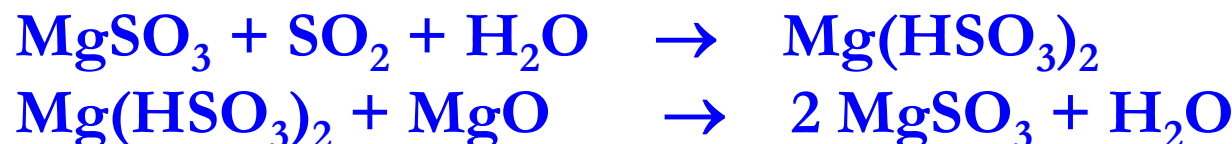
## Regenerace:

1. stupeň – zbavení volné vlhkosti a krystalové vody
2. stupeň - kalcinace

Rozklad  $\text{MgSO}_3$  - 200 – 600 °C

Nutnost rozkladu  $\text{MgSO}_4$

800 – 1 000 °C



# Magnezitová metoda

Regenerativní proces:

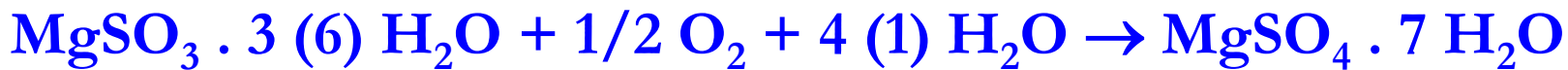
Absorpce  $\text{SO}_2$  v suspenzi  $\text{MgO}$

Regenerace:

Krystaly  $\text{MgSO}_3$  se tepelně rozkládají na :

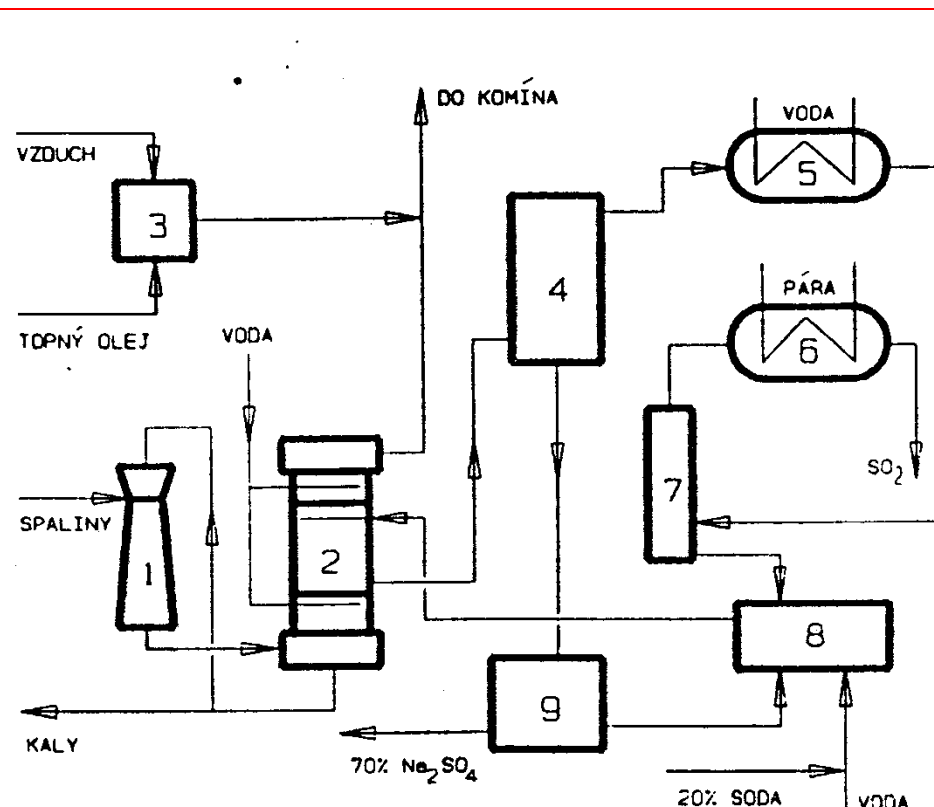


$T > 800^\circ\text{C}$ , redukční atmosféra



Žádoucí – hexahydrtát ( $T < 42,5^\circ\text{C}$ )

# Proces Wellman-Lord



Obr.6. Proces Wellman-Lord

- |                    |                |                    |
|--------------------|----------------|--------------------|
| 1 - pračka Venturi | 4 - odparka    | 7 - vypuz.kolona   |
| 2 - absorbér       | 5 - kondenzace | 8 - příprava rozt. |
| 3 - ohřev spálín   | 6 - ohřívák    | 9 - krystalizátor  |

# Proces Wellman-Lord

## Jednoduchý proces



Vratná reakce, při vyšší T  $\Rightarrow$  regenerace pracího roztoku  
(odparka)  $\Rightarrow \text{SO}_2$  (80 – 90 %) + krystalický  $\text{Na}_2\text{SO}_3$

Nežádoucí vedlejší produkt: oxidace na  $\text{SO}_4^{2-}$   $\Rightarrow$  krystalizace

Spolehlivá, účinnost > 90%

Co s  $\text{Na}_2\text{SO}_4$  – 0,1 kg na 1 kg  $\text{SO}_2$ , energetická náročnost

# Čpavkový proces Walther

Mokrá amoniakální vypírka:



1. absorbér – dochlazení na 60 °C,

vyprání  $(\text{NH}_4)_2\text{SO}_3$

2. absorbér – vyprání zbytku,  
zachycení úletu

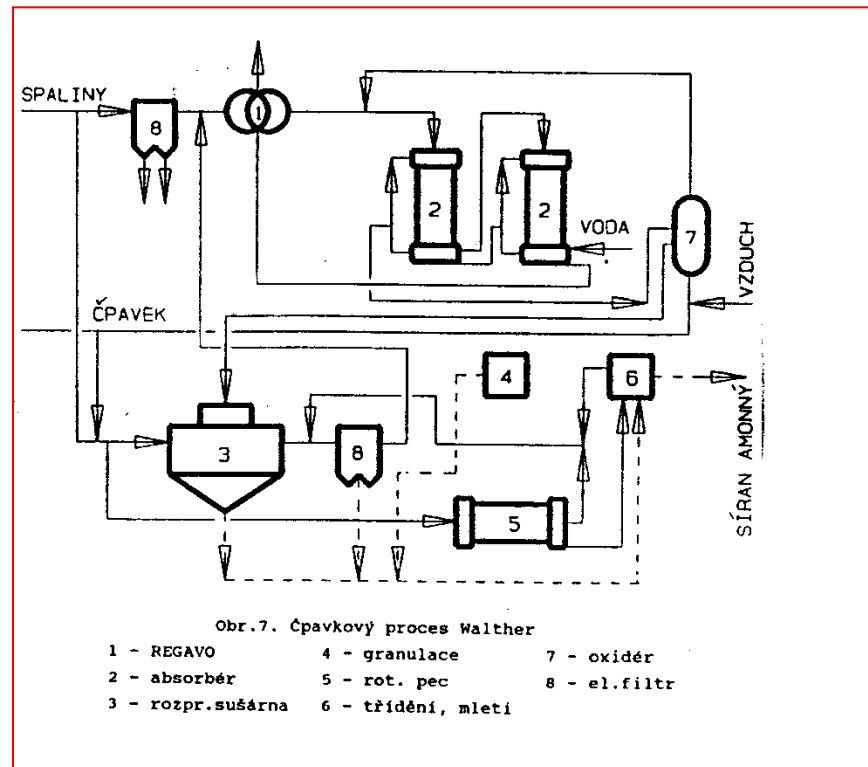
Spaliny – ohřev ve výměníku  
komín

Absorbční roztok z 1. absorbéru  $\Rightarrow$

oxidér - oxidace na  $\text{SO}_4^{2-}$   
(vzduchem)

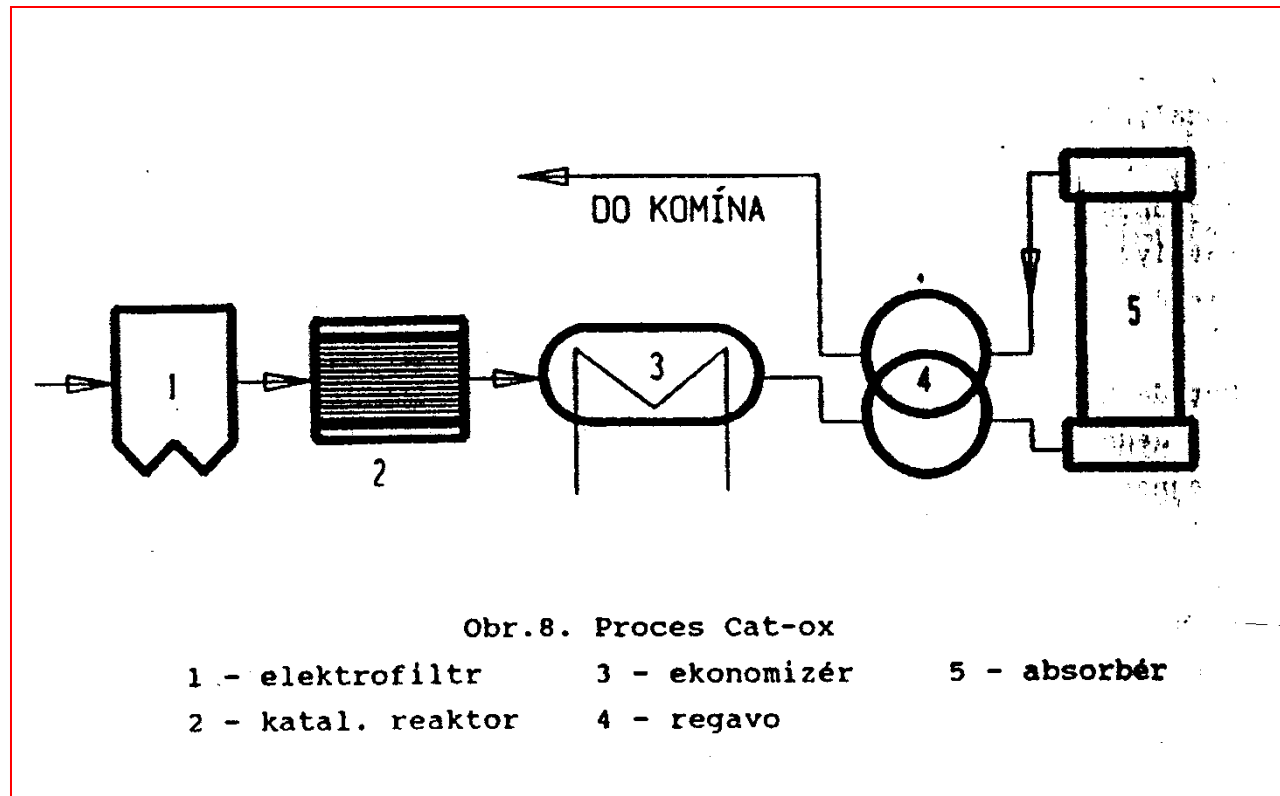
$\text{SO}_4^{2-} \Rightarrow$ rozprašovací sušárna (350 °C)

Výhoda: malá energetická náročnost,  
bezopadovost



# Katalytické metody

Katalytická oxidace  $\text{SO}_2 \Rightarrow \text{SO}_3$  odstranění ve formě  $\text{H}_2\text{SO}_4$  nebo  
 $\text{CaSO}_4$  či  $(\text{NH}_4)_2\text{SO}_4$   
Cat – Ox (Japan)



# Cat-Ox

Použitelné u nově postavených energetických jednotek – vyžaduje speciální elektroodlučovač pracující při vysoké T

U starších jednotek musí být mezi elektroodlučovač a reaktor zařazeno přihřívání spalin

## Výhoda:

- ↳ poměrná jednoduchost
- ↳ nižší provozní náklady při účinnosti ~ 90%

## Nevýhoda:

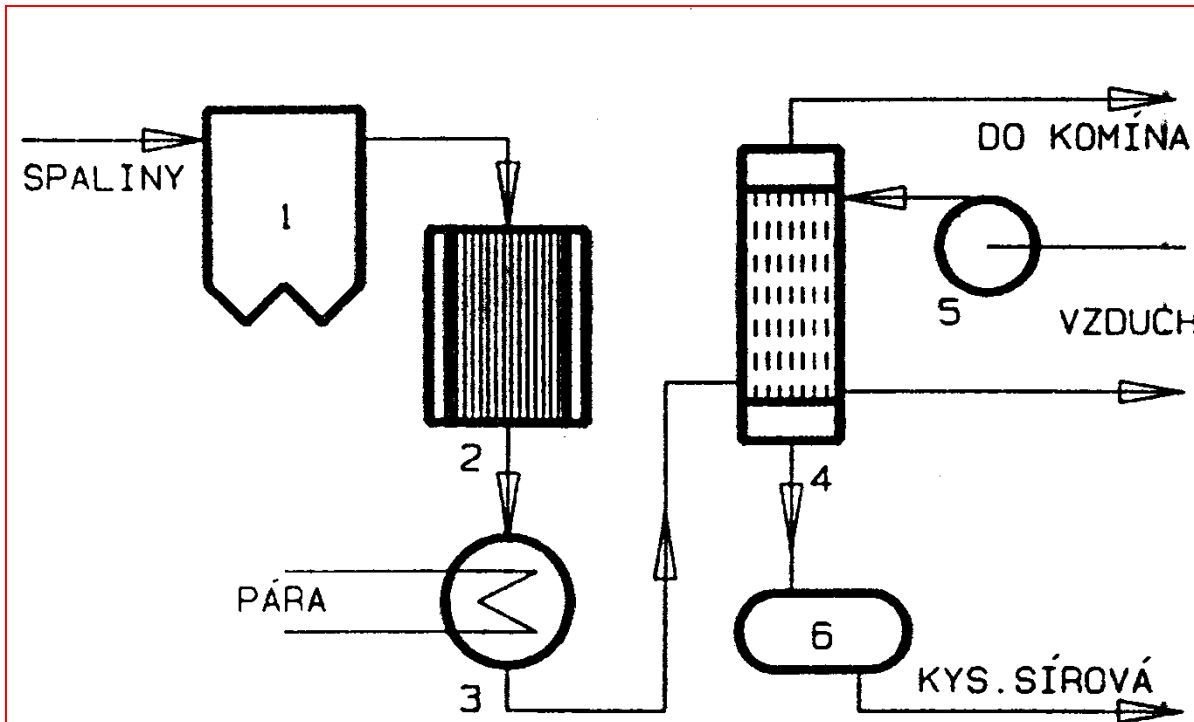
- ↳ vysoká náročnost na materiály nutnost dokonalého odprášení spalin – ovlivnění životnosti katalyzátoru

# Cat-Ox

Proces KYIOURA -  $\text{SO}_3 + \text{H}_2\text{SO}_4 + \text{NH}_3 \rightarrow (\text{NH}_4)_2\text{SO}_4$

Proces CHIVODA – spaliny se ochladí vodou za současného odstranění popílku -  $\text{SO}_2$  se vypere zředěnou  $\text{H}_2\text{SO}_3 \Leftrightarrow$  roztok  $\text{H}_2\text{SO}_3$  - oxidace vzduchem na Fe katalyzátoru  $\Leftrightarrow \text{H}_2\text{SO}_3 + \text{CaCO}_3 \rightarrow \text{CaSO}_4$   
97%, omezená životnost katalyzátoru

# Proces Haldor - Topsoe



Obr. 9. Metoda Haldor-Topsoe

- |                 |                 |                    |
|-----------------|-----------------|--------------------|
| 1 - elfiltr     | 3 - předchladič | 5 - dmychadlo      |
| 2 - kat.reaktor | 4 - kondenzace  | 6 - tank $H_2SO_4$ |

# Ohřev spalin

Z hlediska dosažení dostatečného rozptylu spalin je třeba zajistit aby vstupem do komína měly určitou **minimální teplotu**  $\Rightarrow T \sim 70 - 80^\circ\text{C}$

A: ohřev spalin mísením s horkými neodsířenými spalinami

B: nepřímý ohřev parou či horkou vodou

C: ohřev spalováním paliv s nízkým obsahem S ve spalovací komoře a zavedení těchto horkých spalin k chladným odsířeným spalinám

- ↳ Jednoduché
- ↳ Problémy s emisemi
- ↳ Neekonomické způsoby
- ↳ Vysoká spotřeba energie

## Nahrazovány výměníky spaliny – spaliny



Research Centre for Toxic Compounds in the Environment

<http://recetox.muni.cz>

# Regenerativní způsob ohřevu spalin

Rotační výměník tepla spaliny – spaliny:

- ↳ Energetika – Ljungström
- ↳ Odsířování – Regavo

Přenos tepla – plochy z plechu se speciální korozní úpravou nebo z plastu, které se pomalu pohybují mezi zónou horkých a studených spalin a předávají studeným spalinám teplo, naakumulované od horkých spalin.

Podmínka ohřevu spalin – úplné odpaření veškerého únosu kapaliny.

Pro úplné odpaření využití tepla části neodsířených nebo odsířených a ohřátých spalin.

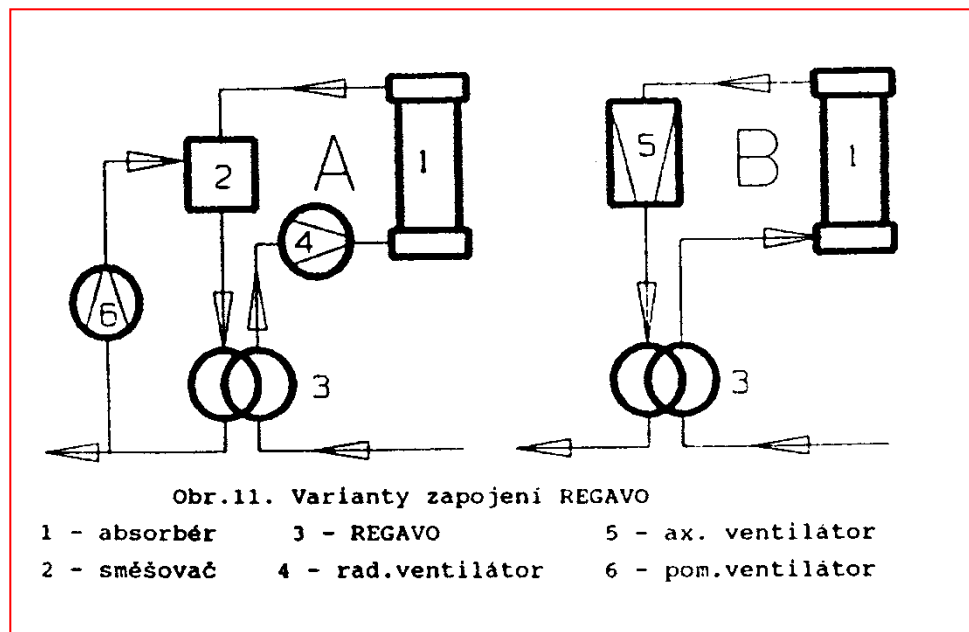
# Varianty zapojení REGAVO

**A - spalinový ventilátor** je mezi Regavo a A 1 (na straně surových spalin) - odpar únosu zajišťuje pomocný ventilátor, který část ohřátých čistých spalin čerpá do směšovače.

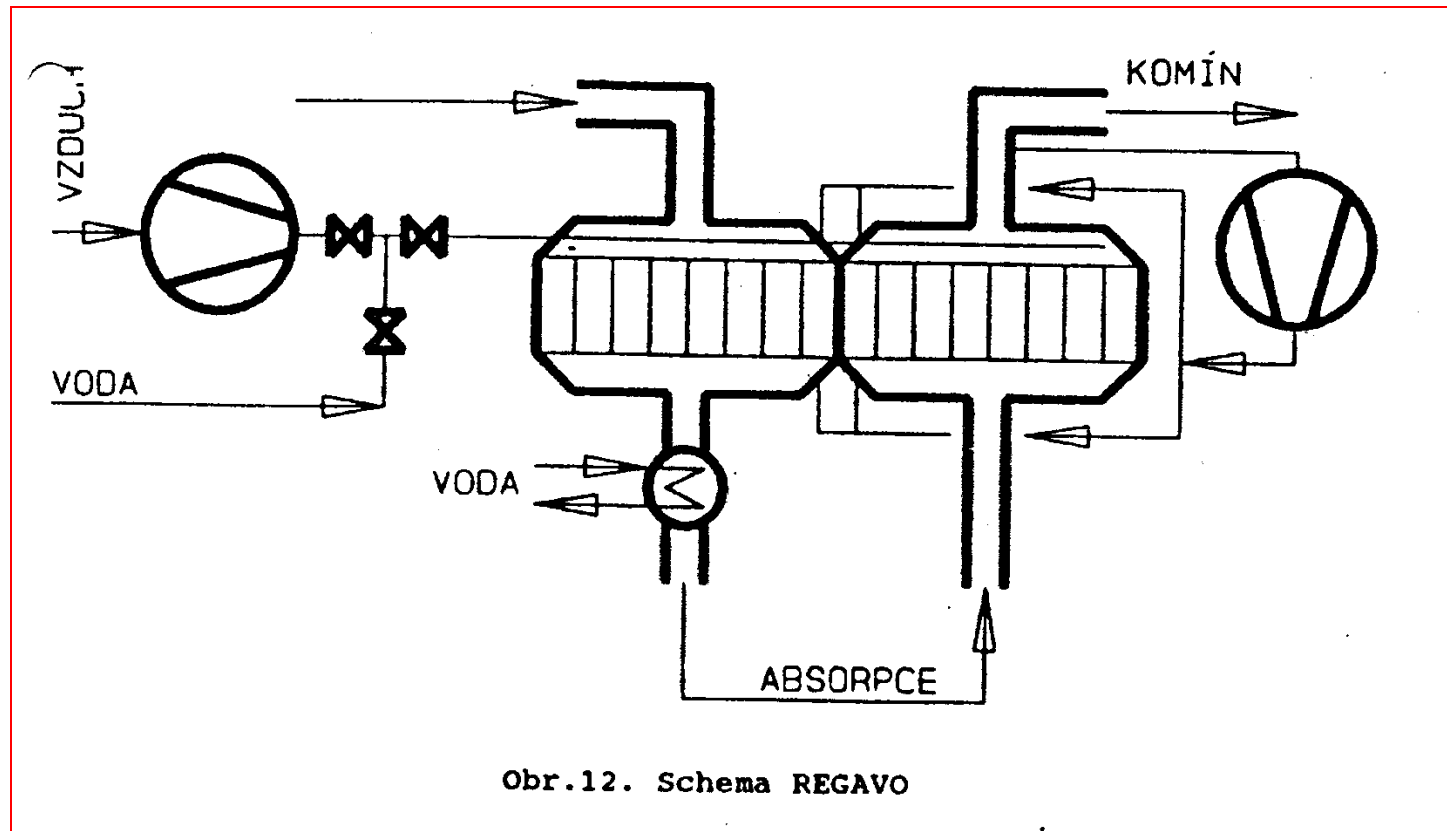
Mírně lepší přisávání čistých spalin do surových

**B – nejprogresivnější používá axiální ventilátor spalin** (adiabatický charakter komprese odpaření úletu a zvýšení T spalin o 2-3 °C).

Odpadá míšič a pomocný ventilátor + nižší energetická náročnost (o 20%) při snížení účinnosti odsíření 1%.



# REGAVO



Obr.12. Schema REGAVO

Rotor -  $0,75 - 1,0$  otáček  $\text{min}^{-1}$

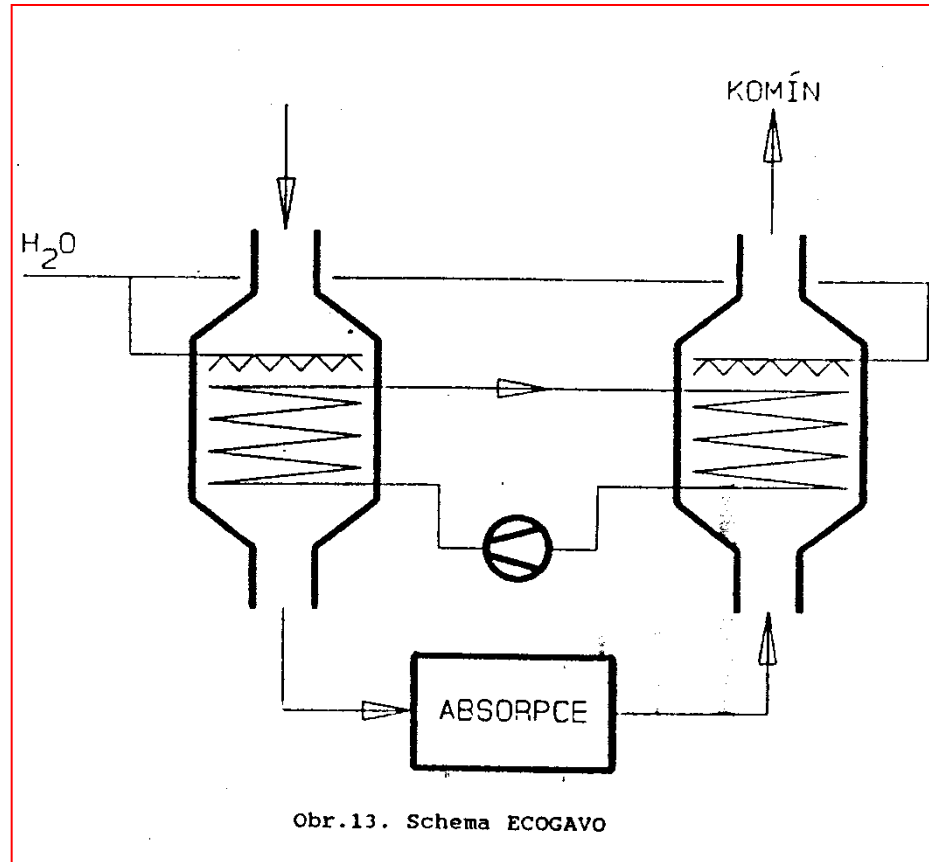
Čistící systémy: tlakový vzduch + tlaková voda (4-10 MPa) – odstranění usazenin – pravidelné

# Rekuperativní systém ohřevu spalin

Ecogavo - oddělené výměníky  
mezi kterými cirkuluje  
teplosměnné medium (voda)

Ocelové pogumované proti korozi,  
teflonové trubky, vysokotlaký  
ostřikovací systém

Úplné oddělení prostoru surových  
a čistých plynů

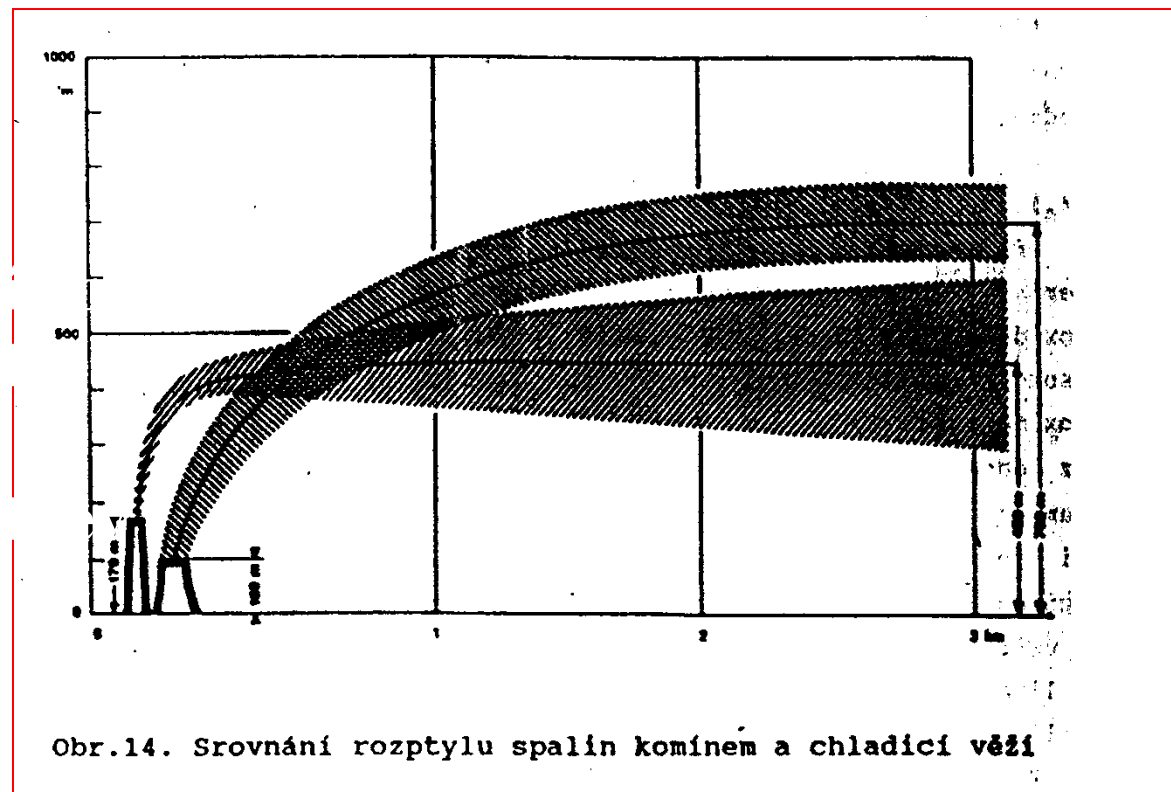


Obr. 13. Schema ECOGAVO

# Využití chladících věží k rozptylu škodlivin

Tepelný impuls vzduchu v chladící věži je mnohonásobně větší než u spalin a vede k vynášení množství vzduchu, které 25x převyšují množství spalin.

Smíšení spalin se vzduchem v chladící věži vede k dokonalejšímu rozptylu.



Obr.14. Srovnání rozptylu spalin kominem a chladicí věží

# Kombinovaný proces pro čištění spalovacích plynů

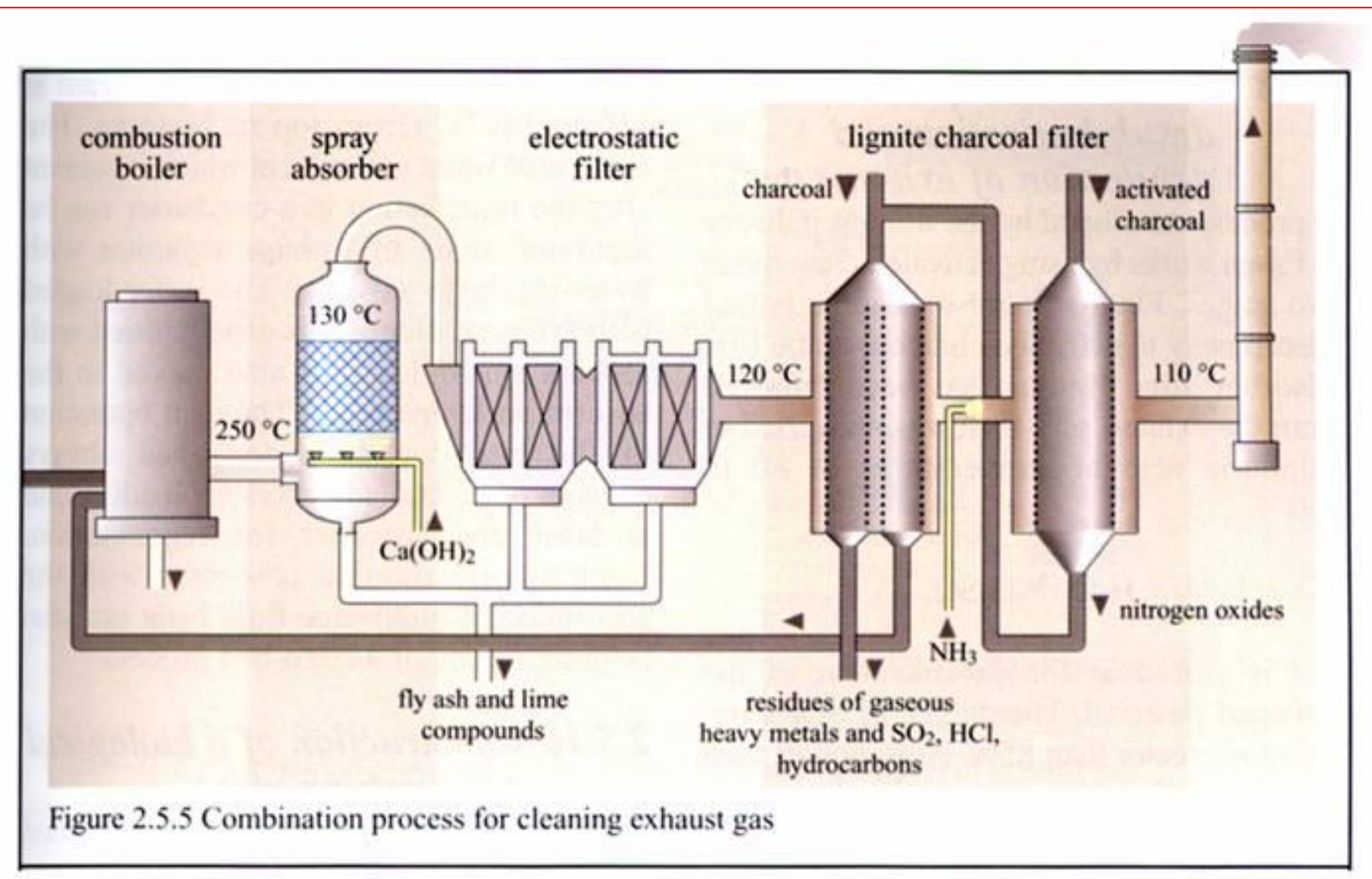


Figure 2.5.5 Combination process for cleaning exhaust gas

Č	Název přednášky	Obsah přednášky
III.	Technologie sloužící pro zajištění čistoty ovzduší	III.2.2 Denitrifikace

# Hlavní zdroje NO<sub>x</sub> v Evropě v roce 2000

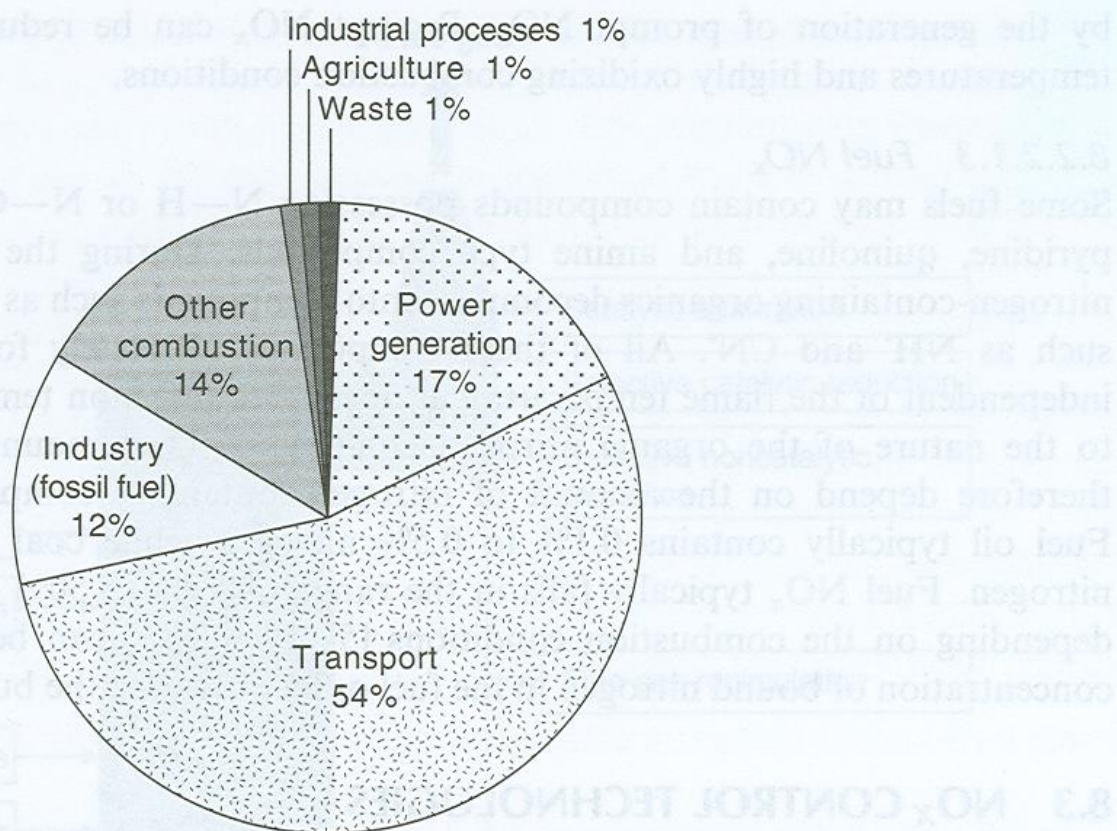


FIGURE 8.1 Major sources of NO<sub>x</sub> in Europe in 2000. Adapted from B Guggele and M Ritter. *Annual European Community CLRTAP Emission Inventory 2000, Technical Report 91*, European Environment Agency, 2000, p. 28.

# Snižování obsahu $\text{NO}_x$ ve spalinách

Technická řešení opožděna proti  $\text{SO}_2$

Mechanismus vzniku oxidů dusíku při spalovacím procesu

3 základní mechanismy:

- ↳ oxidace N ze spalovacího vzduchu za vysoké T – vysokoteplotní  $\text{NO}_x$
- ↳ oxidace chemicky vázaného dusíku v palivu – palivové  $\text{NO}_x$
- ↳ z chemicky vázaného dusíku radikálovými reakcemi na rozhraní plamene - promptní  $\text{NO}_x$

Prvotně vzniká  $\text{NO} + \text{O} \rightarrow \text{NO}_2$

Pomalá reakce při nízkých koncentracích  $\text{NO}_2 \sim 10\% \text{NO}_x$

# Primární opatření k omezování emisí NO<sub>x</sub>

Primární opatření k omezení emisí oxidů dusíku.

Primární opatření	Obvyklý podíl snížení NO <sub>x</sub>	Omezení použitelnosti	Poznámky
Nízký přebytek vzduchu	10–44 %	nedokonalé spálení	omezení NO <sub>x</sub> značně závisí na výši emisí z kotle (např. když je třeba izolovat topeniště, mlýny a ohříváče vzduchu nebo umožnit využití spalování s nízkým přebytkem vzduchu)
Odstupňování vzduchu v topeništi	hořák mimo provoz	10–65 % 40 % u uhlí 45 % u oleje 65 % u plynu	nedokonalé spálení (vysoké hodnoty CO a nespáleného uhlíku pouze při rekonstrukci)
	sekundární přehřátý vzduch		může dojít k problémům s udržováním přísunu paliva, je-li např. nutno dodat stejně množství tepelné energie do topeniště s menším množstvím provozních hořáků
			rekonstrukce pro přehřátý vzduch u stávajícího kotle znamená modifikaci vodního potrubí stěn

# Sekundární opatření k omezování emisí NO<sub>x</sub>

*Selektivní katalytická redukce (SCR). Údaje v tabulce označené: VP = vysoká koncentrace prachu; KP = nízká koncentrace prachu.*

Obvyklý podíl redukce NO <sub>x</sub>	Parametr	Hodnota
80–95 %	provozní teplota	320–420 °C (VP) 260–320 °C (KP)
	redukční činidlo	čpavek, močovina
	podíl NH <sub>3</sub> / NO <sub>x</sub>	0,8–1,0
	únik NH <sub>3</sub>	< 20 mg/m <sup>3</sup> (n.t.t.)
	využitelnost	> 98 %
	podíl konverze SO <sub>2</sub> / SO <sub>3</sub> v katalyzátoru	1,0–1,5 % (KP)
	spotřeba energie (% elektrického výkonu)	0,5 % (VP) 2 % (KP)
	tlaková ztráta v katalyzátoru	4–10 hPa

# Sekundární opatření k omezování emisí NO<sub>x</sub>

Selektivní nekatalytická redukce (SNCR).

Obvyklý podíl redukce NO <sub>x</sub>	Parametr	Hodnota
30–50 (80) %	provozní teplota	850 až 1050 °C
	redukční činidlo	čpavek, močovina
	podíl NH <sub>3</sub> / NO <sub>x</sub>	1,5–2,5
	využitelnost	> 97 %
	spotřeba energie (% elektrického výkonu)	0,1–0,3 %
	čas prodlevy v teplotním pásmu	0,2–0,5 s

# Mechanismus vzniku $\text{NO}_x$ při spalovacím procesu

## Vysokoteplotní – radikálové reakce

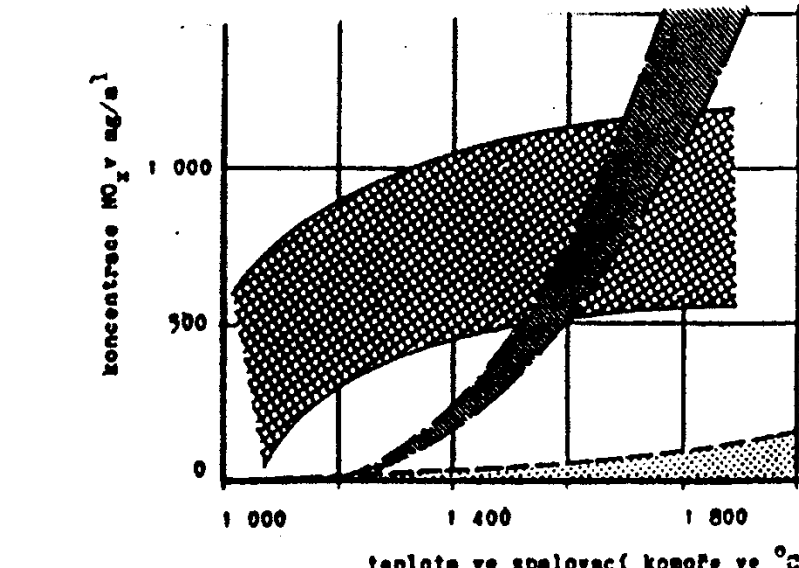
$\text{N} + \text{O}$  uvnitř spalovací zóny – tvorba radikálů je podmíněna vysokou  $T =$  funkce ( $T$ , koncentrace kyslíku, době zdržení v horké zóně)

## Palivové $\text{NO}_x$ – oxidace dusíku

chemicky vázaného v palivu – oxidace není kvantitativní - % nezreagovaného  $\text{N}_2$  v palivu - při spalování uhlí - 10-25 %

## Promptní $\text{NO}_x$ - určitá forma

palivových  $\text{NO}_x$  – okraj plamene - zanedbatelný podíl na celkovém  $\text{NO}_x$



Obr.15. Tvorba jednotlivých typů  $\text{NO}_x$  při spalování uhlí

## Spalování kapalných paliv:

vysokoteplotní – stejné jako u tuhých  
palivové – pouze u těžších frakcí (TTO, mazut)

Spalování plynných paliv – pouze vysokoteplotní

# Mechanismus vzniku $\text{NO}_x$ při spalovacím procesu

## Vysokoteplotní – radikálové reakce

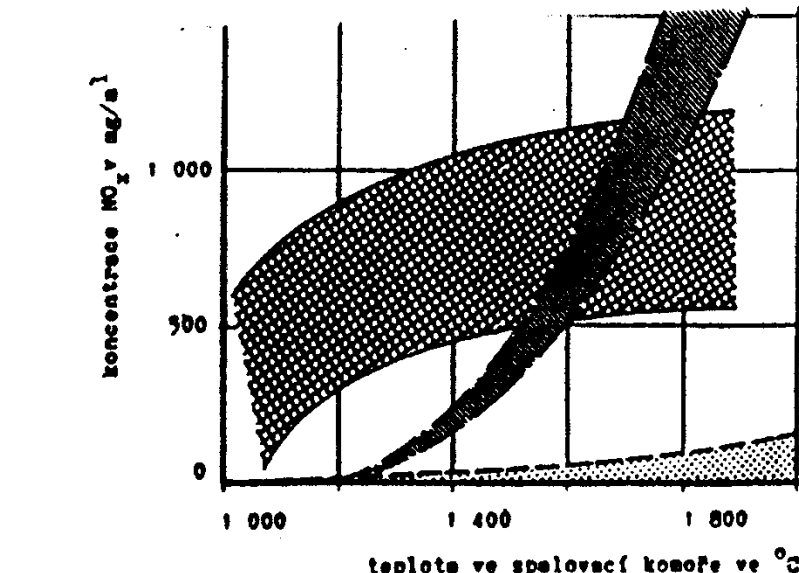
$\text{N} + \text{O}$  uvnitř spalovací zóny – tvorba radikálů je podmíněna vysokou  $T =$  funkce ( $T$ , koncentrace kyslíku, době zdržení v horké zóně)

## Palivové $\text{NO}_x$ – oxidace dusíku

chemicky vázaného v palivu – oxidace není kvantitativní - % nezreagovaného  $\text{N}_2$  v palivu - při spalování uhlí - 10-25 %

## Promptní $\text{NO}_x$ - určitá forma

palivových  $\text{NO}_x$  – okraj plamene - zanedbatelný podíl na celkovém  $\text{NO}_x$



Obr.15. Tvorba jednotlivých typů  $\text{NO}_x$  při spalování uhlí

## Spalování kapalných paliv:

vysokoteplotní – stejné jako u tuhých  
palivové – pouze u těžších frakcí (TTO, mazut)

Spalování plynných paliv – pouze vysokoteplotní

# Snižování emisí $\text{NO}_x$ úpravou spalovacího procesu

## Primární opatření

Vychází z poznatků o mechanismech vzniku  $\text{NO}_x$



Typ spalovacího zařízení, způsob jeho provozování.

Významnější a levnější než následná denitrifikace spalin  
(sekundární opatření)

Častá kombinace primárních a sekundárních opatření

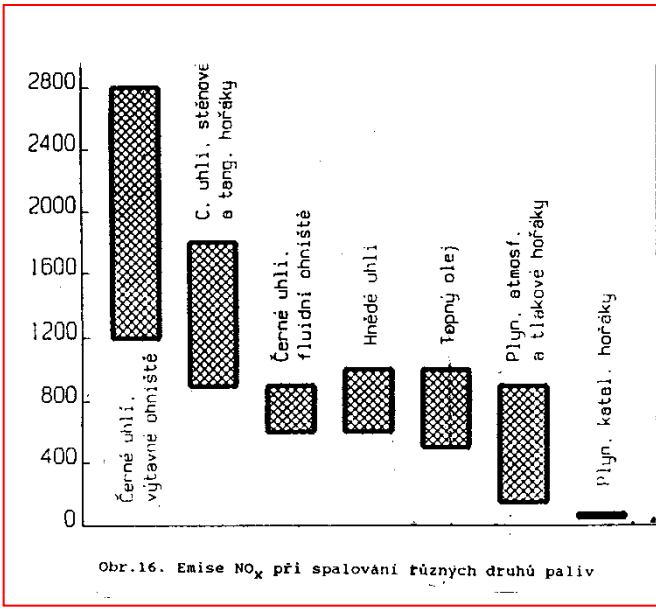
# Snižování emisí $\text{NO}_x$ úpravou spalovacího procesu

## Typ toopeniště

- ↳ konstrukce
- ↳ stav

## Uhelné kotle (klesající emise $\text{NO}_x$ ):

- ↳ výtavné ( $1\ 600 - 2\ 800 \text{ mg.m}^{-3}$ )
- ↳ se stěnovými hořáky ( $1\ 000 - 1\ 700 \text{ mg.m}^{-3}$ )
- ↳ s tangenciálními hořáky ( $800 - 1\ 200 \text{ mg.m}^{-3}$ )
- ↳ fluidní (do  $800 \text{ mg.m}^{-3}$ )



Rozhodující vliv – teplota hoření (nejvyšší výtavné) rychlosť uvolnění tepla v zóně hoření

# Snižování emisí NO<sub>x</sub> úpravou spalovacího procesu

## Spalování s nízkým množstvím přebytkem vzduchu

Snížením množství spalování vzduchu se dosáhne snížení teploty plamene

Nenáročný zásah, nevyžaduje žádné úpravy na zařízení

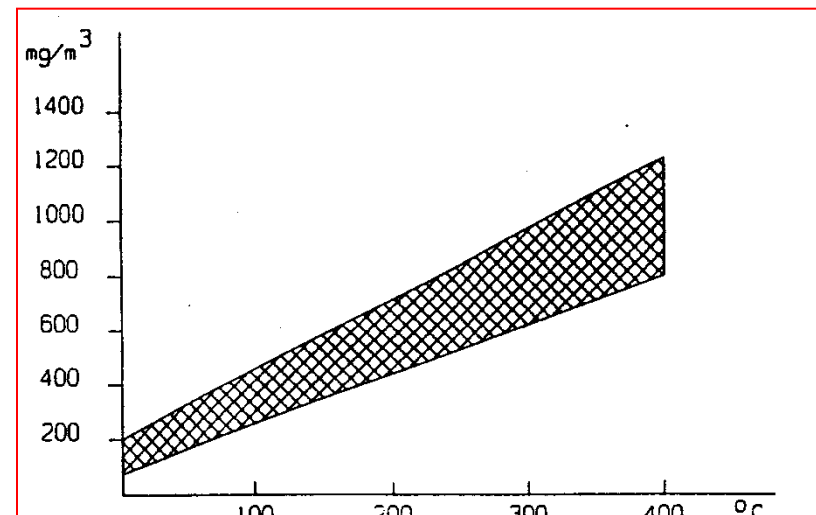
Nelze je použít u elektrárenských kotlů s optimalizovaným spalovacím poměrem

Efekt není příliš významný, nevyváží nevýhody

- ↳ tvorby sázi
- ↳ koroze u redukční atmosféře
- ↳ zvýšená produkce CO
- ↳ ztráty nedopalem

## Snížení předehřevu spalovacího vzduchu

Nenáročnost na technologické směny,  
nízký efekt - snížení tepelné  
účinnosti, ztráty nedopalem problémy  
s hořením



Obr.17. Tvorba NO<sub>x</sub> v závislosti na teplotě spalovacího vzduchu

# Možnosti snižování tvorby NO<sub>x</sub>

- ↳ Snížení teploty hoření
- ↳ Snížení lokální koncentrace O<sub>2</sub>
- ↳ Snížení doby zdržení

## Plynové hořáky:

- ↳ atmosférické
- ↳ tlakové

# Možnosti snižování tvorby NO<sub>x</sub>

Atmosférické hořáky:

Injekčním účinkem nasávají vzduch

Domácí spotřebiče a zařízení malého až středního výkonu (do cca 400 kW)

- ↳ jednoduchá konstrukce
- ↳ nezávisí na jiném zdroji energie
- ↳ velký regulační rozsah
- ↳ bezhlučný chod

Nevýhoda z hlediska emise NO<sub>x</sub> – nestechiometrický typ plamene daný podstechiometrickým předmísením paliva  
Větší doba zdržení  $\Rightarrow$  vyšší tvorba NO<sub>x</sub>  $\Rightarrow$  snížení T plamene – lepší předmísení

# Možnosti snižování tvorby NO<sub>x</sub>

## Nestechiometrické spalování

### Dávkování spalovacího vzduchu ve dvou úrovních

- 1) proběhne spalování za nedostatku vzduchu a tedy při nízké teplotě
- 2) zbytek paliva a zplodiny nedokonalého spalování se spálí v relativním přebytku vzduchu

# Možnosti snižování tvorby NO<sub>x</sub>

## Princip hořáků na nízký obsah NO<sub>x</sub>

### Stávající zařízení:

- ↳ rozdělené funkce v původně shodných hořácích
- ↳ spodní řady pracují se sníženým spalovacím vzduchem
- ↳ horní řady přivádějí palivo s přebytkem vzduchu nebo pouze vzduch

### Efektivnější možnost:

Zavedení sekundárního vzduchu zvláštními přívody do prostoru nad hořáky  $\Rightarrow$  snížení produkce NO<sub>x</sub> až o 30%

# Možnosti snižování tvorby NO<sub>x</sub>

## Recirkulace spalin

Odběr části spalin za ekonomizér a jejich zavedení zpět do topeniště, tím se dosáhne:

- ↳ snížení obsahu kyslíku
- ↳ snížení teploty

Nejúčinnější – míchání spalin do spalovacího vzduchu

Snížení účinnosti spalování

50% snížení emise NO<sub>x</sub>

# Hořáky na nízký obsah NO<sub>x</sub>

Spalování pouze v plameni

Hořáky na plynná paliva

Stejná pravidla jako u tuhých paliv

Rozdílný charakter paliv

**Obecně** – při spalování plynných paliv je tvorba NO<sub>x</sub> nižší než u tuhých a kapalných paliv - jednoduché vnášení paliva do spalovacího prostoru, přesné dávkování

- ↳ **Snížení teploty:** vkládání tyčí do plamene – vyzařováním tepla ochlazují plamen  $\Rightarrow$  plynové kotle snížení emisí NO<sub>x</sub> až o 20-30%
- ↳ **Zvýšení předmísení**  $\Rightarrow$  snížení NO<sub>x</sub>  $\Rightarrow$  nižší stabilita plamene a vyšší tvorba NO<sub>x</sub>

Nový typ atmosférického hořáku se zvýšeným předmísením a s ventilátorem spalin  $\Rightarrow$  snížení tvorby NO<sub>x</sub> až o 90%

# Hořáky na nízký obsah NO<sub>x</sub>

## Tlakové hořáky

Energii potřebnou ke smíchání plynu s vzduchem získávají tlakem vzduchu – mechanické dmýchadlo

Předehřívání vzduchu  $\Rightarrow$  roste teplota plamene  $\Rightarrow$  tím i emise NO<sub>x</sub>  
- průmyslová zařízení  $\Rightarrow$  vysoká

Provozní teplota  $\Rightarrow$  nižší emise NO<sub>x</sub>  $\Rightarrow$  nižší energetická účinnost

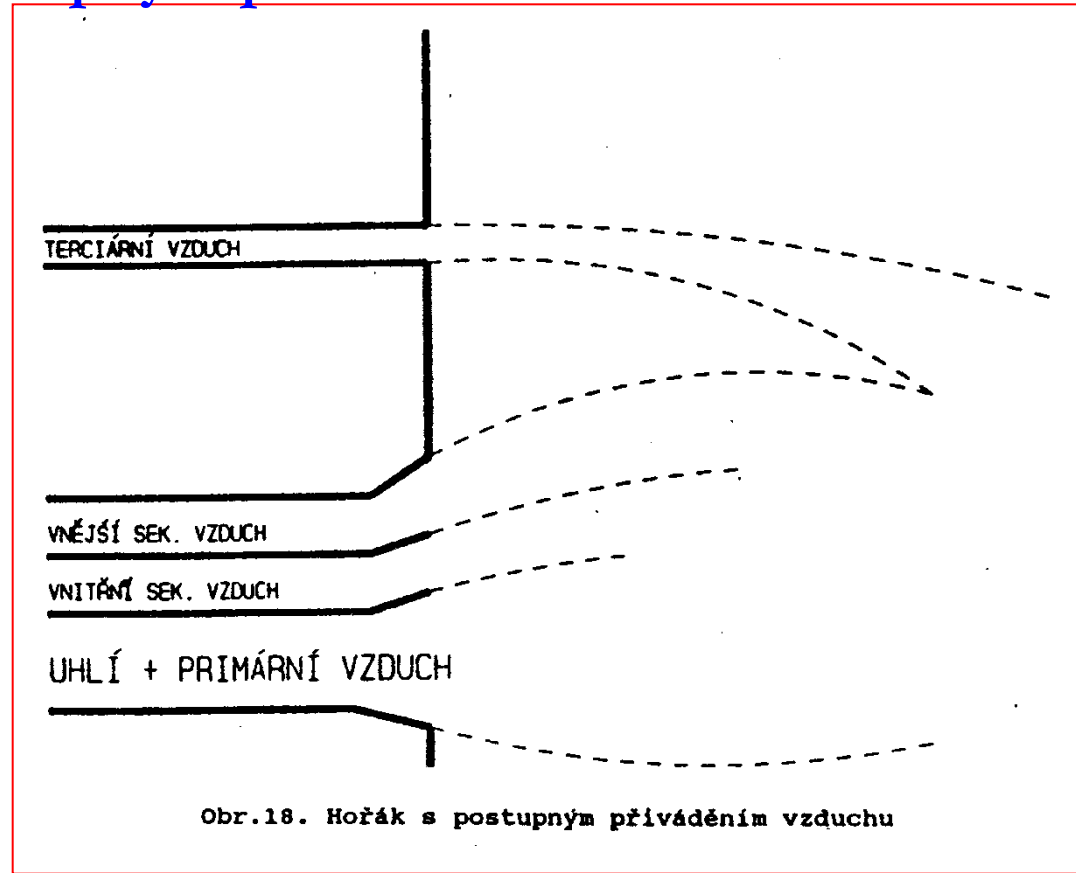
## Technologická opatření:

- ↳ vícestupňové spalování (o 90%)
- ↳ recirkulace spalin (o 85%)
- ↳ nastřikování vody do plamene

# Hořáky na nízký obsah NO<sub>x</sub>

## Hořáky na tuhá paliva

### Hořák s postupným přiváděním vzduchu:



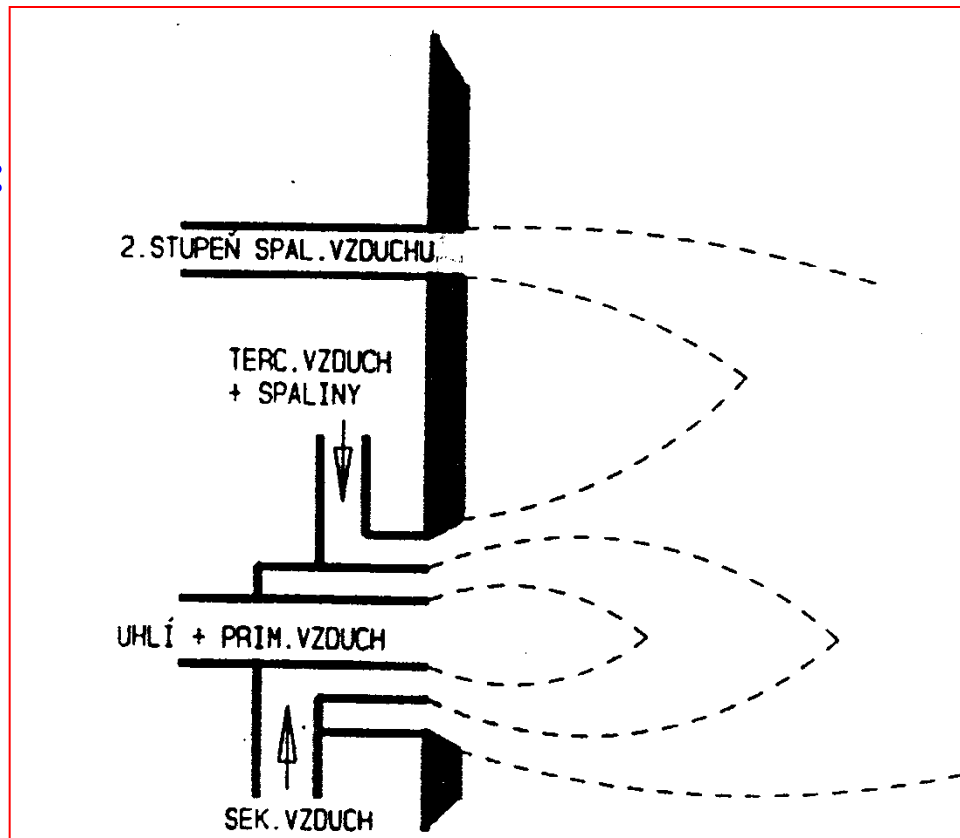
# Hořáky na nízký obsah NO<sub>x</sub>

# Hořáky na tuhá paliva

## **Hořák s recirkulací spalin:**

V primární zóně shoří prchavá hořlavina a palivový N přejde do plynné fáze

Sekundární – shoří  
většina paliva –  
v redukční atmosféře  
přecházejí  $\text{NO}_x$  na N

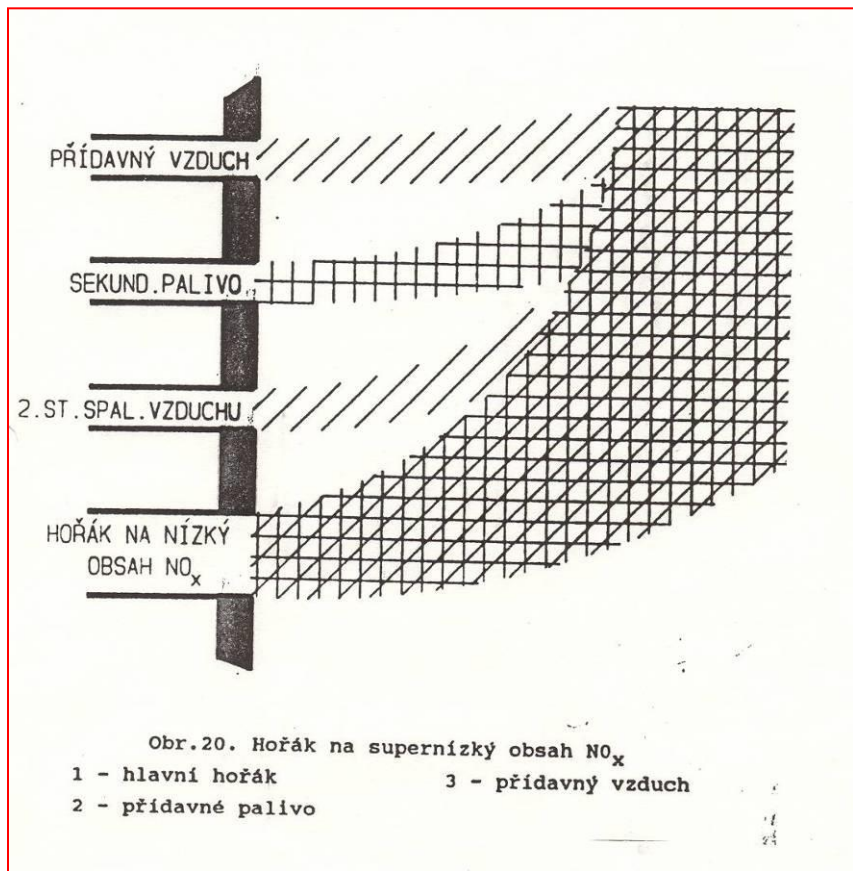


Obr.19. Hořák s recirkulací spalin  
 A - prim.vzduch                            3 - terc.vzduch + spaliny  
 L sek.vzduch + spaliny

# Hořáky na nízký obsah NO<sub>x</sub>

## Hořáky na tuhá paliva

### Hořák na supernízký obsah NO<sub>x</sub>:

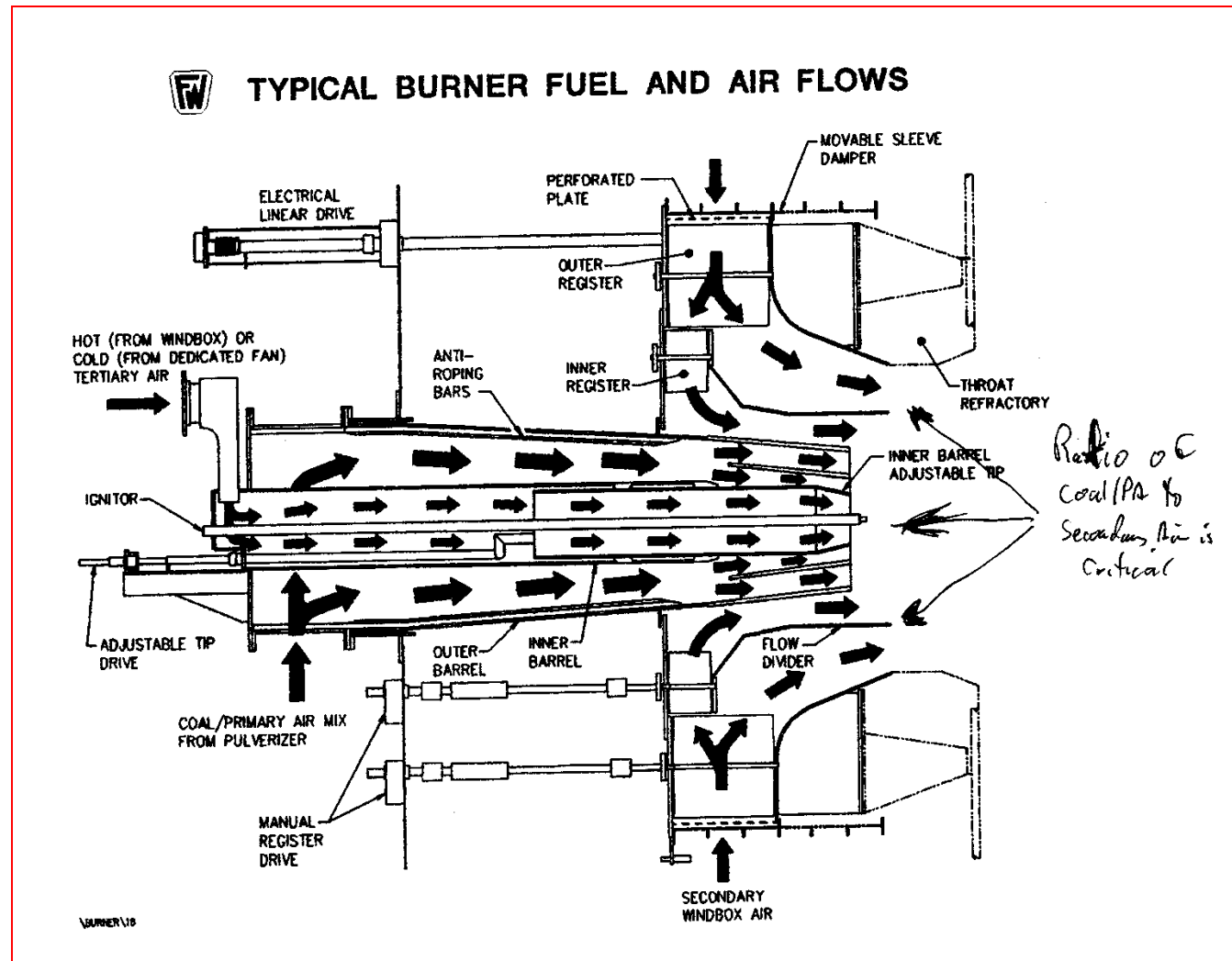


Dalších 30%  $\Rightarrow < 200 \text{ mg NO}_x \cdot \text{m}^{-3}$

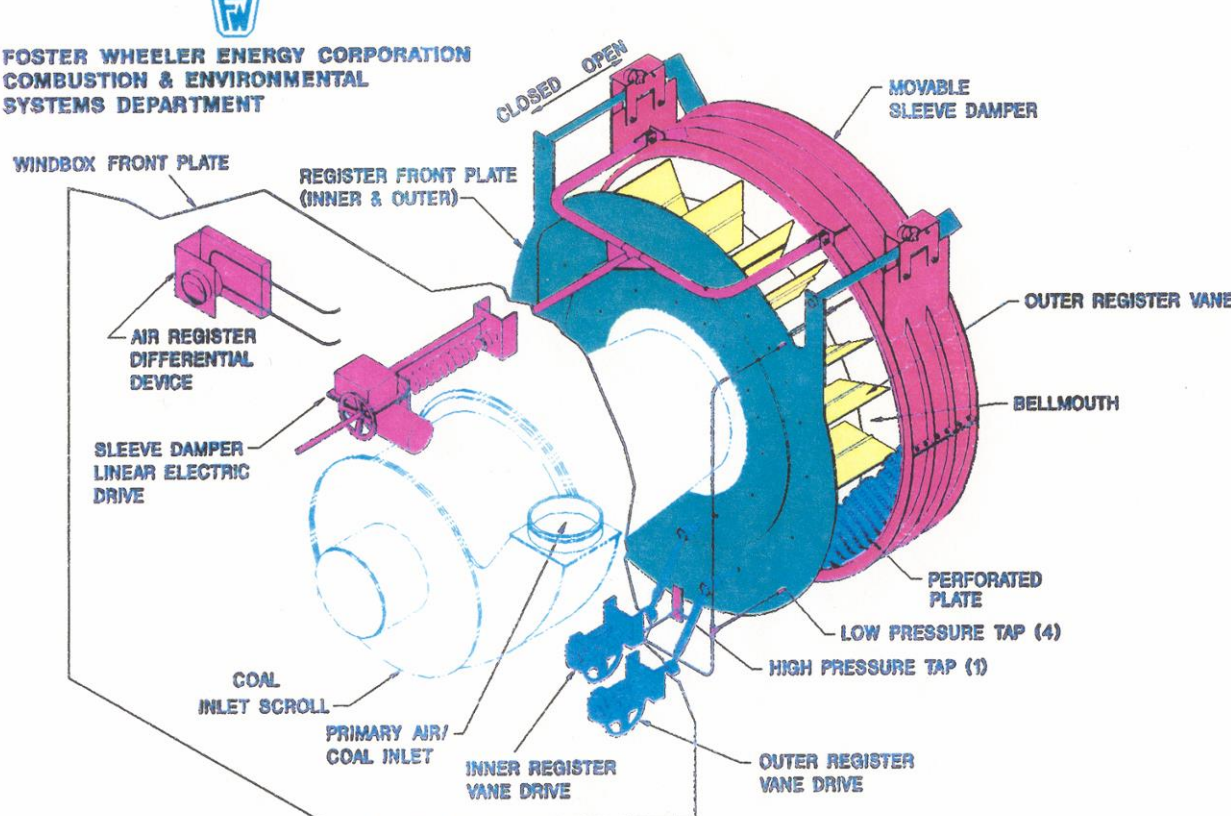
Odpadá nákladná denitrifikace  
(pouze u nových jednotek)

Fluidní spalování – vícestupňové  
postupné zavádění spalovacího  
vzduchu a tlakové – srovnatelné  
s hořáky na supernízký obsah  
NO<sub>x</sub>

# Hořáky na nízký obsah NO<sub>x</sub>

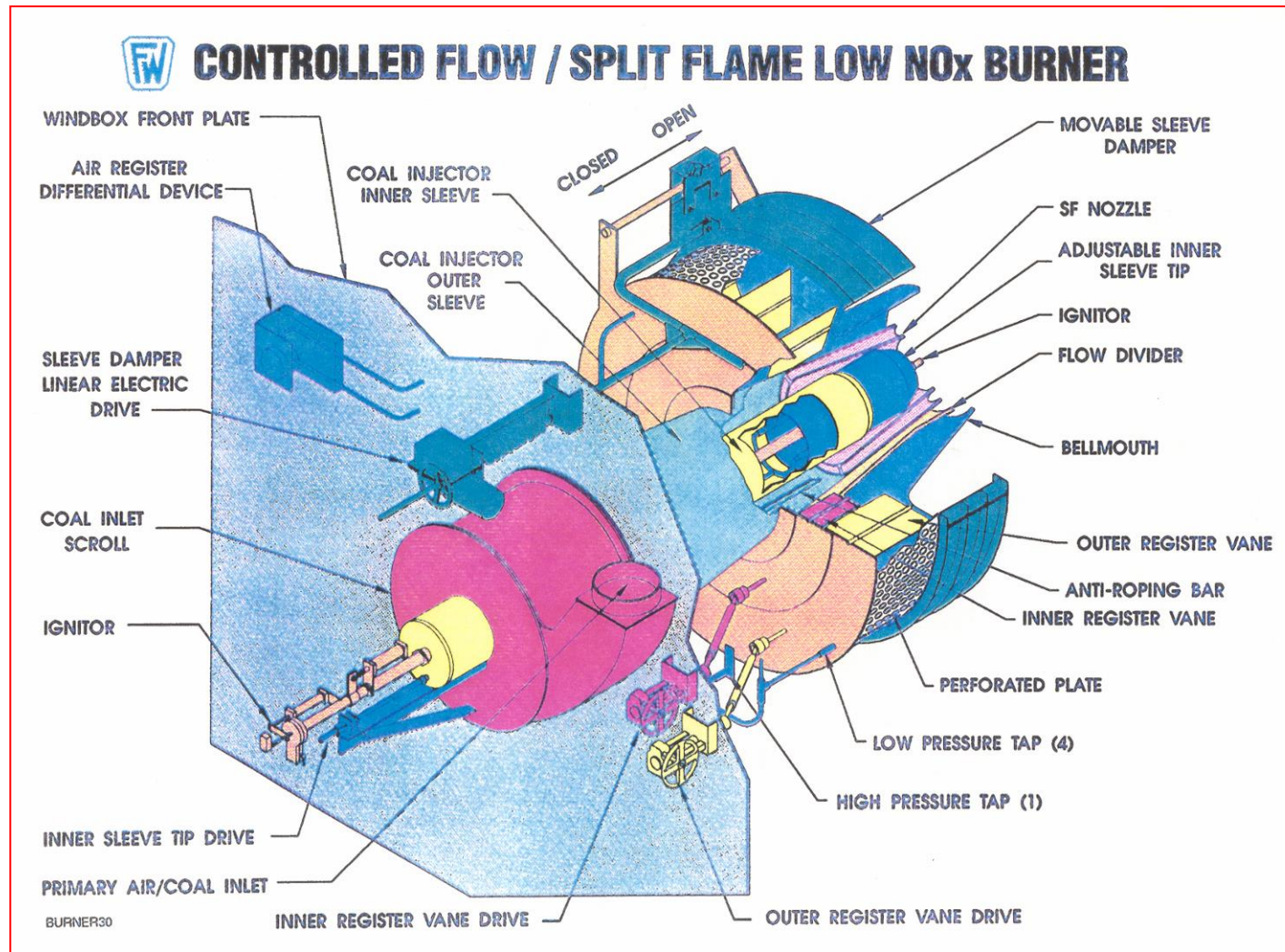


# Hořáky na nízký obsah NO<sub>x</sub>

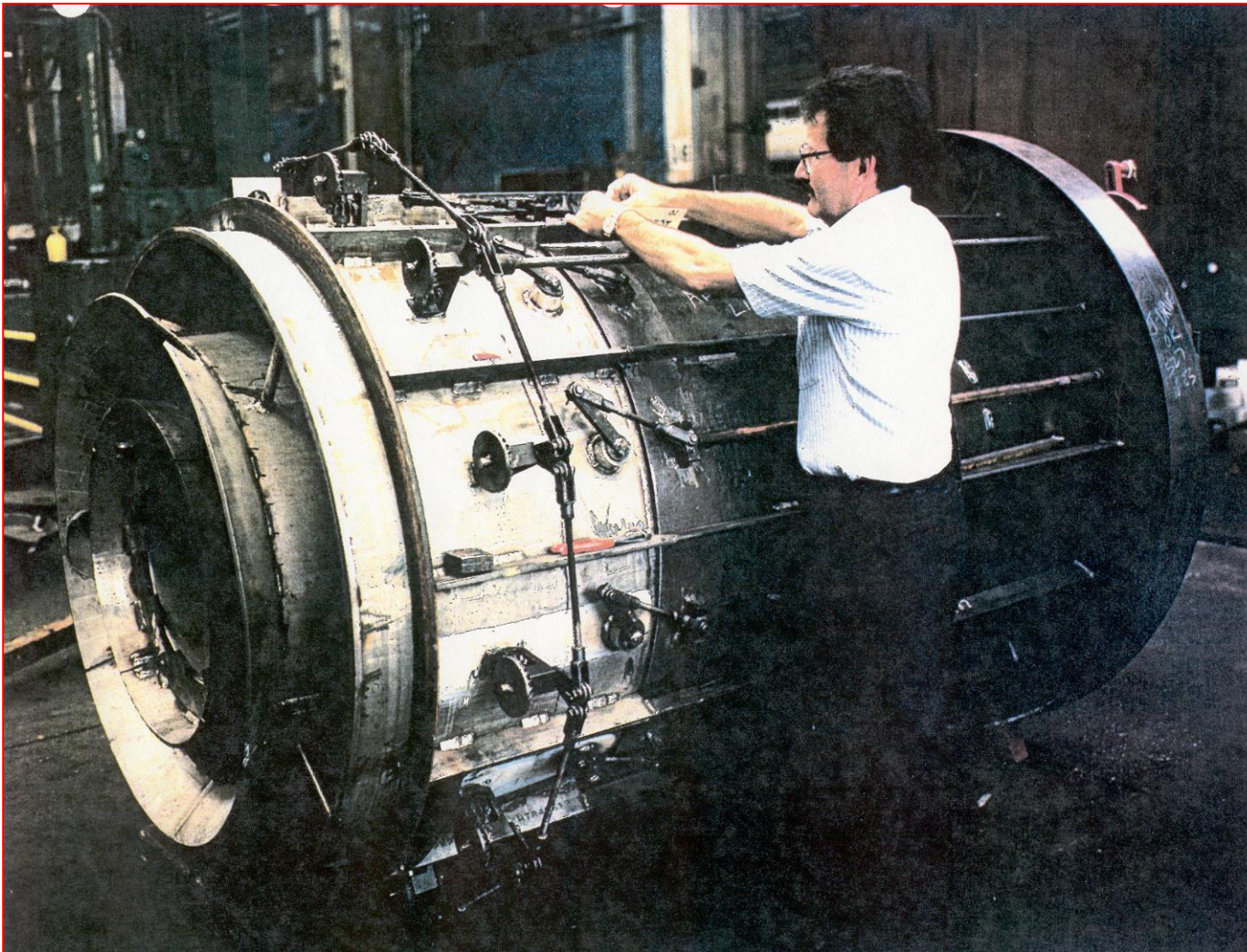


VOLUME 10

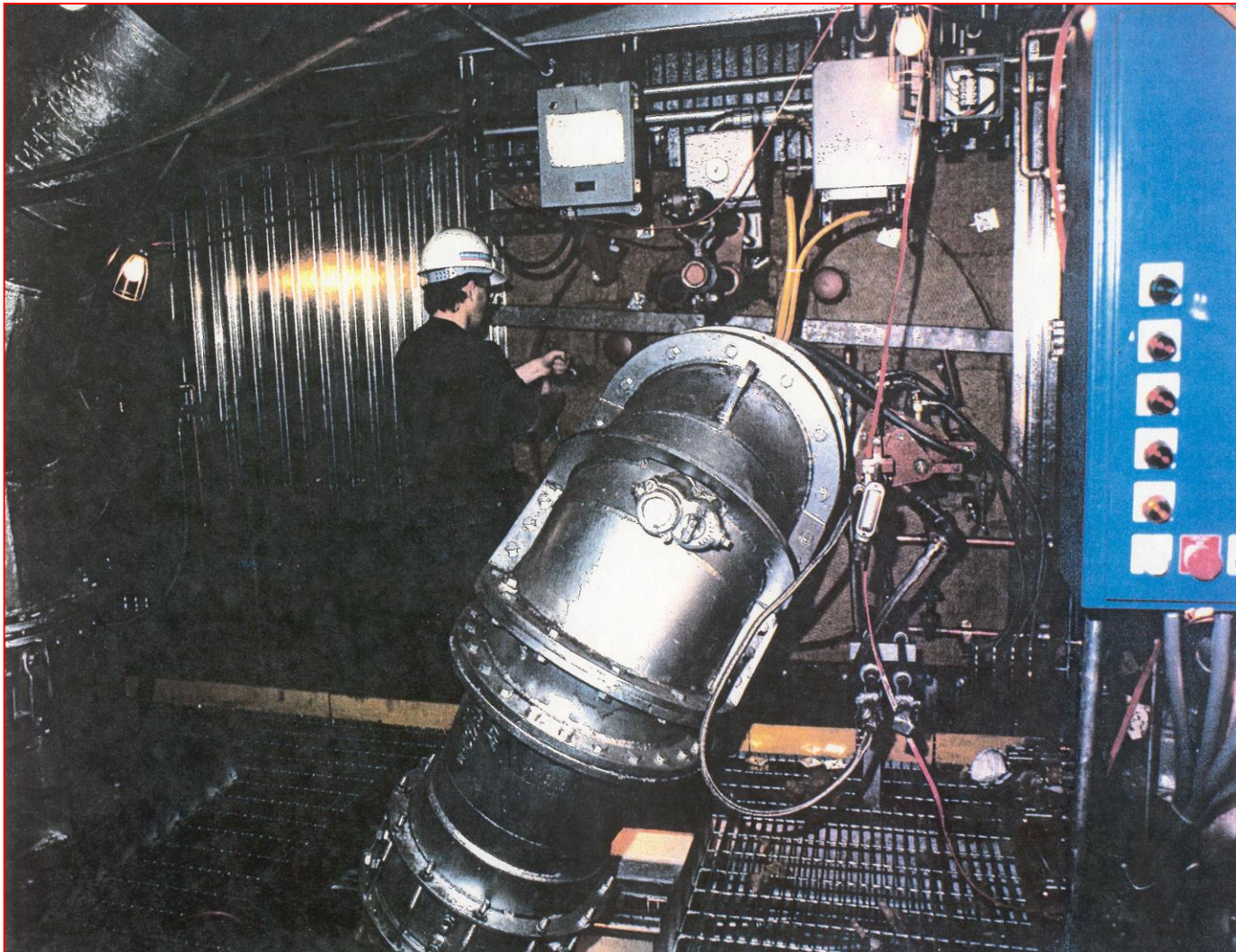
# Hořáky na nízký obsah NO<sub>x</sub>



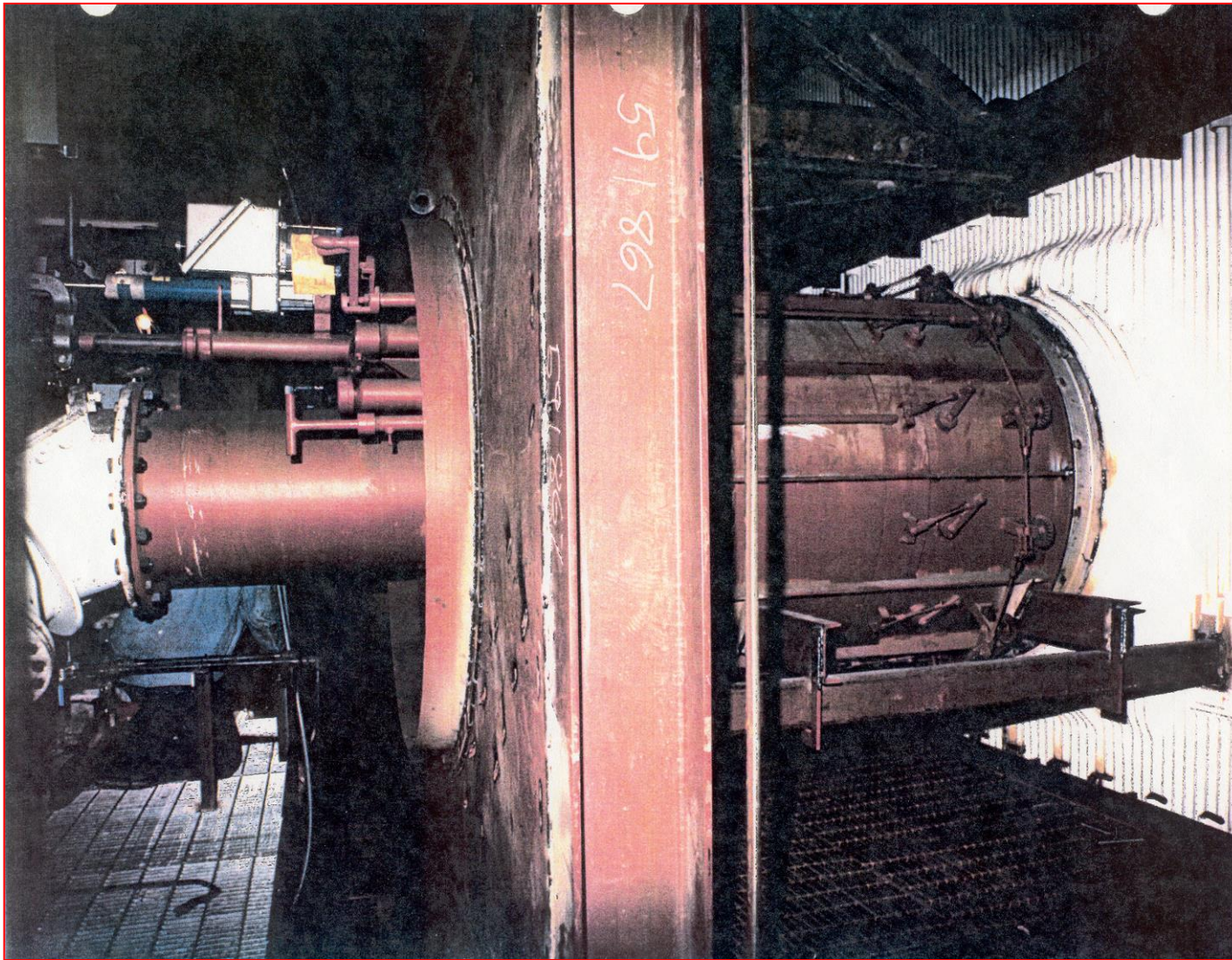
# Hořáky na nízký obsah NO<sub>x</sub>



# Hořáky na nízký obsah NO<sub>x</sub>



# Hořáky na nízký obsah NO<sub>x</sub>



Research Centre for Toxic Compounds in the Environment

<http://recetox.muni.cz>

# Denitrifikační metody

Nejrozšířenější – selektivní katalytická redukce

## Suché metody

Selektivní katalytická redukce (SKR) - princip:

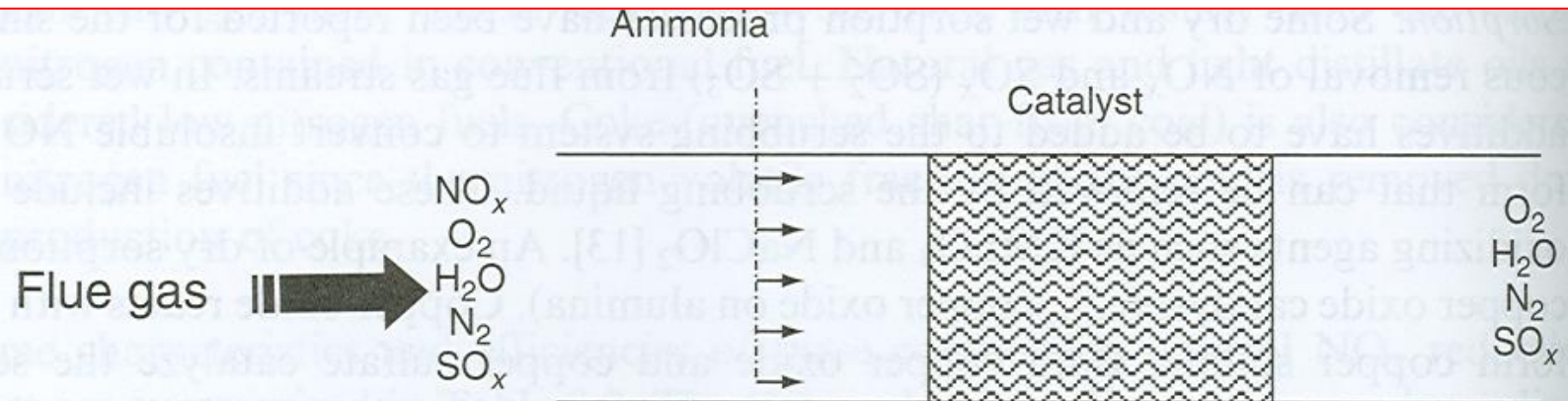
Reakce  $\text{NO}_x$  s  $\text{NH}_3$  (g) – dávkování do spalin



$T > 300^\circ\text{C}$ , katalyzátor

# Denitrifikační metody

## Selektivní katalytická redukce



**FIGURE 8.3** Simple schematic of SCR reactor.

# Denitrifikační metody

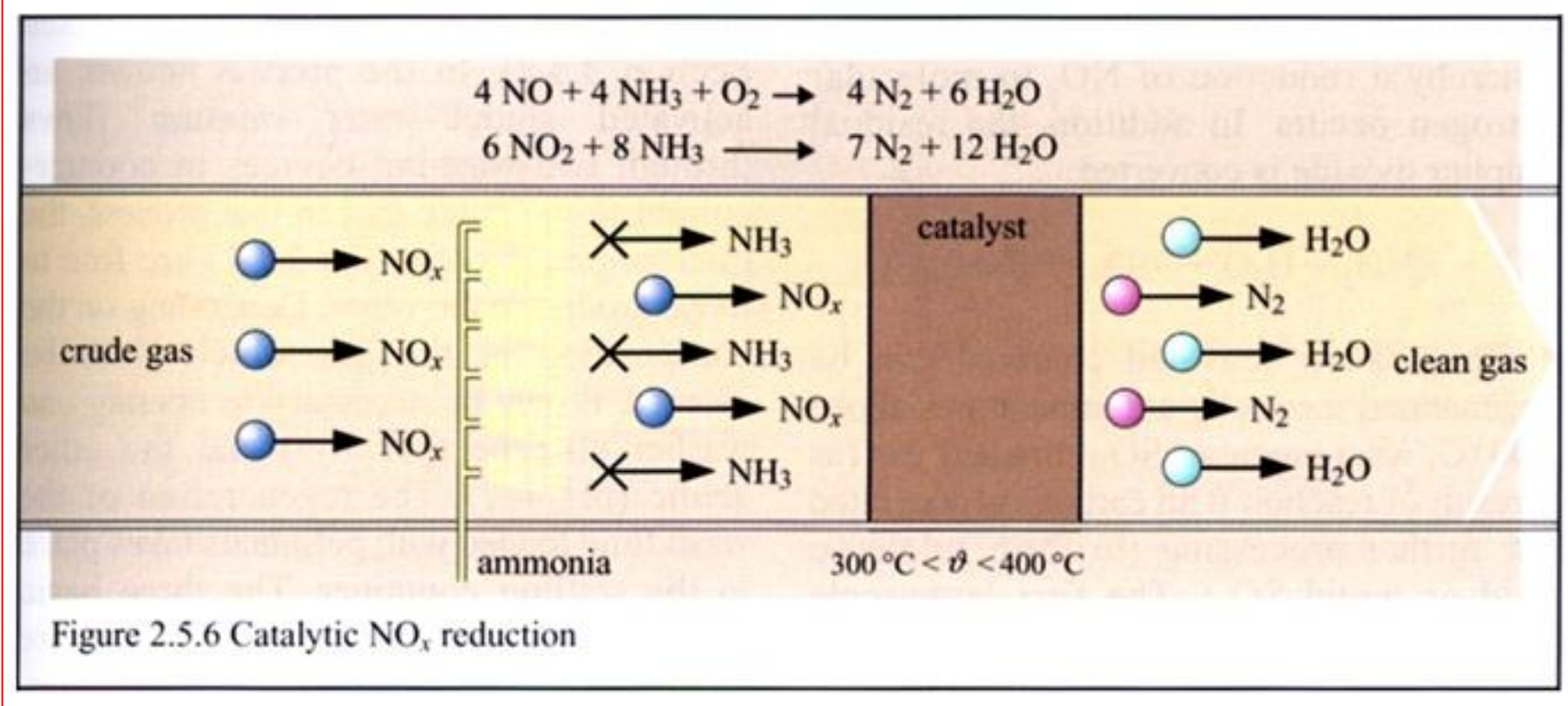
$\text{NH}_3$  – mírně nadstechiometrický  
(ztráty oxidací:  $4 \text{ NH}_3 + 3 \text{ O}_2 \rightarrow 2 \text{ N}_2 + 6 \text{ H}_2\text{O}$ )

2 varianty :

- ↳ vysokoteplotní (300 – 450 °C) – před odprášením – A), - 7 A – B)
- ↳ nízkoteplotní (do 150° C) – C)

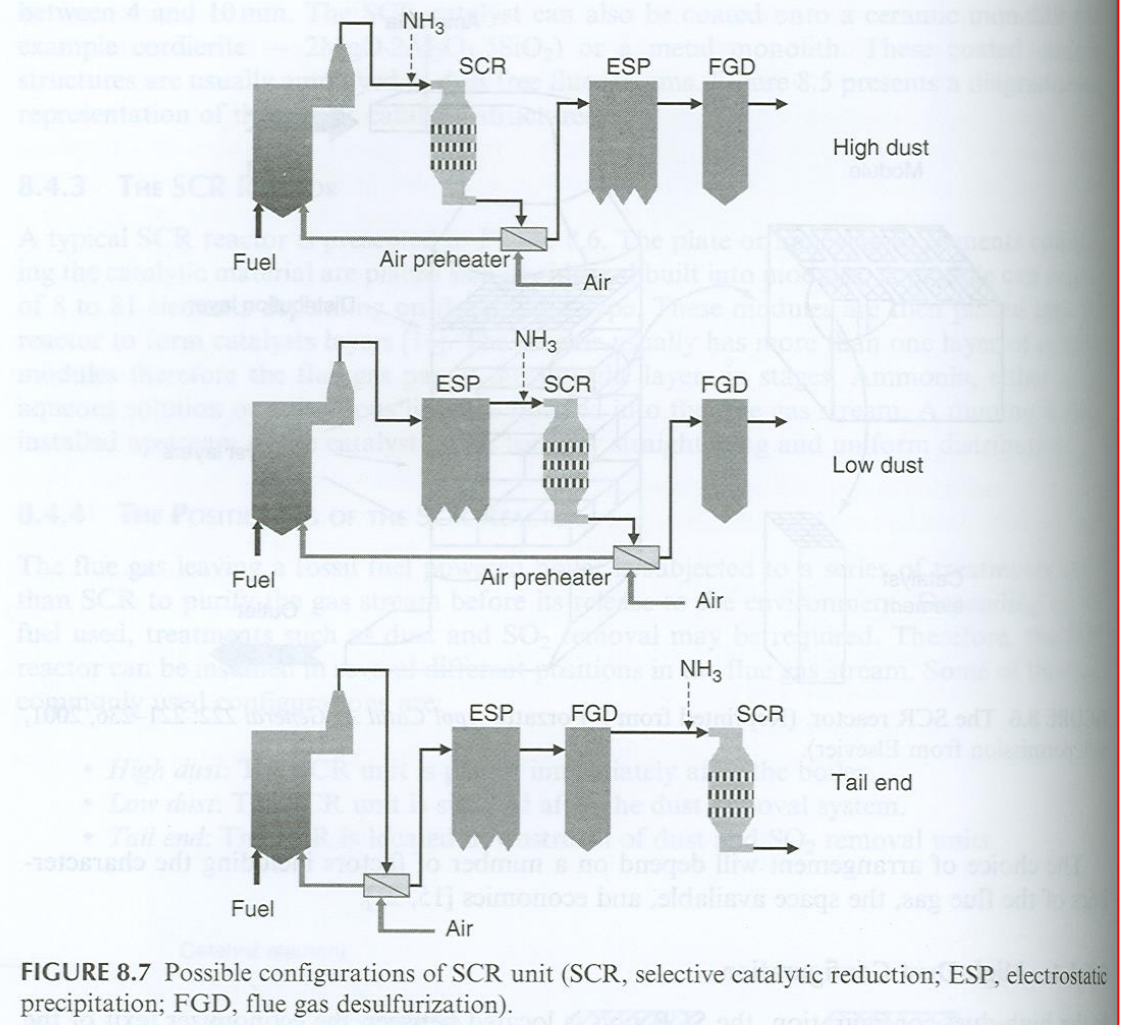
# Denitrifikační metody

## Katalytická redukce NO<sub>x</sub>

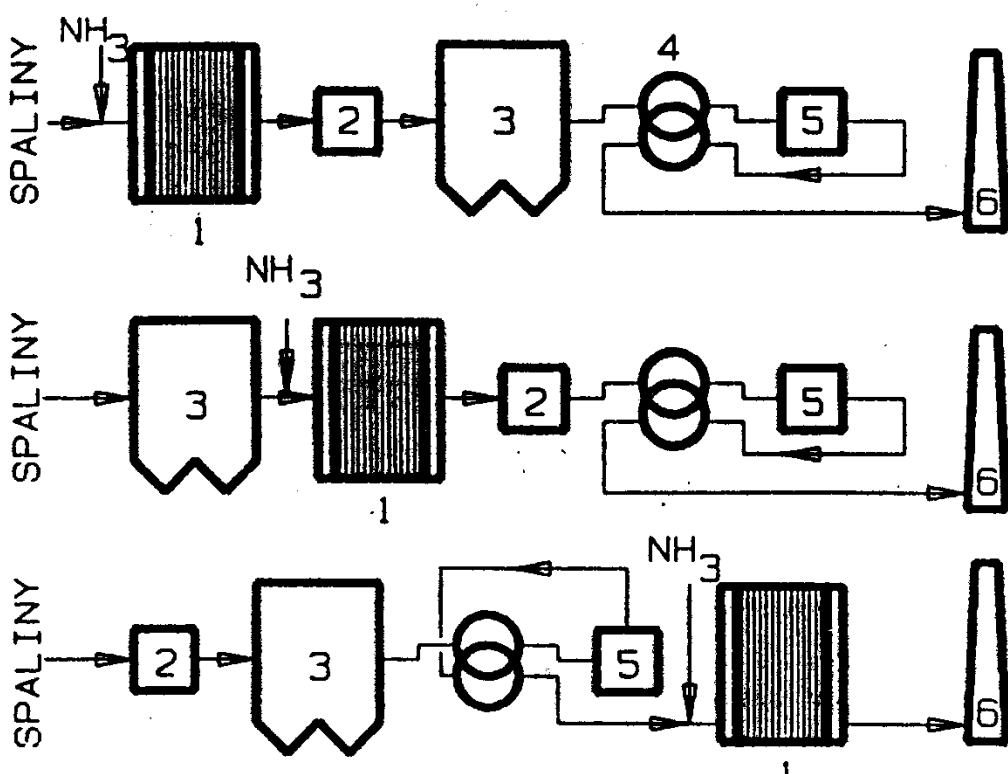


# Denitrifikační metody

## Katalytická redukce NOx



# Denitrifikační metody



Obr. 21. Možnosti technologického zapojení SKR

1 - SKR 3 - elektrofiltr

2 - ohřívač vzd.

4 - REGAVO

5 - odsíření

6 - komín

## Katalyzátor:

Nosič:  $\text{TiO}_2$  na keramické kostře (původně  $\text{Al}_2\text{O}_3$  –  $\text{SO}_2$  katalytický jed +  $\text{V}_2\text{O}_5$ )

## Životnost:

Plyn – 5 – 7 let

Uhlí – 3

T optimum  $\sim 350^\circ \text{C}$

- nižší klesá účinnost

- vyšší – oxidace  $\text{SO}_2 \rightarrow \text{SO}_3$

Koroze  $\Rightarrow$  musí být trvale v provozu ( $300^\circ \text{C}$ )

Usazování  $\text{NH}_4\text{HSO}_4$

# Denitrificační metody

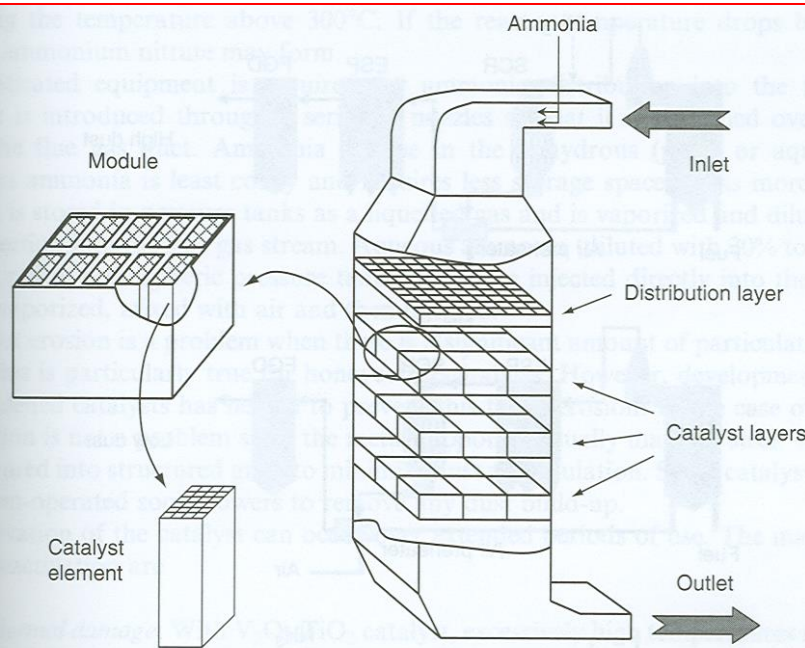


FIGURE 8.6 The SCR reactor. (Reprinted from P Forzatti. *Appl Catal A: General* 222: 221–231, 2001, with permission from Elsevier).

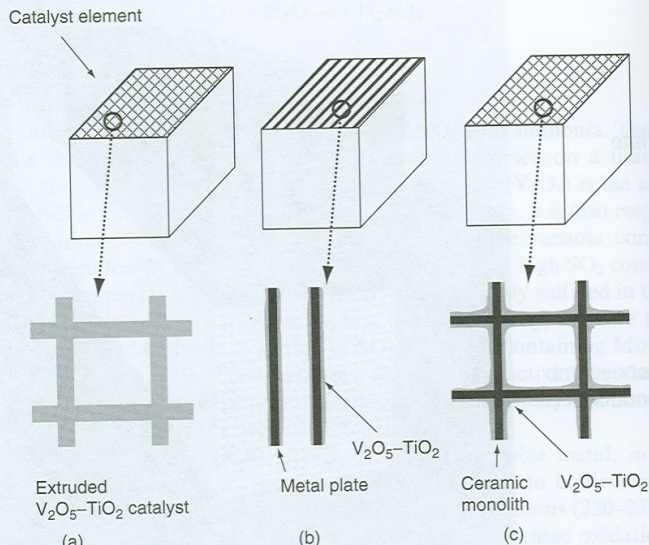


FIGURE 8.5 Various types of  $V_2O_5/TiO_2$  catalytic structures. (a) Extruded  $V_2O_5/TiO_2$  catalyst, (b) plate type catalyst, and (c)  $V_2O_5/TiO_2$  coated onto a ceramic monolith.

# Denitrifikační metody

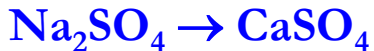
## Mokré metody

### Denitrifikace SHL:

Tvorba komplexu:



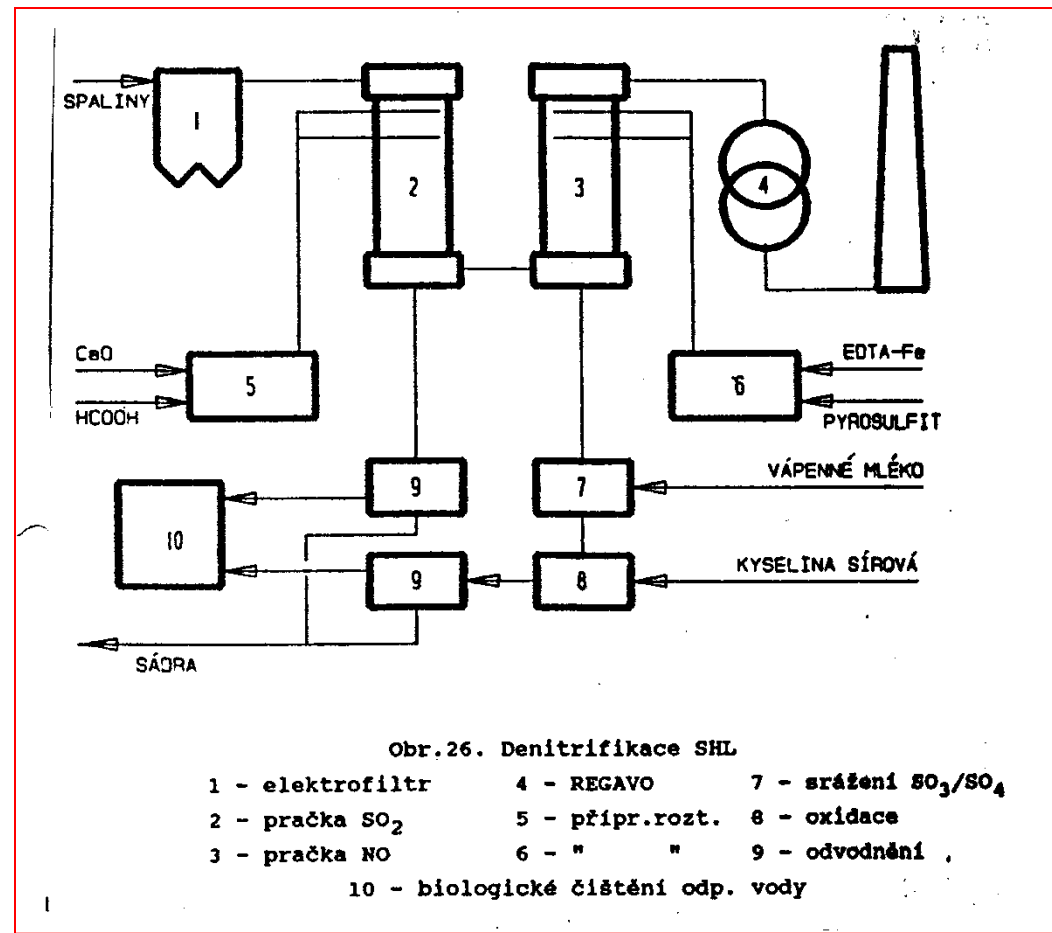
Nutná komplexace:



Různý charakter obou oxidů:

- ↳ NO - inert, nemá snahu přecházet do O
- ↳ NO<sub>2</sub> - reaktivní, ve vodě dobře rozpustný

NO ve spalinách převažuje ⇒  
převod NO → NO<sub>2</sub> nebo  
převod NO na komplexní soli



# Denitrifikační metody

Redukce NOx na aktivním koksu

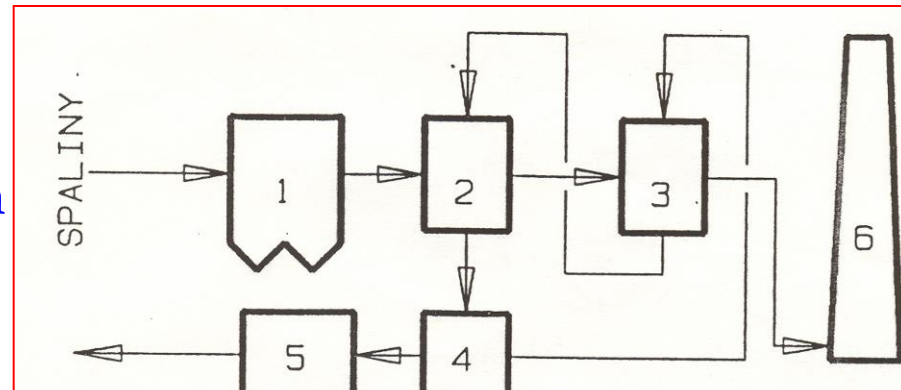
Pouze v kombinaci s odsířením

Nutnost odsíření ( $H_2SO_4$ ,  $NH_4HSO_4$  – deaktivace koksu)

Koks z nízkotepelné karbonizace černého uhlí – 80 °C +  $NH_3$   
reakce jako u SKR

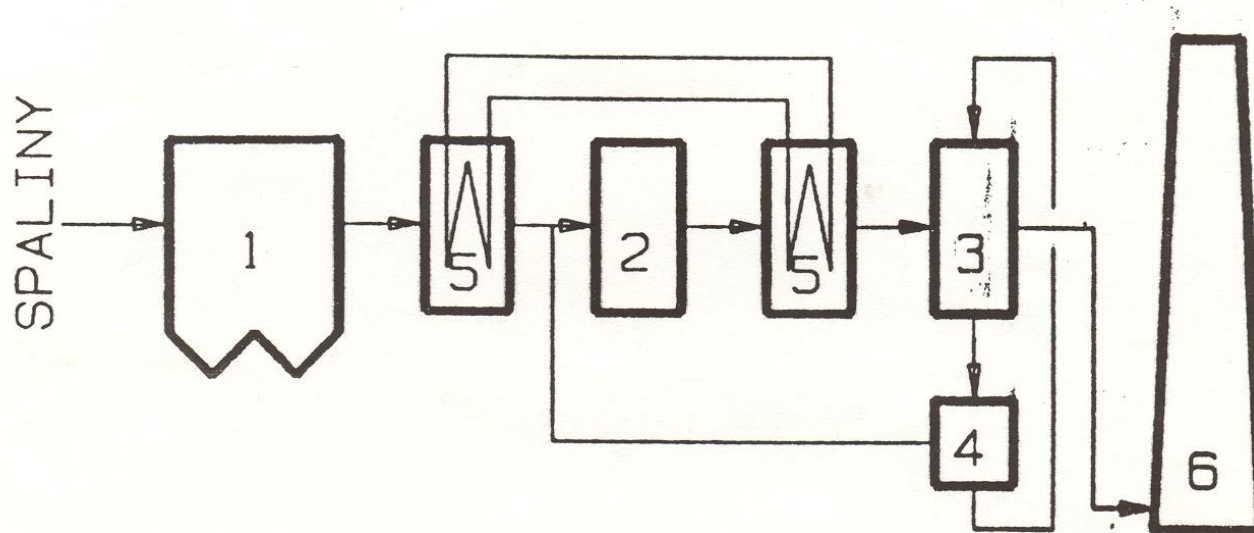
+  $SO_2 \rightarrow SO_3 \rightarrow H_2SO_4 \rightarrow NH_4HSO_4$

Poté tepelná regenerace



Obr. 23. Kombinace odsíření a denitrifikace na aktivním koksu  
1 - elektrofiltr      3 - denitrifikace      5 - zprac.  $SO_2$   
2 - odsíření      4 - regenerace      6 - komín

# Denitrifikační metody



Obr.24. Kombinace mokrého odsíření a denitrifikace na aktivním koksu.

1 - elektrofiltr

3 - denitrifikace

5 - ECOGAVO

2 - odsíření

4 - regenerace

6 - komín

## Problematická ekonomika

Výhoda – snadná regenerace koksu

# Denitrifikační metody

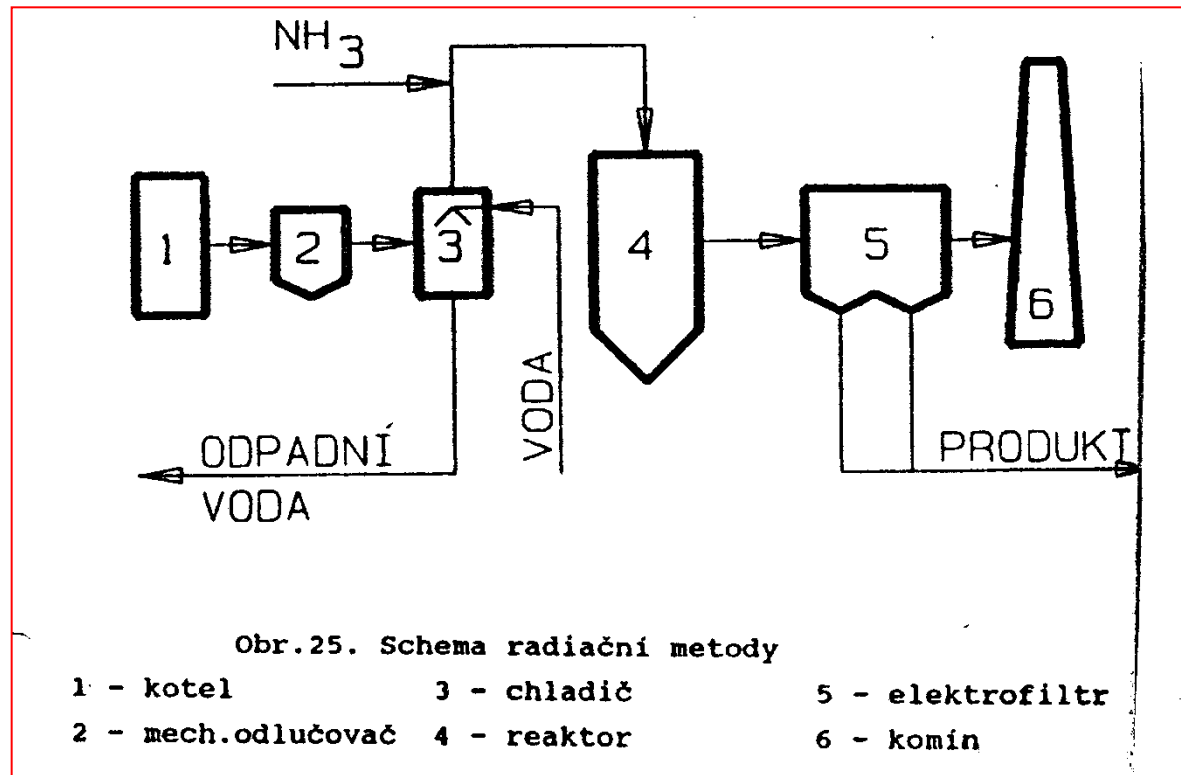
## Radiační metoda

Suchý proces odstraňování  $\text{SO}_2 + \text{NO}_x \Rightarrow$  místo katalyzátoru – působení urychlených neutronů

Ozářením spalin  $\Rightarrow$  radikály  $\Rightarrow$  rekombinace s  $\text{NH}_3 + \text{O}_2 \rightarrow (\text{NH}_4)_2\text{SO}_4 + \text{NH}_4\text{NO}_3$

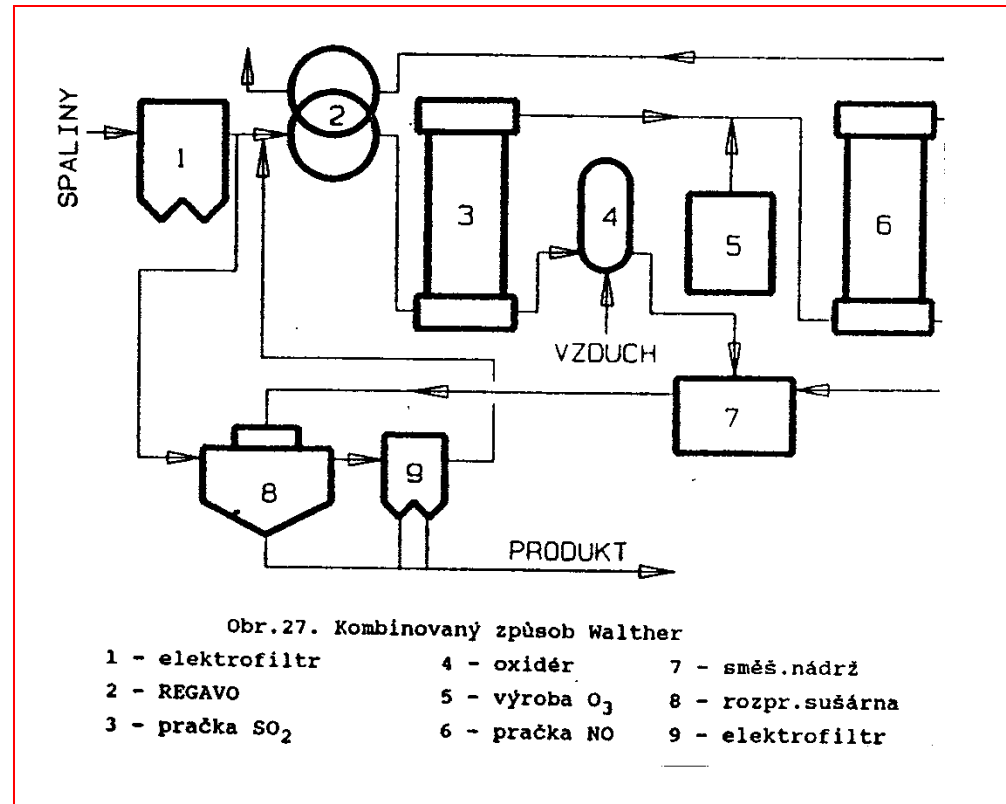
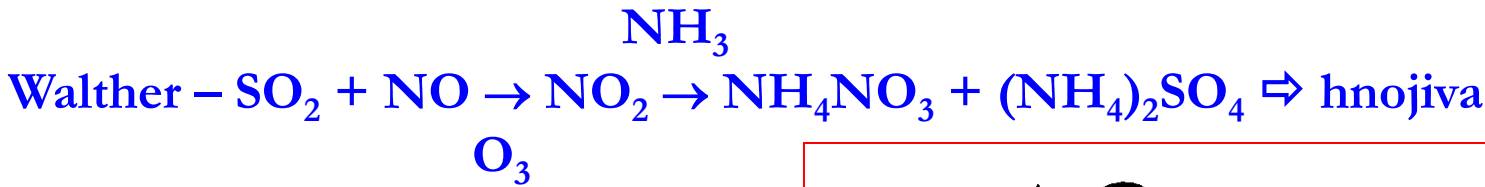
- ↳ 95%  $\text{SO}_2$
- ↳ 80%  $\text{NO}_x$

Vysoká energetická  
náročnost – 3%  
výkonu kotle (SKR - 2  
- 2,3%)



# Denitrifikační metody

## Kombinovaný způsob Walther



# Proces současné desulfurace a denitrifikace

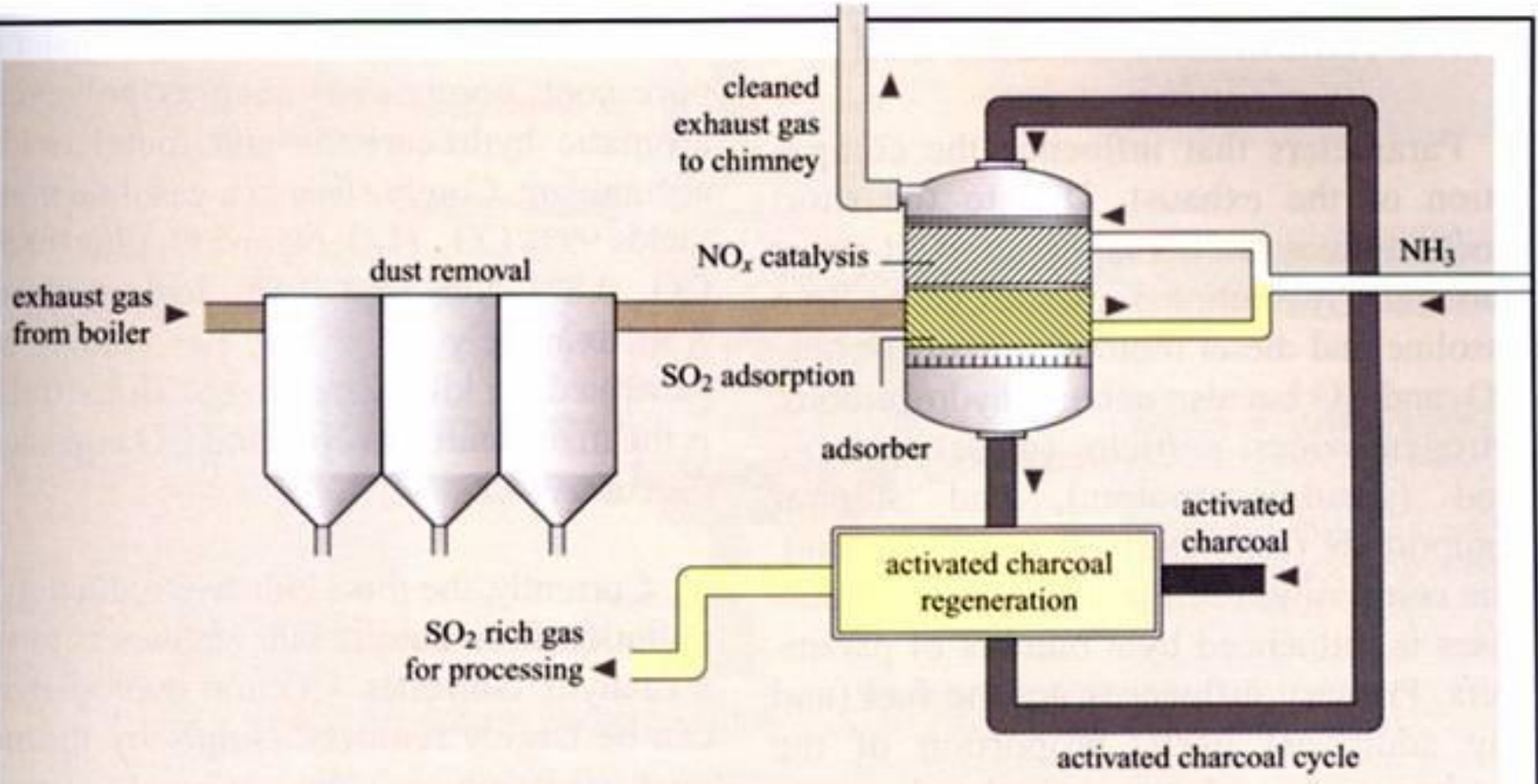


Figure 2.5.8 Simultaneous processes for desulphurisation and denitration of exhaust gas

# Možnosti pro redukci $\text{NO}_x$ ve spalovací komoře

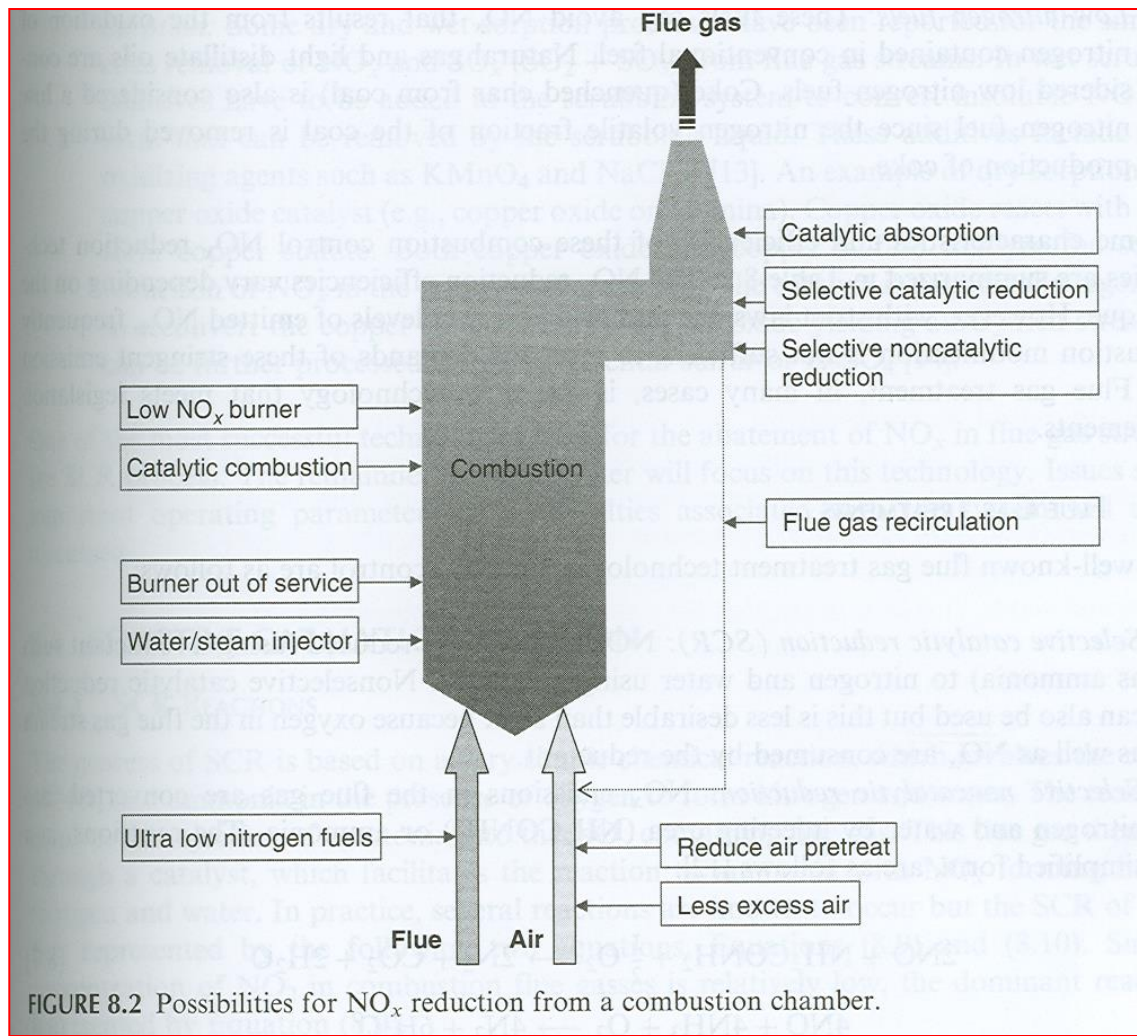
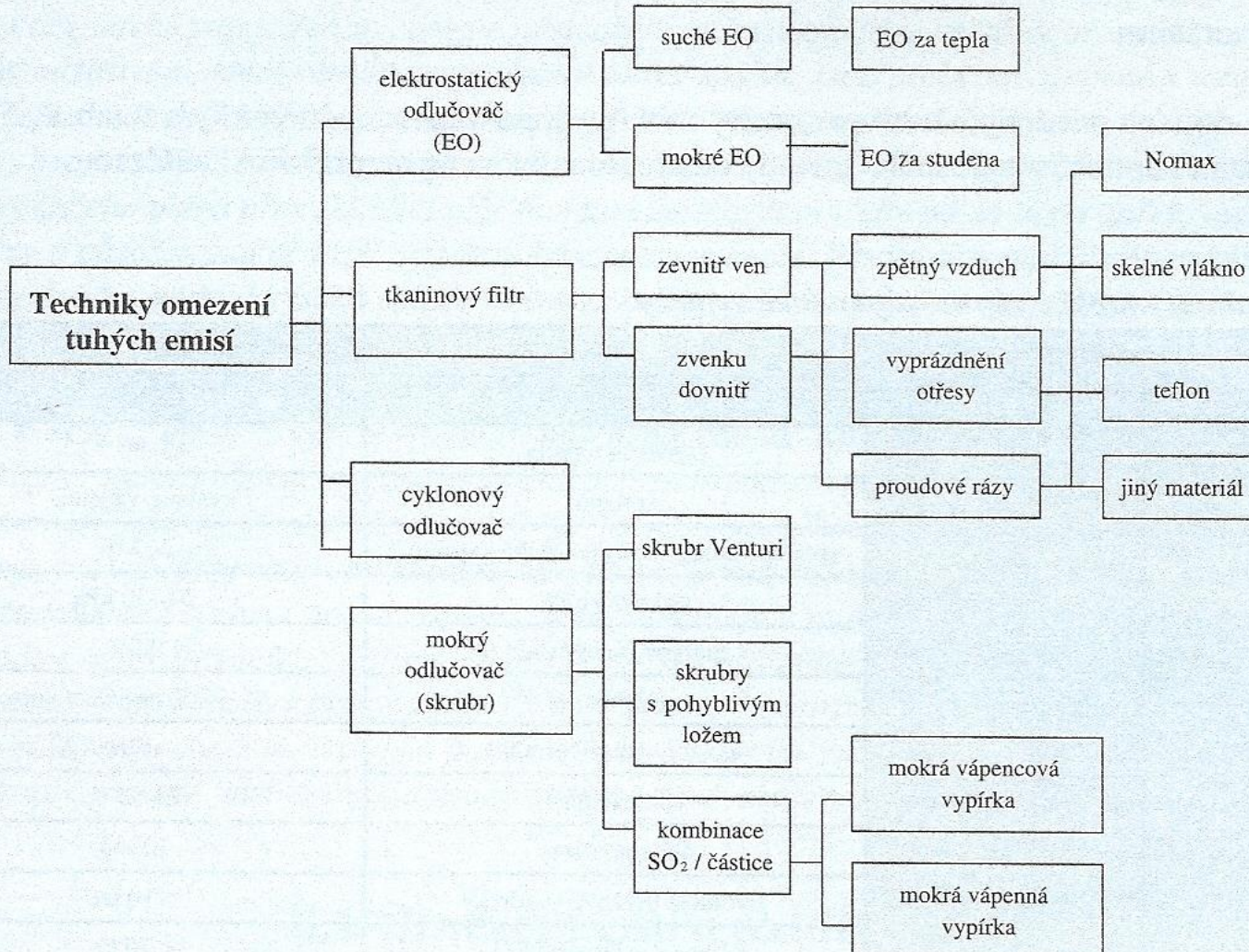


FIGURE 8.2 Possibilities for  $\text{NO}_x$  reduction from a combustion chamber.

Č	Název přednášky	Obsah přednášky
III.	Technologie sloužící pro zajištění čistoty ovzduší	III.2.3 Odlučování tuhých částic

# Odlučování tuhých částic

Přehled používaných technik k omezení tuhých znečišťujících látek.



# Odlučování tuhých částic

mechanické odlučovače	cyklonové odlučovače (jednotlivé cyklony, skupinové cyklonové odlučovače a multicyklony)	pro hrubé prachy u rošťových kotlů, předodlučovač hrubých příměsí před dalším stupněm odlučování (nízká odlučivost)
	suché rotační odlučovače	
	vírové odlučovače s obvodovým zrychlením (typ Huricclone)	odsávací jednotky nižších výkonů
	suché odlučovače se sypanou zrnitou vrstvou	pro nepříznivé provozní podmínky
Mokré mechanické odlučovače	mokré vírníkové odlučovače	menší jednotky
	pěnové odlučovače	absorbéry (zachycují i plynné látky)
	mokré odlučovače se zrnitou vrstvou	pro nepříznivé provozní podmínky
	mokré hladinové odlučovače	použití v metalurgii
	mokré odlučovače typu Venturi (osové nebo štěrbinové)	vysoká odlučivost, vysoká spotřeba energie
	mokré rotační odlučovače	u odsávacích jednotek
Elektrostatické odlučovače	trubové elektrostatické odlučovače	u nás se nepoužívají
	horizontální komorové elektrostatické odlučovače	nejčastější použití v elektrárnách a u jiných velkých zdrojů, vysoká odlučivost
	vertikální komorové elektrostatické odlučovače	speciální případy
	mokré elektrostatické odlučovače	speciální případy
Textilní (látkové) filtry	hadicové textilní filtry	pro nároky na nejvyšší odlučivosti, běžně se používají u malých i velkých zdrojů
	kapsové textilní filtry	
	klínové textilní filtry	dnes se již nepoužívají

# Záchyt tuhých příměsí

Technicky většinou dobře řešitelné

Emise tuhých částic:

- ↳ opracování kamene
- ↳ zpracování zeminy
- ↳ metalurgie
- ↳ energetika

# Záchyt tuhých příměsí

## Nežádoucí:

- ↳ Spalovny – ekologicky
- ↳ Chemický průmysl - technologicky

## Důležité vlastnosti:

- ↳ velikost – 0,01 – 1000 µm
- ↳ částice jedné velikosti – mono-disperzní systém – výjimečně
- ↳ částice – různé – polydisperzní systém

# Záchyt tuhých příměsí

## Princip třídění

Postupné vynášení částic ze základního souboru plynem nebo kapalinou o postupně zvyšované rychlosti

## Prach

Koncentrace, měrná hmotnost, lepivost, abrasivost

## Odlučovače

Tvar částic, měrný povrch, permitivita, elektrický náboj a odpor, smáčivost, explozivnost...

# Záchyt tuhých příměsí

## Zařízení:

- ↳ Odlučovače mechanické – suché, mokré
- ↳ Odlučovače elektrické – suché, mokré
- ↳ Filtry

## Účinnost odlučovačů:

- Celková odlučivost – váhová %  
odloučeného prachu + celkové  
množství prachu
- Frakční odlučivost – odloučení  
určité frakce o určité velikosti
- Mez odlučivosti – rozdíl částice,  $P_{50}$ , kdy je frakční odlučivost  
rovná 50%

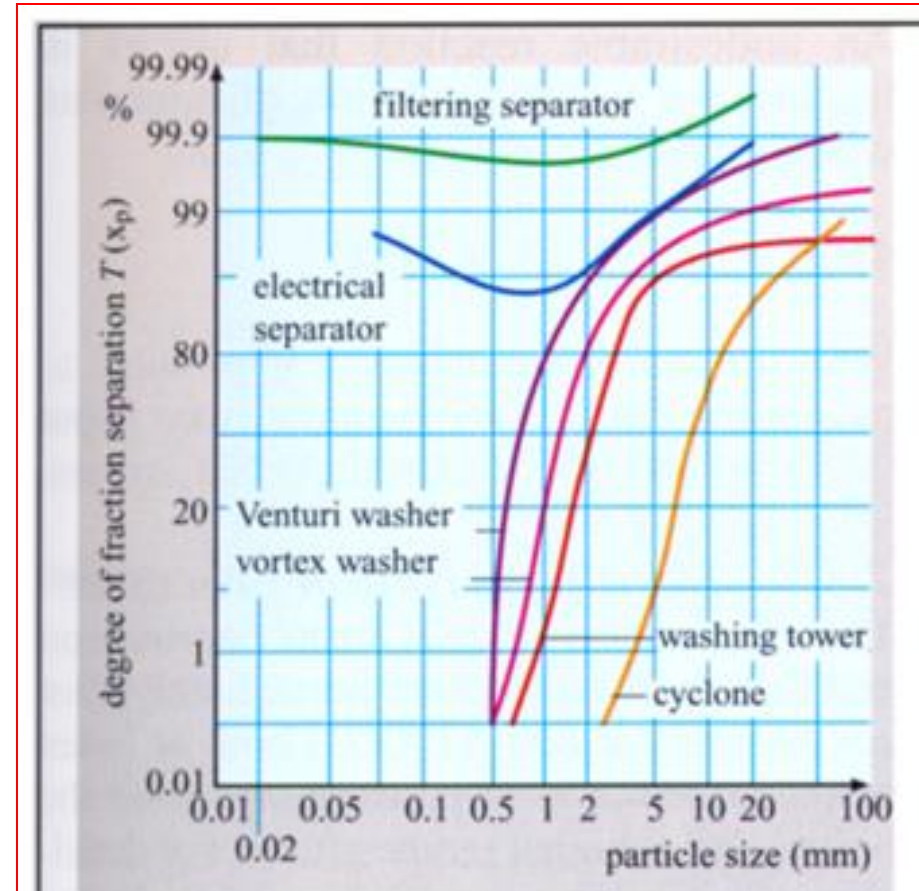


Figure 2.5.2 Comparison of different dust particle separation systems

# Záchyt tuhých příměsí

## 1) Mechanické

Usazovací komory – gravitace – nepoužívají se < 70%

Virové odlučovače – využití odstředivé síly – cyklony - 80% - universální – neschopnost odloučit velmi jemné frakce (< 2 – 10  $\mu\text{m}$ )

Multicykly:

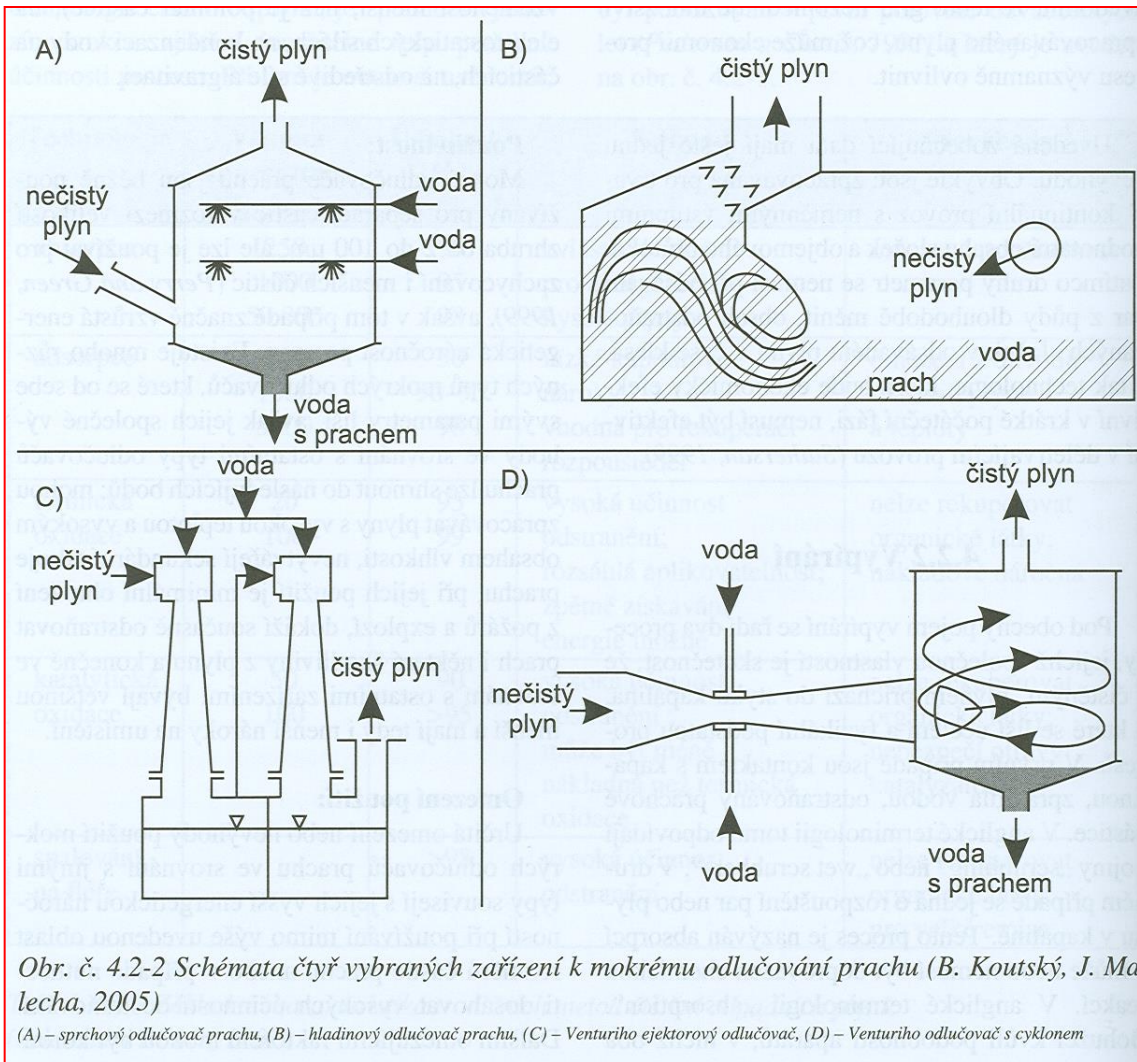
- ↳ Žaluziové
- ↳ Mokré - hladinové 80 - 99%
- ↳ Virnikové

Venturiho pračka – 99,9%

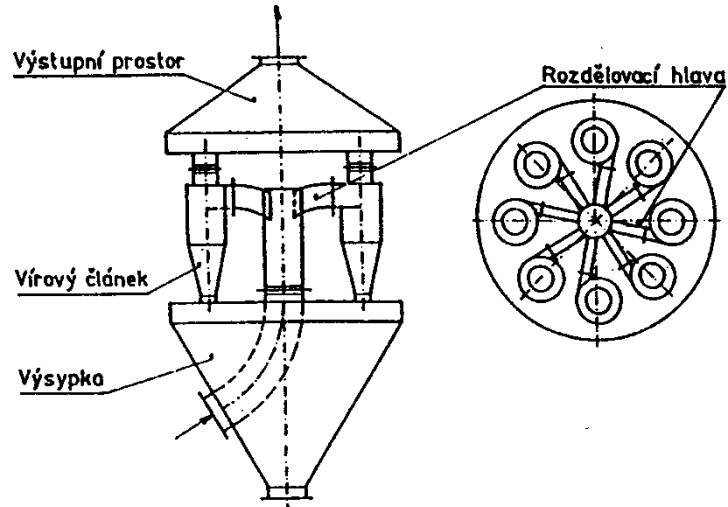
# Záchyt tuhých příměsí

- 2) Elektrické – využití přitažlivých sil mezi elektricky nabitymi částicemi prachu a opačně nabitou sběrací elektrodou – 99,9%
- 3) Filtry – 99,9%

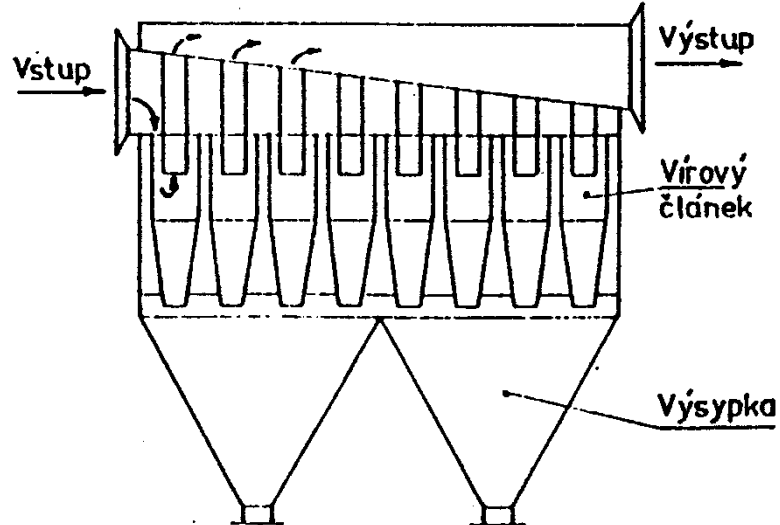
# Vybraná zařízení k mokrému odloučení prachu



# Záchyt tuhých příměsí

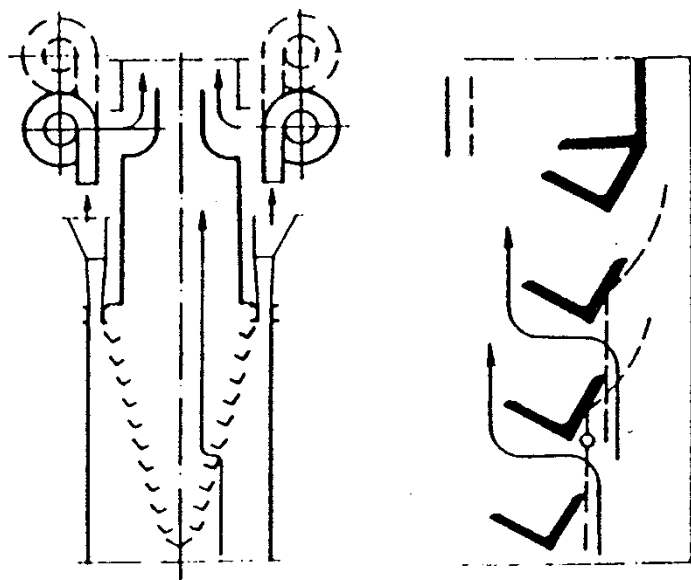


Obr. 47. Skupinový odlučovač složeny z tečných článků

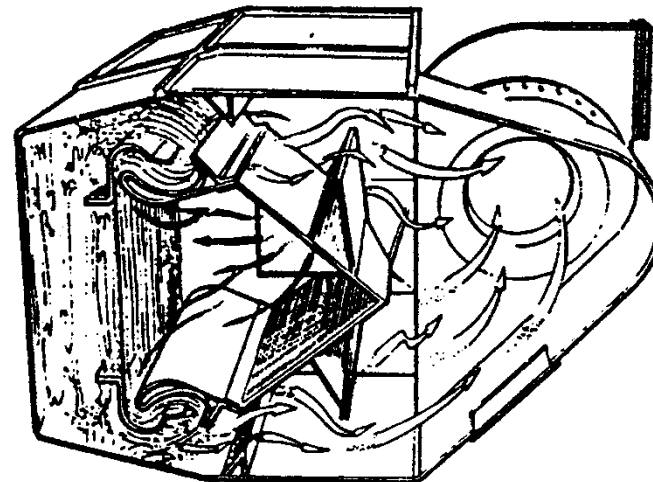


Obr. 48. Skupinový odlučovač složeny z osových článků

# Záchyt tuhých příměsí

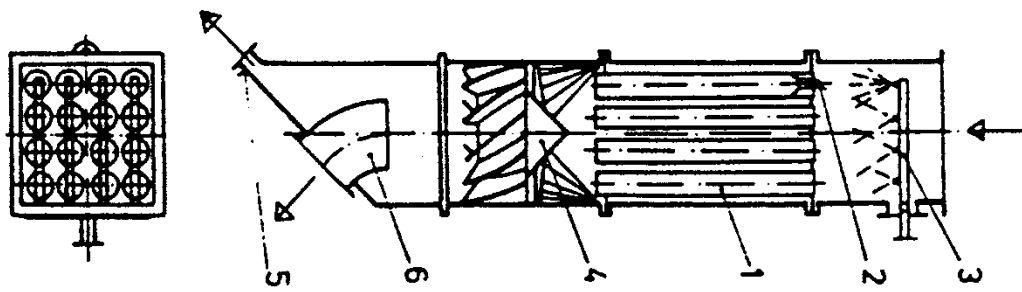


Obr.49. Žaluziový odlučovač

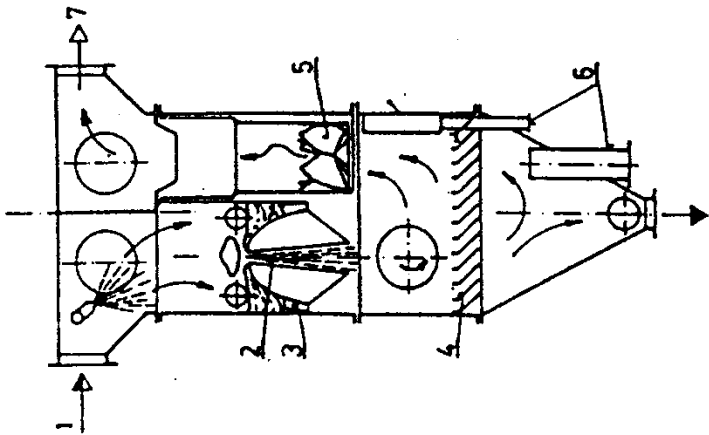


Obr.50. Princip funkce hladinového odlučovače

# Záchyt tuhých příměsí

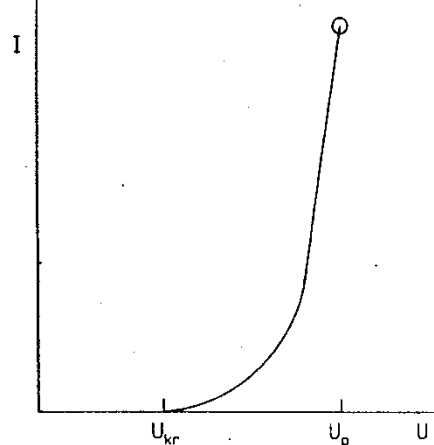


Obr.51. Mokrý vírníkový odlučovač

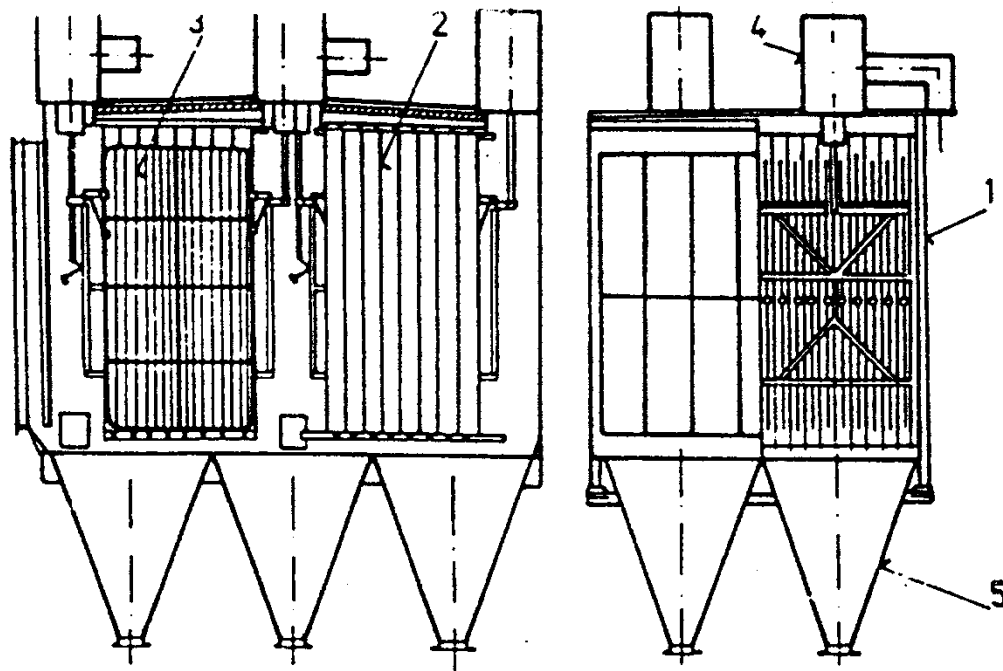


Obr.52. Odlučovač s Venturiho trubici obdélníkového průřezu

# Záchyt tuhých příměsí



Obr.53. Typická voltampérová charakteristika korony



Obr.54. Řez horizontálním komorovým elektroodlučovačem

- |                         |                           |
|-------------------------|---------------------------|
| 1 - skřín               | 4 - budky zavěšení ioniz. |
| 2 - sběrácí elektrody   | elektrod                  |
| 3 - ionizační elektrody | 5 - výsypka               |

# Záchyt tuhých příměsí

## (3) Filtry

- ↳ Keramické – dočišťování plynů s nízkým obsahem tuhých příměsí
- ↳ Látkové
  - hadicové - hadice z filtrační látky, různé délky a průměru
  - kapsové – kapsy s drátěnou vložkou

# Záchyt tuhých příměsí

## Regenerace zaprášené látky (pro oba typy)

- ↳ filtry se zpětným profukováním čistým plynem, a to za chodu nebo při odstavené komoře
- ↳ filtry s mechanickým oklepáváním příp. se zpětným profukováním za chodu nebo při odstaveném filtru
- ↳ filtry s regenerací vibracemi mechanickým zdrojem nebo ultrazvukem
- ↳ filtry s regenerací stlačeným vzduchem za chodu nebo v klidu

Plošné zatížení filtru – objem plynu za minutu prošlý 1 m<sup>2</sup> plochy filtru

S rostoucím zatížením roste tlaková ztráta

Možné plošné zatížení filtru závisí také na způsobu regenerace  
 $\sim 0,4 - 2 \text{ m}^3 \cdot \text{m}^{-2} \cdot \text{min}^{-1}$

# Provozní parametry zařízení pro vypírání prachu z plynu

	Odlučovač s pevným ložem	Odlučovač s Venturiho ejektorem	Pračka s hladinovou sprchou	Venturiho pračka
rozměry částic prachu, $\mu\text{m}^*$	0,7–1,5	0,8–0,9	0,1–0,5	0,05–0,2
relativní rychlosť, $\text{m.s}^{-1}$	1	10–25	8–20	40–150
tlaková ztráta, kPa	0,2–2,5		1,5–2,8	3–20
potřeba vody, $\text{dm}^3 \cdot \text{m}^{-3}$	0,05–5	5–20		0,5–5
potřeba energie kWh/1000 m <sup>3</sup>	0,2–1,5	1,2–3	1–2	1,5–6

Tab. č. 4.2-2 Příklad provozních parametrů zařízení pro vypírání prachu z plynu (Wolf a kol., 2002)

Č	Název přednášky	Obsah přednášky
III.	Technologie sloužící pro zajištění čistoty ovzduší	III.2.4 Úprava paliv

# Snižování obsahu S v palivu

Logický postup – obtížný – zatím prakticky nerealizovatelný

Dosud: u (g), (l) paliv – technologicky dokonale zpracováno –  
vysoká cena

(s):

- ↳ biologické
- ↳ mechanické
- ↳ chemické

# Biologické loužení

Zkrápění uhlí s loužící vodou – působení baktérií – oxidace pyritické S →  $\text{H}_2\text{SO}_4$ , rozpouštění  $\text{SO}_4^{2-}$

Při dostatečné době – až 50% praktické, dosud nepřekonatelné nevýhody:

- ↳ nutnost použití důlních vod s příslušnými mikroorganismy
- ↳ dlouhá doba
- ↳ možnost práce pouze při  $T > 0^\circ \text{C}$
- ↳ produkce velkého množství agresivních OV

## Základní výzkum

# Mechanické postupy

Odstranění  $\text{SO}_4^{2-}$ ,  $\text{S}^{2-}$

Organická S (dle paliv – 30-70% veškeré S; podíl neorganické S narůstá většinou s celkovým obsahem S )

$\text{SO}_4^{2-}$  - 0,01' %

$\text{S}^{2-}$  - jemně rozptýlené mikrokryrstaly – relativně velké částice - forma limituje účinnost mechanického postupu

# Mechanické postupy

## Principy:

veliký rozdíl v hustotě uhelné hmoty a pyritu:

- ↳ flotace
- ↳ magnetické vlastnosti pyritu



magnetická, odstředivá nebo fluidní separace

Účinnost odsíření závisí na:

- ↳ poměru pyritické a organické S
- ↳ jemnosti mletí suroviny
- ↳ velikosti pyritových zrn

Nízká účinnost - předúprava

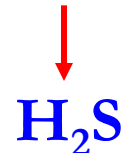
# Chemické postupy

Převedení uhelné hmoty do plynné nebo kapalné fáze

Odsíření v (g) – paroplynový cyklus

(l) – nízkotepelná karbonizace

Organická S, S<sup>2-</sup> - redukční atmosféra karbonizačního plynu



zbytek S – polokoks

nízkotepelný dehet



odsíření hydrogenací

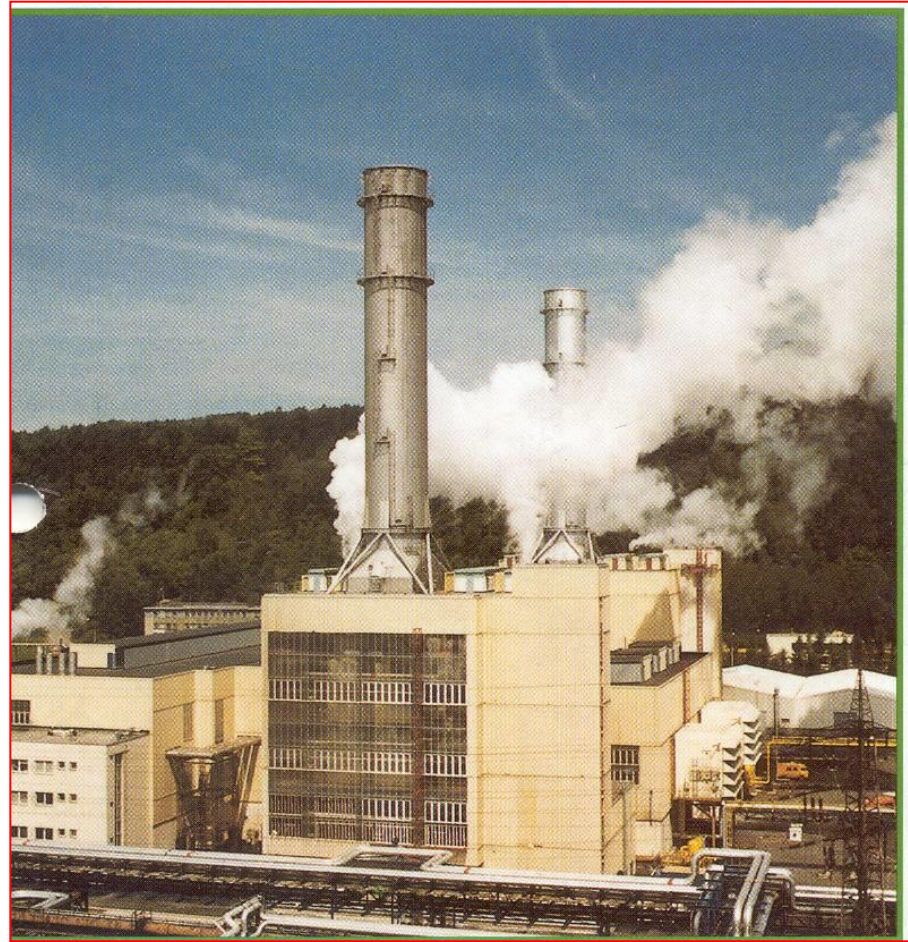
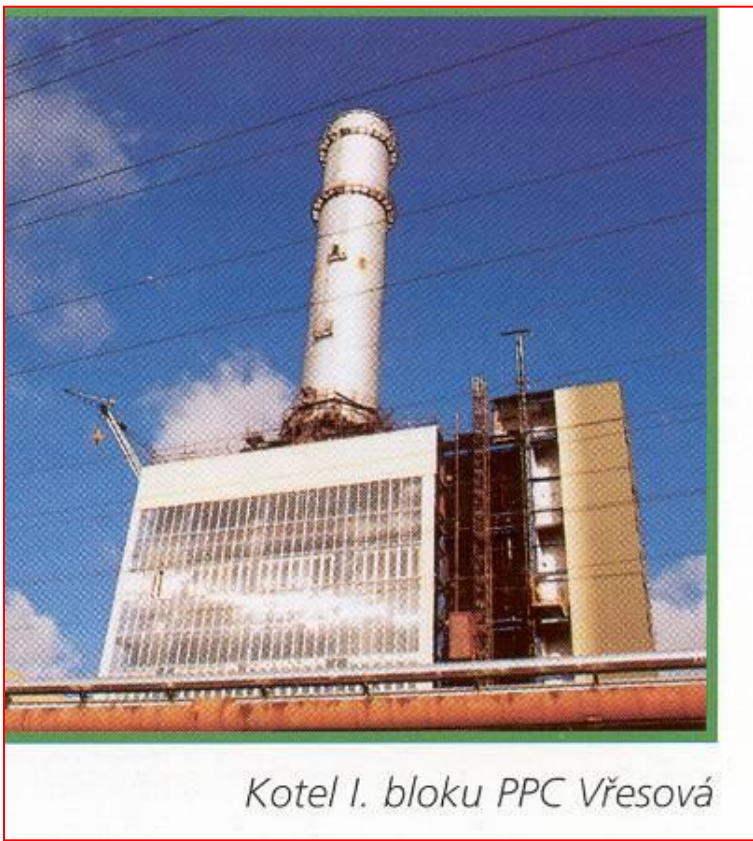
Hydrogenační extrakce mletého uhlí olejem za vysokého p



Schůdné, nízká účinnost, ekonomicky nevýhodné

# Paroplynový cyklus

Získání E plynu k výrobě elektrické E kombinací plynové a parní turbiny



# Paroplynový cyklus

Zplynění uhlí – tlakově kyslíkem a párou

*Odstranění S z takto získaného plynu není technickým problémem*

Převedení C z uhelné hmoty O<sub>2</sub> (vzduchem) a vodní parou



Tlak – 3 MPa, různé generátory, klasický – Lurgi – zplynění v sesuvném loži

# Paroplynový cyklus

Uhlí - vrchem tlakovou vpuští - vlastní vahou klesá

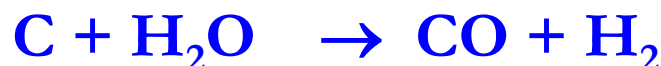
Kontakt ze zdola přiváděným zplyňovacím mediem ( $O_2$ , ev. vzduchem +  $H_2O$  (g) - spodní část – spálení dosud nezreagovaného C →  $CO_2$



velký vývin tepla ( $T \sim 1\,100\text{ }^{\circ}\text{C}$ )



Pokrytí energetické potřeby zplyňovaných RHs ve vyšší vrstvě (800 – 1 100° C)



# Paroplynový cyklus

Redukční atmosféra:  $S \rightarrow H_2S$



- absorpce v chladném methanolu
- adsorpce AU

E plynů se získává ve třech stupních:

- ↳ snížení tlaku vyrobeného (g) v expanzní turbině
- ↳ spálení plynu a využití horkých spalin nejprve v plynové turbině
- ↳ k výrobě páry, kterou je poháněna parní turbina

# Paroplynový cyklus

## Maximální využití tepelné E

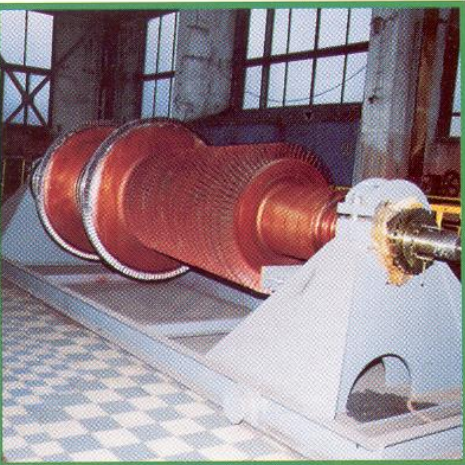
Předehyr zplyňovacího a spalovacího vzduchu, využití páry za parní turbinou pro zplynění

**Výhoda:** mírně zvýšená účinnost výroby elektrické energie ve srovnání s klasickými tepelnými elektrárnami (hnědé uhlí ze SHD ~ 36%) → nezávadnost pro ŽP.

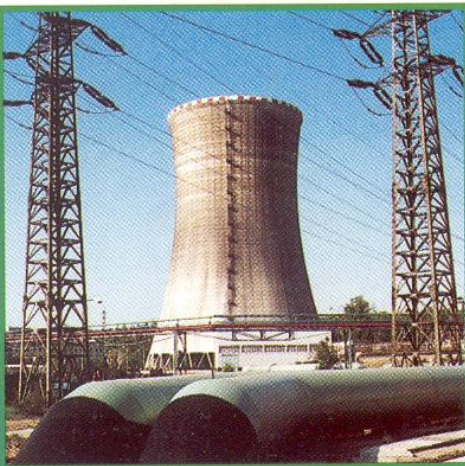
Zvýšení účinnosti:

Kombinace paroplynového cyklu a tlakového fluidního zplyňování (Vřesová, Ústí)

## Technologie energetického bloku paroplynového cyklu Vřesová tvoří:



Vysokotlaký rotor parní turbíny před montáží



Chladící věž paroplynové elektrárny

- Plynová turbína s typovým označením 9171 E, dodaná firmou GEC-ALSTHOM.
- Spalinový kotel, dodávaný firmou ABB-První Brněnská strojírna s.r.o.
- Parní turbína PP 60-71 dodaná rovněž ABB-PBS
- Zařízení pro vyvedení elektrického výkonu
- Řídící systém a další zařízení, umožňující provoz bloku.

# Paroplynový cyklus



Montáž plynové turbíny č. 1 na základy

Č	Název přednášky	Obsah přednášky
III.	Technologie sloužící pro zajištění čistoty ovzduší	III.2.5 Snižování emisí z chemických a petrochemických procesů

# Absorpce

Proces zpracování plynu, při kterém některá z jeho složek odchází ze zařízení rozpuštěná v prací kapalině.

Hnací síla:

Rozdíl mezi koncentrací složky v plynnej fázi a rovnovážnou koncentrací v plynnej fázi, odpovídající obsahu složky v kapalné fázi za dané teploty  $\Rightarrow$  nejvyšší při nulové C v roztoku  $\Rightarrow$  výhodně chemická vazba složky z roztoku

C složky převedené do roztoku za jednotku času = funkce (c, T,  
velikosti plochy styku obou fází, době zdržení v absorbéru,  
hydrodynamických podmínek)

Prací roztok – možná regenerace (vyšší T)

# Absorpce

## Princip:

Absorpce je difuzní proces přestupu hmoty, při kterém je rozpustná plynná složka odstraňována z proudu plynu rozpuštěním v kapalném rozpouštědle. Absorpční proces může být bez chemické nebo s chemickou reakcí, s recirkulací nebo bez recirkulace kapalné fáze. Hnací silou absorpce je rozdíl koncentrací rozpouštěné složky v plynné a kapalné fázi. Je-li hnací síla kladná, dochází k absorpci, je-li hnací síla negativní, dochází k desorpci, tj. k přestupu rozpuštěné složky zpět do plynné fáze. Jaké množství látky adsorbované se rozplustí, je vyjadřováno rozdělovacím koeficientem definovaným vztahem

$$H = \frac{c_l}{c_g} \quad [4.2-1]$$

kde

H rozdělovací koeficient

c<sub>l</sub> rovnovážná koncentrace složky  
v kapalné fázi [kg.m<sup>-3</sup>]

c<sub>g</sub> rovnovážná koncentrace v plynné fázi  
[kg.m<sup>-3</sup>]

# Absorpce

**Maximální účinnost, co největší zdržení, plocha styku při co největší intenzitě proudění z obou fází – co nejmenší tlaková ztráta, co nejmenší prostorové, materiálové, finanční nároky.**

## Plocha styku obou fází

- ↳ kapalný film na povrchu speciální náplně - výplňové kolony - nejčastější
- ↳ plynové bubliny v absorpční kapalině - patrové kolony
- ↳ kapky absorpční kapaliny - sprchové kolony, Venturiho pračky

# Absorpce

- ↳ výplňové a zejména sprchové - levnější, menší tlaková ztráta
- ↳ patrové mohou pracovat s nástřikem kapaliny proměnným širokých mezích
- ↳ pro prací kapaliny s vyšším obsahem tuhých nečistot nebo suspenze jsou vhodné sprchové, př. patrové kolony, výplňové se snadno zanášeji
- ↳ je-li absorpční proces provázen výraznými tepelnými změnami – ohřev či chlazení se nejlépe provádí v patrových kolonách

váha, pořizovací náklady:

sprchové < výplňové < patrové

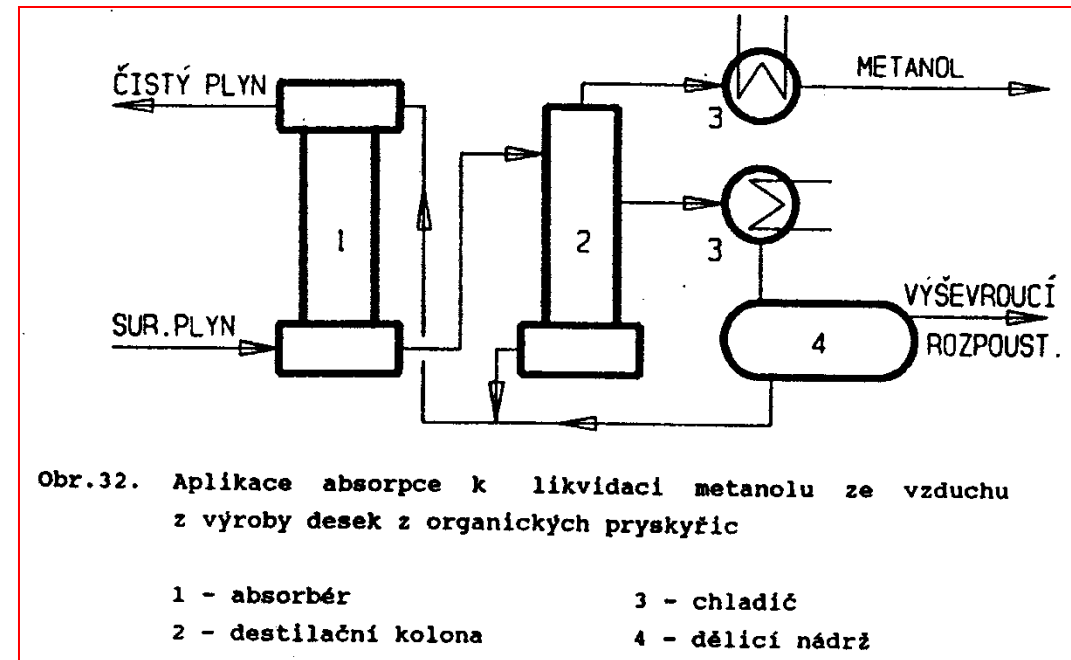
- ↳ pračky – pro malý výkon

# Absorpce

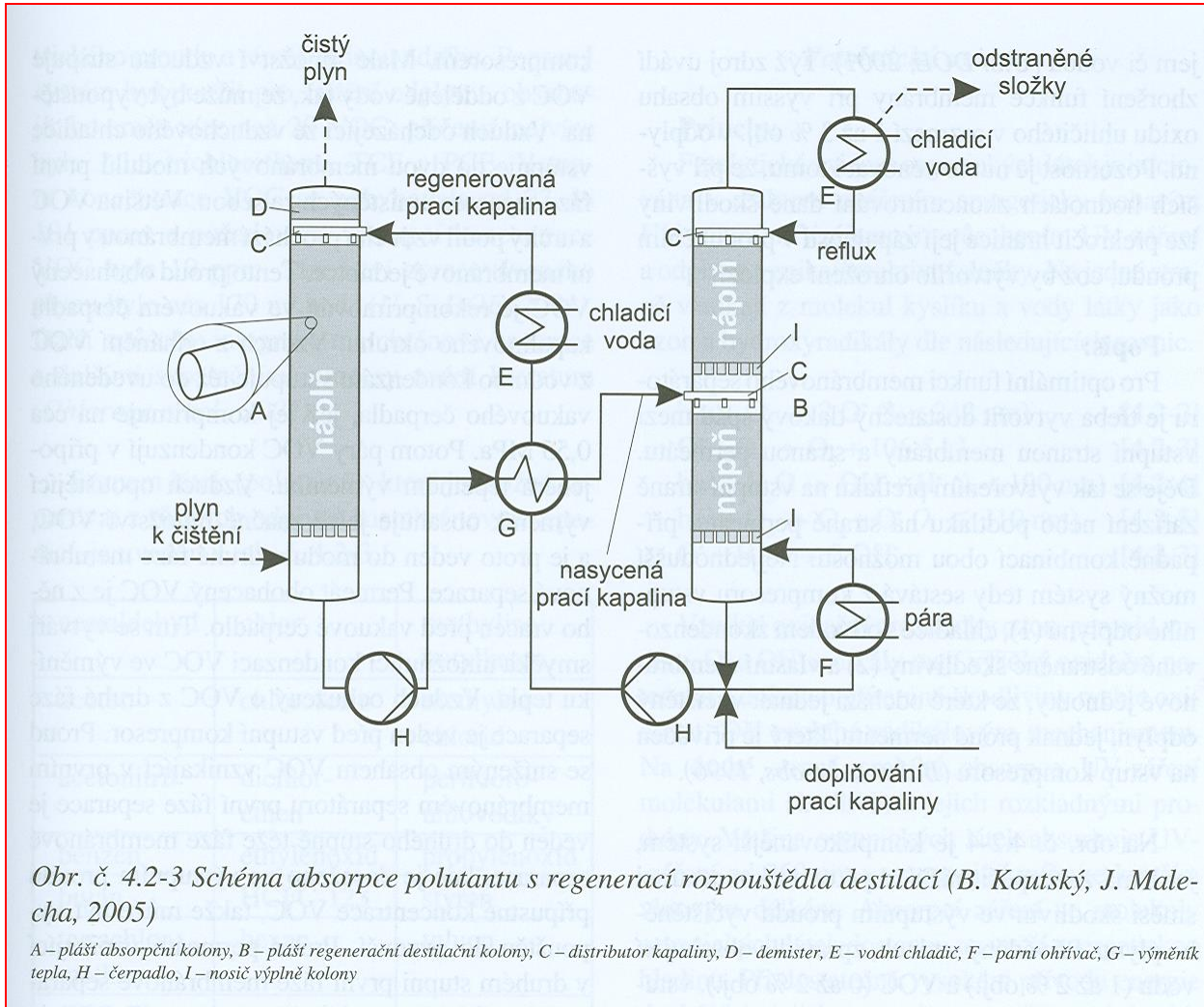
## Absorpce:

- ↳ pokud je nežádoucí znovuzískání produktu
- ↳ při vysokých koncentracích
- ↳ nemožnost účinné adsorpce (CO, HCN, HCl)
- ↳ při obsahu zanášejících látek (dehet)

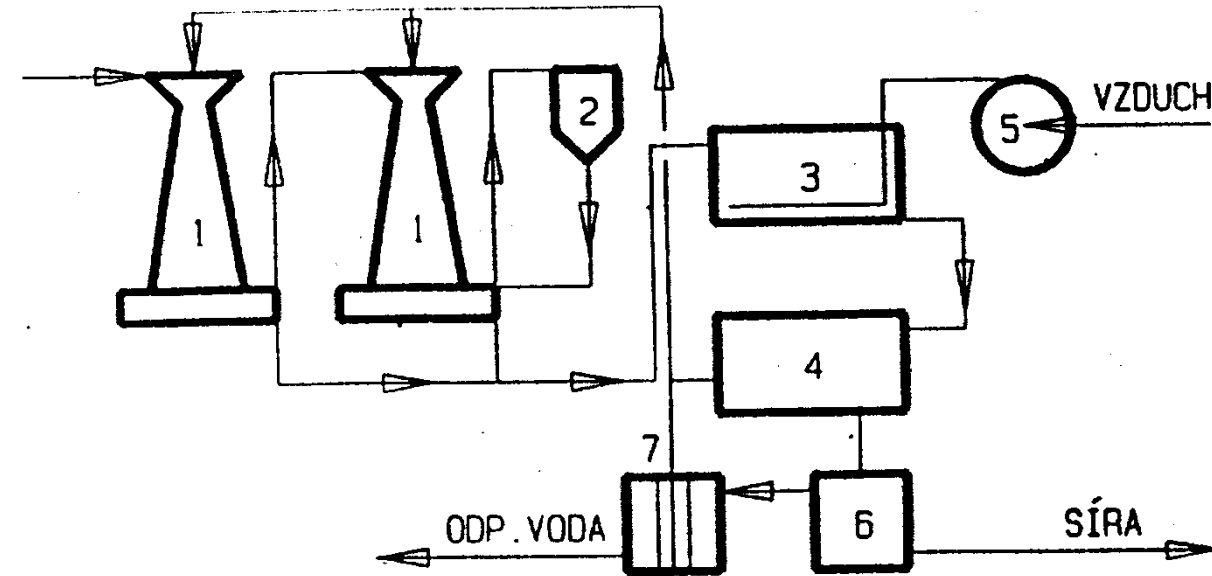
Velké množství  $\text{CH}_3\text{OH}$ ,  
zbytky pryskyřice  
absorpce regenerace  
 $\text{CH}_3\text{OH}$  – kryje finanční  
náklady



# Absorpce s regenerací rozpouštědla destilací



# Absorpce



Obr.33. Schema absorpční likvidace sulfanu v kyselém plynu

- |                             |                     |
|-----------------------------|---------------------|
| 1 - Venturiho pračka        | 4 - usazovací nádrž |
| 2 - odlučovač kapek         | 5 - dmychadlo       |
| 3 - oxidační nádrž          | 6 - filtrace        |
| 7 - osmotické oddělení solí |                     |

# Adsorpce

## 4.2.6 Adsorpce

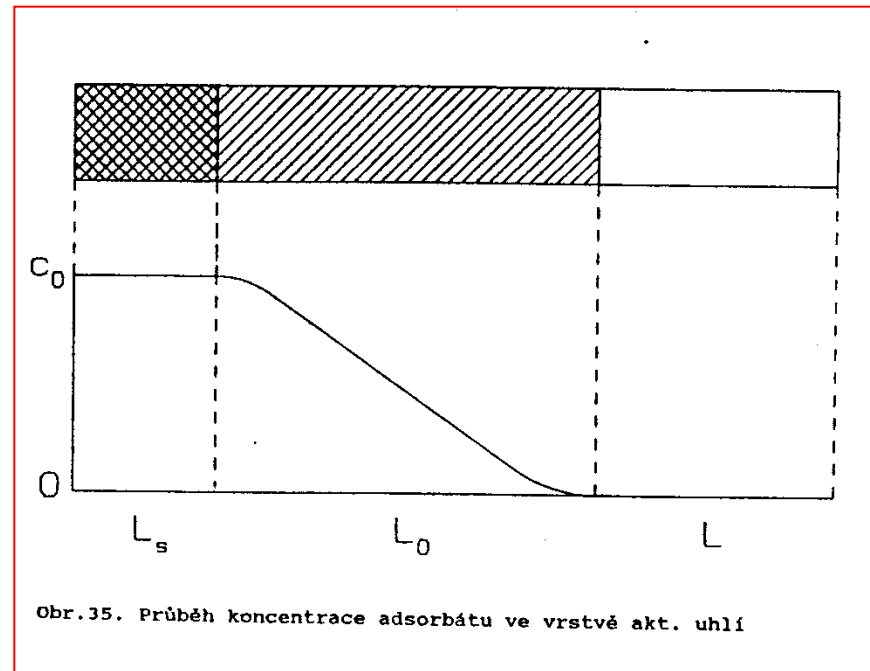
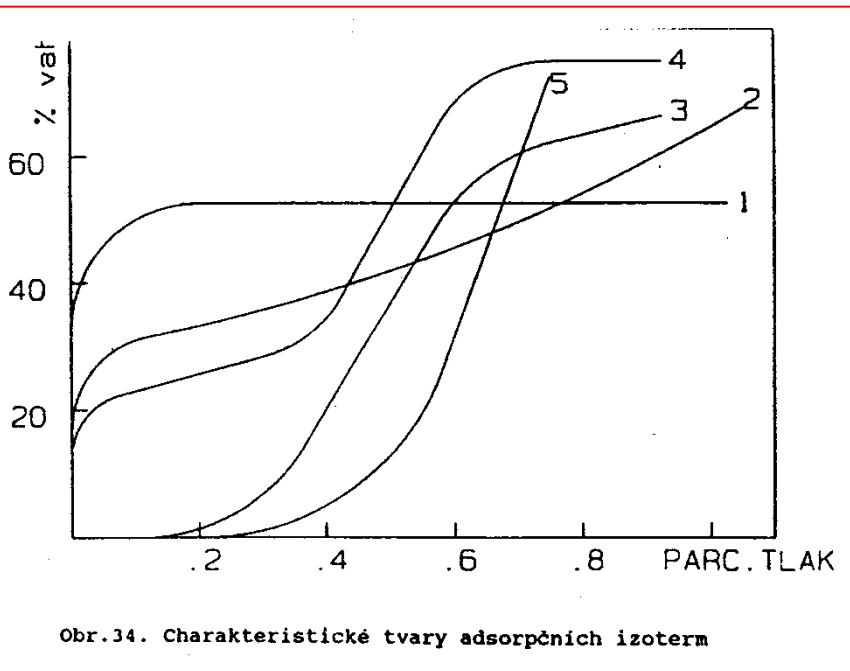
### Princip:

Adsorpce je proces, při kterém jsou molekuly polutantu separovány z plynné fáze zachycováním na povrchu fáze pevné. Adsorbující pevná látka je označována jako adsorbent, adsorbovaná látka jako adsorbát. Opačný proces, kdy hmota přechází z pevné látky do fáze plynné, je nazýván desorpce. Desorpce se řídí stejnými zákony jako adsorpce. Síly, které drží adsorbát na povrchu adsorbentu, mohou být jak fyzikální, tak chemické povahy. Vlastní proces je exotermní, tj. uvolňuje se při něm teplo.

# Adsorpce

**Adsorpce – vázání zachycené látky na povrchu (fyzikální, chemické síly)**

**Rovnováha = funkce (T, povrchové a chemické vlastnosti sorbentu)**



# Adsorpce

## Použitelnost:

Adsorpcí se odstraňují z plynů, par nebo kapalin některé ze složek, které jsou v nich obsaženy. Adsorpce je používána zejména tehdy, když

- zachycený polutant je vhodný pro opětovné použití;
- koncentrace polutantu je velmi malá;
- polutant nemůže být spalován (např. radioaktivní plyny);
- polutant je jedovatý;
- je to ekonomicky výhodné ve srovnání s ostatními metodami eliminace polutantů z emisních proudů.

## Omezení použití:

Předpokladem úspěšné aplikace adsorpce daného polutantu je jeho afinita k použitému adsorbentu. Při nízké afinitě je adsorpční kapacita malá, při příliš vysoké je obtížné adsorbát desorbovat. Druhý případ nevadí, pokud se jedná o jednorázovou neregenerativní adsorpci. Nevhodné je

použití adsorpce v takových případech, kdy zachycovaná látka na povrchu adsorbentu polymerizuje nebo se rozkládá za vzniku nedesorující látky. Tím dochází k blokování adsorpčního povrchu a snižování adsorpční kapacity. Adsorpce je exotermní, tzn. že se při ní uvolňuje teplo. Tato skutečnost a to, že aktivní uhlí může na svém povrchu katalyticky podporovat oxidaci některých láttek, může vést až k tomu, že dojde k zahoření a případně i vyhoření lože aktivního uhlí. K látkám na aktivním uhlí snadno oxidovatelným, které jsou nositeli tohoto ohrožení, patří zejména ketony a terpentýn (U.S. EPA, 1999). Pokud je

# Adsorpční zařízení

## Adsorpční zařízení

Adsorpční zařízení pro separaci složek z plynné fáze jsou členěna do dvou jednoznačně vymezených oblastí a přechodové fáze podle obsahu separovaných složek. Je-li jejich obsah větší než 10 % hm., jedná se o velkoobjemovou separaci, při obsahu pod 3 % hm. se jedná o čištění plynu. Dále zmíněné procesy velkoobjemové separace budou ze zřejmých důvodů zmíněny pouze stručně, zatímco druhé kategorie bude věnována pozornost podstatně větší.

Pro svoji jednoduchost a robustnost jsou v průmyslu velmi rozšířeny adsorbéry s pevnou vrstvou adsorbentu. Zachycené látky jsou zde zpravidla desorbovány zvýšením teploty nebo snížením tlaku.

Pro velké objemové průtoky čištěného plynu s relativně nízkým obsahem odstraňované složky jsou používány rotační adsorbéry s horizontálně nebo vertikálně situovaným rotorem a s duálním prouděním čištěného plynu. Rotační adsorbéry jsou používány téměř výhradně k za-koncentrovávání odstraňovaných složek před jejich kondenzací nebo spálením. Jsou proto staveny jako integrální součást zařízení konečného zpracování zachycovaných látek.

# Adsorpční zařízení

Adsorbéry s pohyblivou vrstvou adsorbentu jsou např. adsorbéry se sesuvnou vrstvou s křížovým nebo protiproudým tokem plynu, adsorbéry s fluidizující vrstvou nebo adsorbéry s vrstvou v únosu. Příkladem použití adsorbérů s vrstvou v únosu je odstraňování dioxinů a furanů ze spalin ve spalovnách odpadů. Ostatní typy adsorbérů jsou používány spíše pro velkoobjemové separace. Existují i výjimky pro čištění plynů, jako jsou např. technologie firmy Kureha (*Bathen, 2004*), které využívají pohyblivou vrstvu adsorbentu, ve které je však použito speciální kuličkové aktivní uhlí též firmy (*Bathen, 2004*). Toto aktivní uhlí je charakteristické velkou odolností vůči otěru.

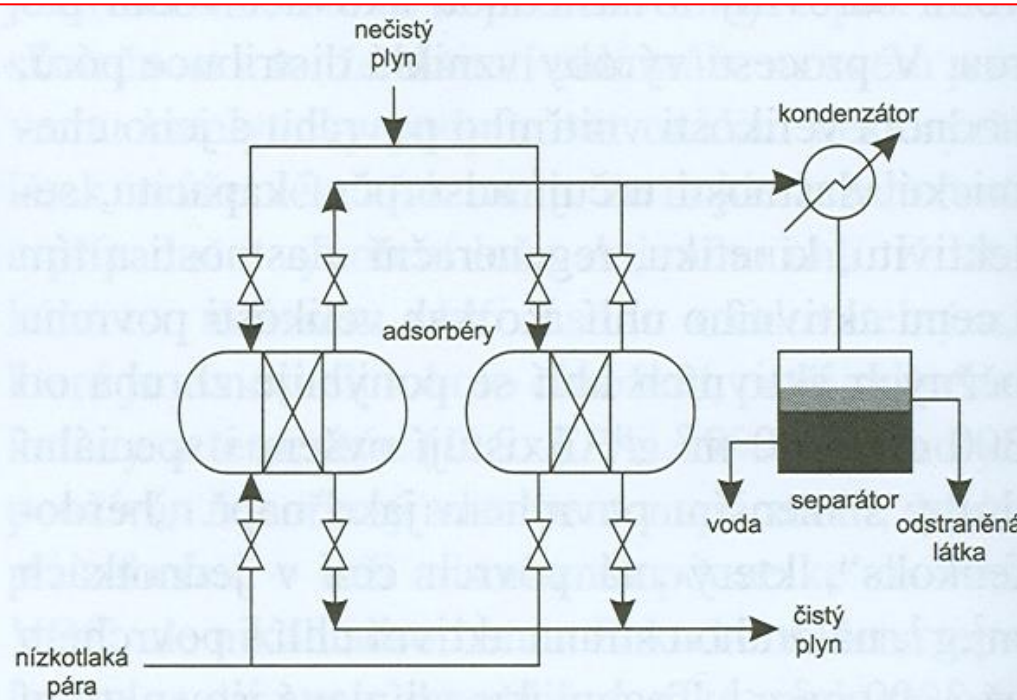
Důležitou součástí adsorpčních technologií je zpracování nasyceného adsorbentu. Obecně jsou rozlišovány tři: regenerace, reaktivace a likvidace. Pod likvidací se ještě skrývají depozice a pro aktivní uhlí navíc spálení. První dva pojmy jsou někdy zaměňovány, ale korektní výklad je

následující. Regenerace je odstranění zachyceného adsorbátu bez jeho destrukce, reaktivace je odstranění zachyceného adsorbátu z povrchu adsorbentu, při kterém za vysokých teplot dochází k destrukci adsorbátu a k reaktivaci aktivního uhlí. Která z uvedených tří možností se použije, je převážně otázka ekonomická, ale často i technicko-ekologická. Nelze např. reaktivovat nebo spalovat aktivní uhlí, na němž byly zachyceny radioaktivní látky. Jiným příkladem je obtížnost nebo praktická neproveditelnost regenerace aktivního uhlí, na němž jsou zachyceny polymerující látky, jako např. styren apod. Naproti tomu, je-li desorbát cennou látkou a nebrání tomu jiné okolnosti, provádí se regenerace adsorbentu.

# Adsorpční zařízení

K regeneraci nasyceného adsorbentu, tj. k desorpci adsorbátu, jsou využívány tři základní principy. Při prvním se využívá zvýšení teploty v systému. Je označován zkratkou TSA podle anglického „temperature swing adsorption“. Druhý využívá k témuž účelu poklesu systémového tlaku. Zkratka PSA odpovídá sousloví „pressure swing adsorption“. Třetí vychází z poklesu koncentrace a je označován CSA (composition swing adsorption). V adsorpčních jednotkách může být využita kombinace více principů. Pro systémy s plynnou fází jsou téměř výhradně systémy s TSA a PSA, přičemž pro účely čištění plynů jde zpravidla o TSA. Naproti tomu při adsorpci z vodních roztoků se používá CSA.

# Adsorpční zařízení



Obr. č. 4.2-8 Základní schéma adsorpčního zařízení s regenerací vodní párou (B. Koutský, J. Malecha, 2005)

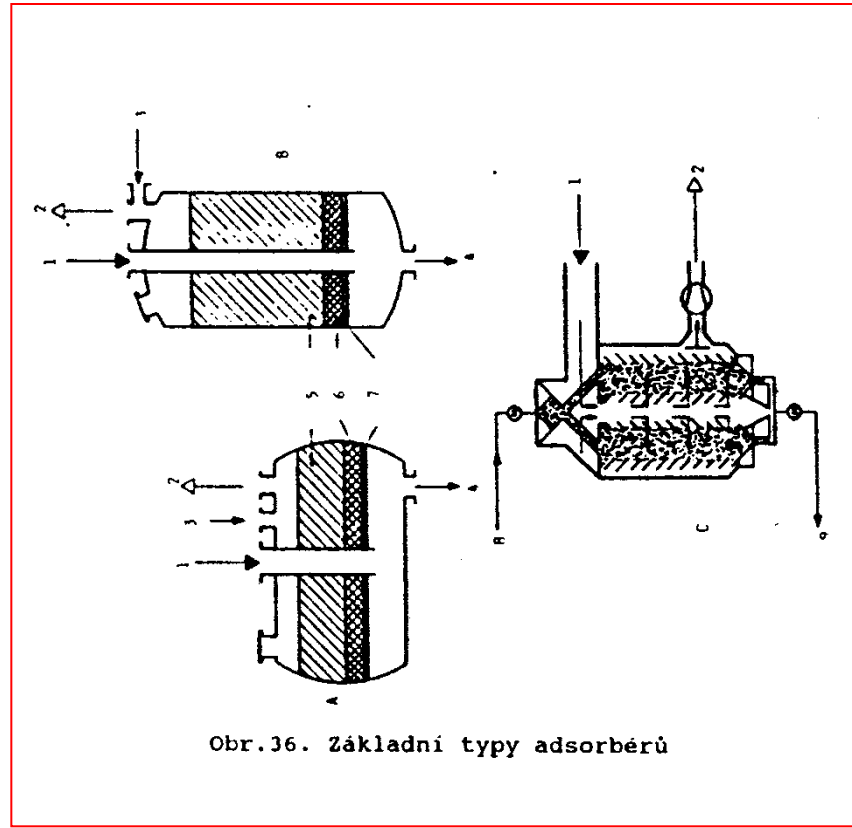
# Adsorpce

## Regenerace teplem (inertní plyn)

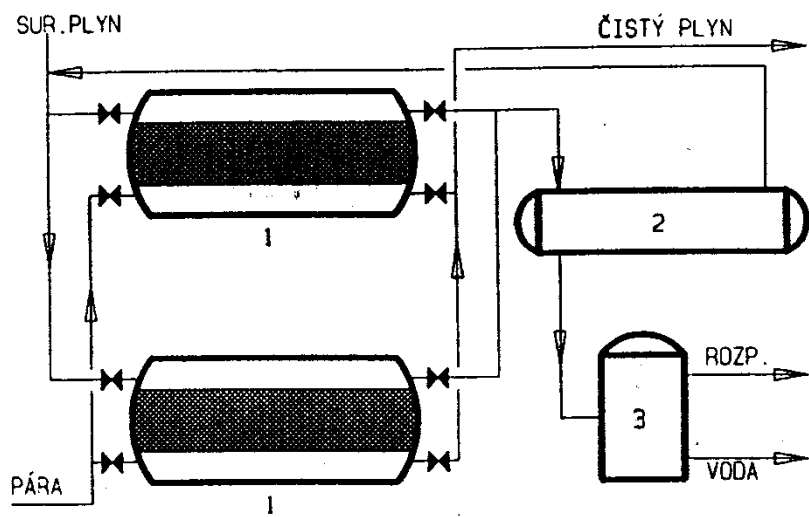
Technické provedení adsorpce – zrnité adsorbenty v pevném loži horizontálním či vertikálním

Sorbent – přímo uložen - vrstva granulátu (rozdělení plynu do vrstvy sorbentu)

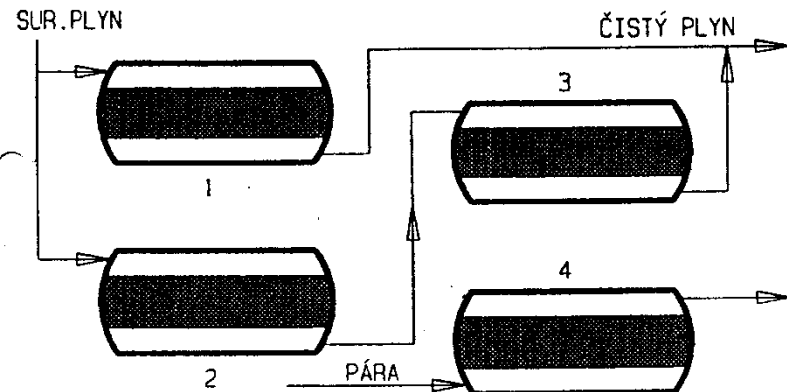
Pro plyny s tuhými příměsemi – kontinuální adsorpce v pohyblivém loži - cirkulace zbavuje plyn prachu a otěru



# Adsorpce



Obr.37. Jednoduché adsorpční zařízení pro čištění odplynů z lakoven  
1 - adsorbér 2 - kondenzátor 3 - dělící nádrž



Obr. 38. Schema zapojení čtyř adsorbérů.

- 1 - adsorbér čerstvě regenerovaný
- 2 - adsorbér částečně nasycený
- 3 - adsorbér chlazený po regeneraci
- 4 - adsorbér regenerovaný

# Adsorption

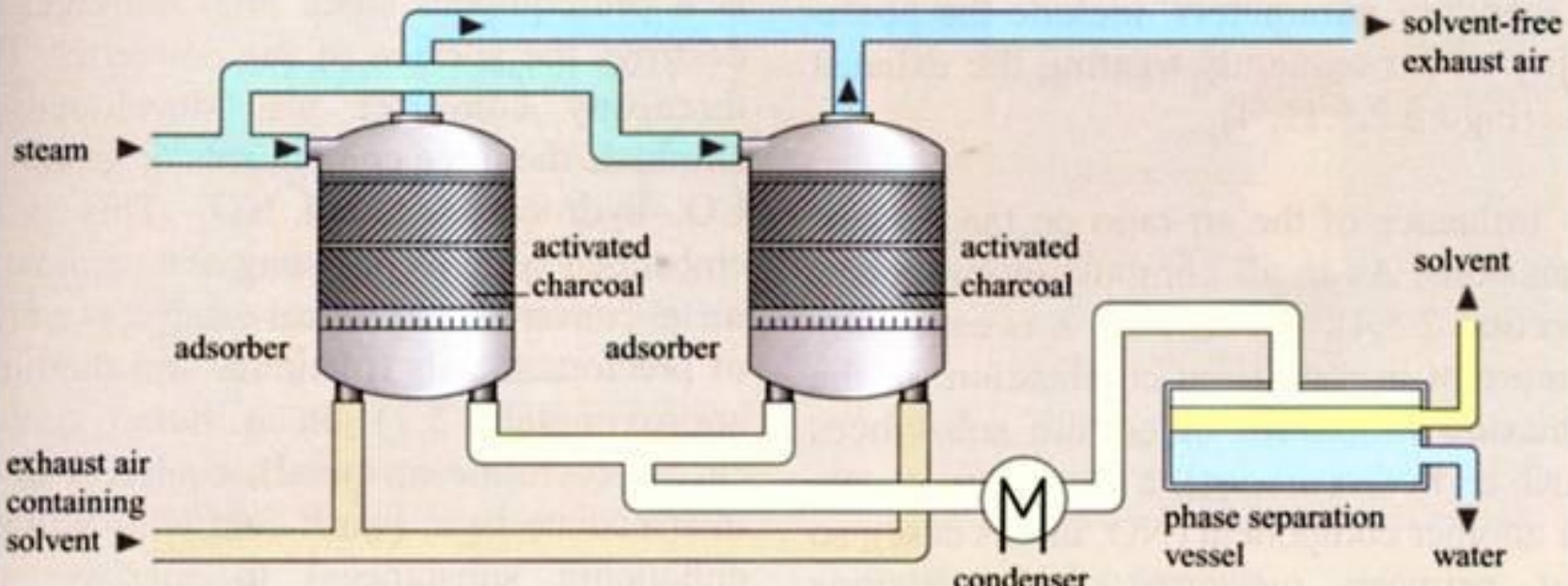


Figure 2.5.9 Adsorption plant for solvent recovery

# Membránová separace

## 4.2.3 Membránové separace

### Princip:

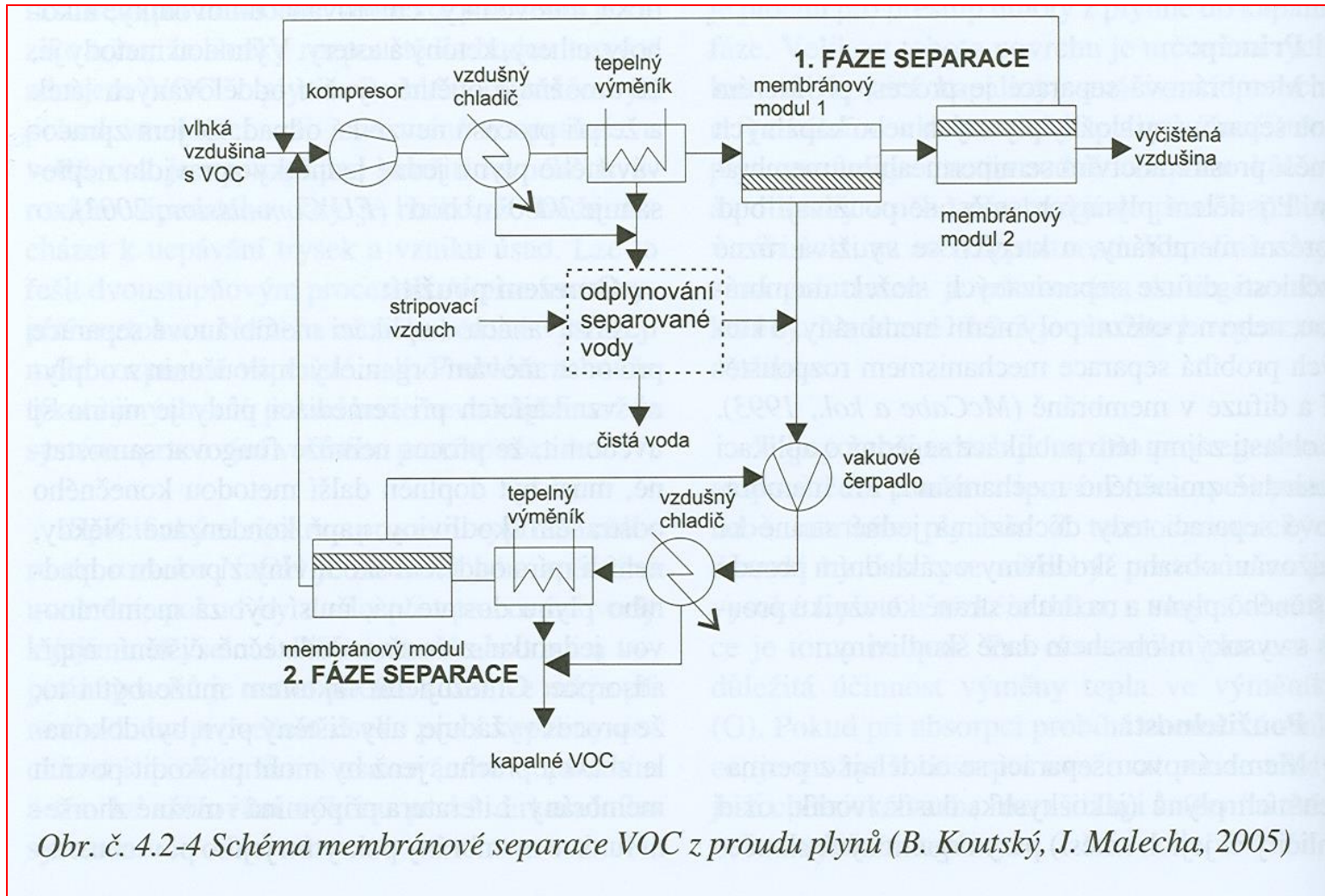
Membránová separace je proces, při kterém jsou separovány složky plynných nebo kapalných směsí prostřednictvím semipermeabilní membrány. Při dělení plynných směsí se používají buď porézní membrány, u kterých se využívá různé rychlosti difuze separovaných složek membránou, nebo neporézní polymerní membrány, u kterých probíhá separace mechanismem rozpouštění a difuze v membráně (*McCabe a kol.*, 1993). V oblasti zájmu této publikace se jedná o aplikaci posledně zmíněného mechanismu. Při membránové separaci tedy dochází na jedné straně ke snižování obsahu škodliviny v základním proudu čištěného plynu a na druhé straně ke vzniku proudu s vysokým obsahem dané škodliviny.

### Použitelnost:

Membránovou separací se oddělují z permanentních plynů (jako kyslík, dusík, vodík, oxid uhličitý či jejich směsi) páry organických slouče-

nin. Separovat lze hlavně alkany, olefiny, aromatické uhlovodíky, chlorované uhlovodíky, aldehydy, ethery, ketony a estery. Výhodou metody je, že umožňuje opětné využití oddělovaných látek a že při procesu nevzniká odpad. Objem zpracovávaného plynu jedné jednotky zpravidla nepřesahuje  $3000 \text{ m}^3 \cdot \text{hod}^{-1}$  (*EU Commission, 2003*).

# Membránová separace



Obr. č. 4.2-4 Schéma membránové separace VOC z proudu plynů (B. Koutský, J. Malecha, 2005)

# Využitelnost membránové separace

acetaldehyd	chlor	methyliso-butyketon
aceton	chloroform	methylen-chlorid
acetonitril	dichlor-ethen	perfluoro-uhlovodíky
benzen	ethylenoxid	propylenoxid
butan	HCFC-123	styren
tetrachlor-methan	hexan	toluen
CFC-11	methanol	trichlorethen
CFC-12	methyl-bromid	vinylchlorid
CFC-113	methyl-chlorid	xleny

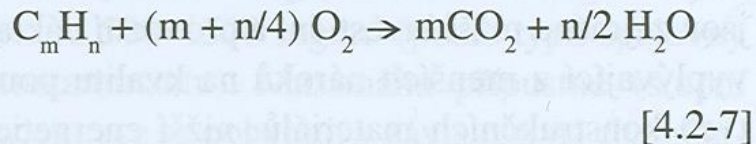
Tab. č. 4.2-3 Polutanty, které mohou být separovány z odplynů prostřednictvím membránové separace (Simmons a kol., 1994)

# Spalování

## 4.2.7 Spalování

### Princip technologie a definice:

Pro čištění půdního vzduchu a kontaminovaných vzdušin vznikajících při aplikaci řady sanačních postupů lze často s výhodou využít technologii spalování, jejíž princip spočívá v exo-terminí oxidaci přítomných organických škodlivin vzdušným kyslíkem. Nejběžnější je spalování těkavých nehalogenovaných uhlovodíků, které probíhá obecně podle následující rovnice:



V praxi se uplatňují dvě základní metody spalování kontaminovaných vzdušin: termická oxidace (konvenční spalování); katalytické spalování.

Termická oxidace je proces založený na přímém spalování kontaminovaných vzdušin v plamenu vzniklém hořením fosilních a ušlechtilých paliv (zemní plyn, nafta, topný olej apod.). Spalovací proces obvykle probíhá při teplotách 650 až 850 °C. V případě obsahu persistentních škodlivin v čištěných vzdušinách (např. dioxiny, polychlorované bifenylы apod.) může oxidační teplota dosahovat až 1200 °C.

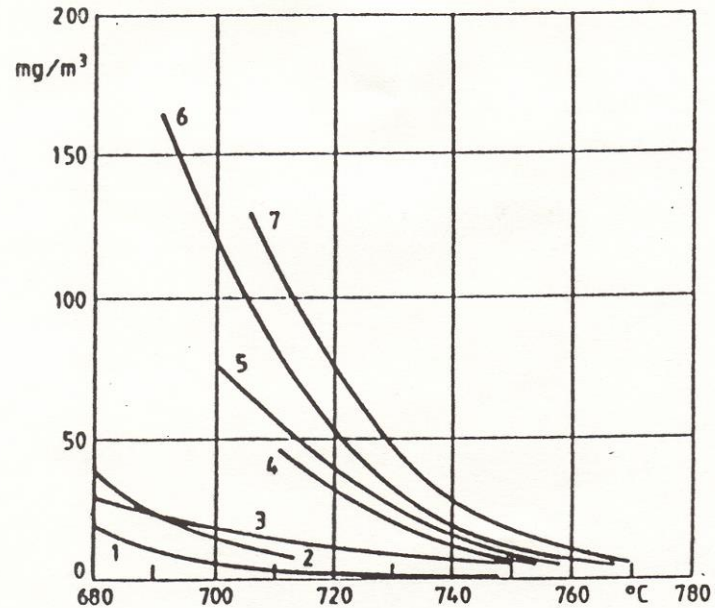
Katalytické spalování je proces, který využívá skutečnosti, že při kontaktu plynů s katalyzátorem dochází k oxidaci přítomných organických škodlivin rychleji a při nižší teplotě než v případě termické oxidace (obvykle 300 až 650 °C). Množství uvolněného tepla a produkty katalytického spalování jsou přitom stejné jako v případě konvenčního spalování (*Metry, 1982*).

# Spalování a katalytická oxidace

Pokud není zachycená látka  
využitelná – spalování (600 –  
1 000 °C )

Účinnost = funkce (T, doby  
zdržení, obsahu kyslíku)

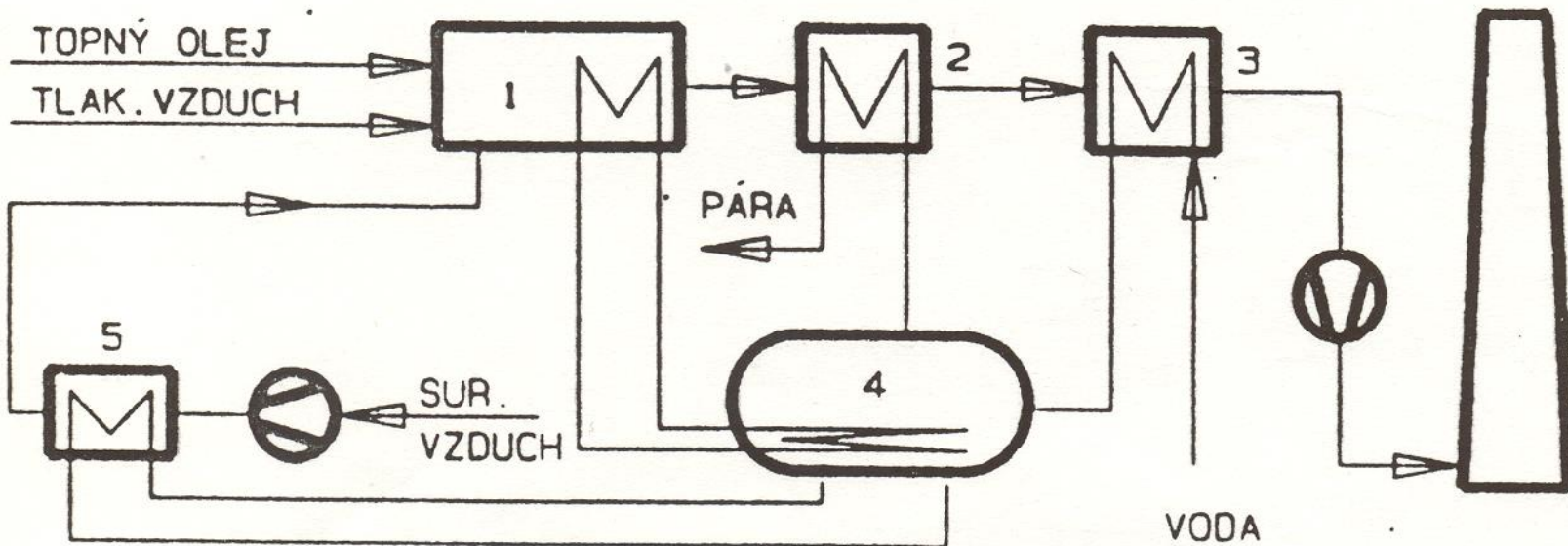
Prakticky – přidávání odpadního  
plynu do spalovacího  
vzduchu



Obr.40. Účinnost spálení některých látek v závislosti na teplotě  
(doba zdržení 0.7 s)

Koncentrace v surovém plynu (g/m <sup>3</sup> ):			
1 CO	1.25	5 etylacetát	17
2 dioktylfatalát	1.30	6 n-heptan	4.9
3 dimetylformamid	8	7 metylisobutylketon	5
4 methylacetát	9.2		

# Spalování a katalytická oxidace



Obr. 41. Termické spalování odplynů z výroby laminátů

1 - spal.komora

2 - přehřívač

3 - ohřívač napájecí vody

4 - kotel

5 - předehřívač plynu

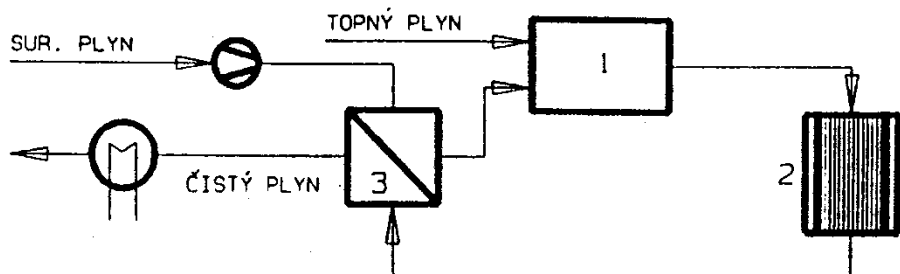
# Spalování a katalytická oxidace

Použití katalyzátoru – snížení reakční teploty až o polovinu za současného  
zvýšení reakční rychlosti – katalyzátory na bázi drahých kovů – účinnější  
vysoká cena, náchylnost k otravě

Katalyzátory na nosiči (kovy, keramické)

Kat – Pt, Rh, Pd – jejich směsi

T = 200 – 400 °C, jiné kovy – 500 – 900 °C

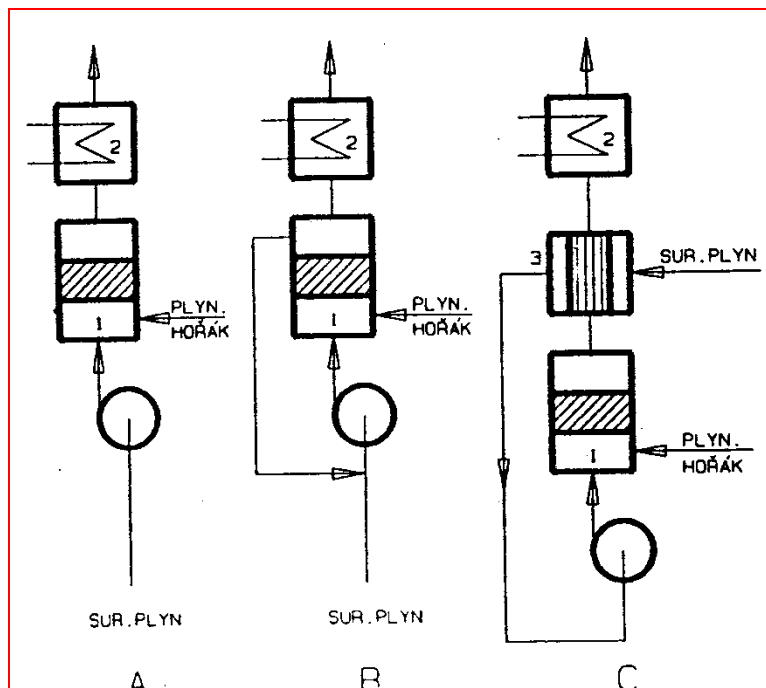


Obr. 43. Typické schema jednotky katalytického spalování

1 - spal.komora

2 - kat.reaktor

3 - výměník



Obr. 42. Využití tepla při katalytickém spalování

# Oxidace

**Oxidace je nejdůležitějším destrukčním procesem v oblasti čistění plynů.**

**Pokročilé technologie:**

- ↳ Technologie fotolytické oxidace
- ↳ Technologie fotokatalytické oxidace

# Vysokoenergetická destrukce

## 4.2.5 Vysokoenergetická destrukce

### Princip:

Vysokoenergetická destrukce (VED) je destrukční proces probíhající v netermální plazmě, která je někdy též nazývána nerovnovážnou nebo „studenou“ plazmou. Plazma může být vytvářena řadou různých způsobů (*Chang, 2001*). Pro účely této publikace je nejdůležitější aplikace plazmy vznikající výbojem v reaktoru s dielektrickou bariérou.

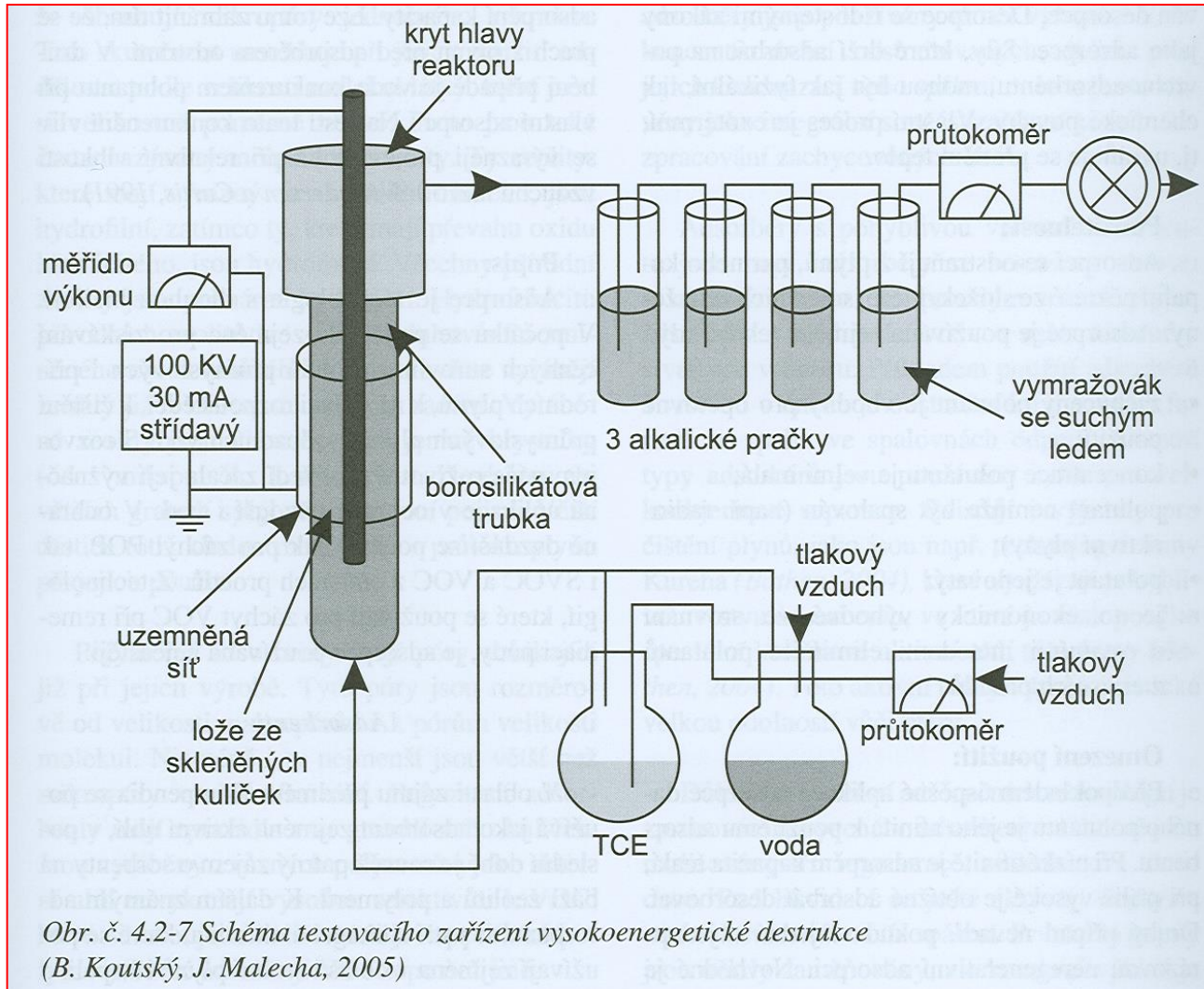
Plazma je vytvářena přívaděním střídavého elektrického proudu nebo pulzujícího stejnosměrného proudu na dvě elektrody, mezi které je vložena zmíněná dielektrická bariéra, která zabrání vzniku termální plazmy. Je-li mezi elektrody přiveden plyn obsahující kyslík nebo vodu, dochází ke vzniku ozonu a velmi reaktivních radikálů ( $O_3$ ,  $O^\cdot$ , OH a  $O_2H^\cdot$ ), které destruují přítomné organické sloučeniny. Mohou vznikat různé meziprodukty, avšak proces je veden tak, aby konečným produktem byl oxid uhličitý nebo voda. Protože některé produkty destrukce není možné vypouštět do atmosféry (např. HCl), je za plazmovou jednotku zpravidla zařazeno vypírací zařízení.

### Použitelnost:

Škodliviny, které mohou být zneškodňovány prostřednictvím technologie VED, jsou reprezentovány zejména VOC a SVOC. Je možné ji aplikovat i na anorganické polutanty, jako jsou oxidy dusíku nebo síry.

Technologie je užitečná zejména pro destrukci organických látek a chlorovaných uhlovodíků, např. TCE, PCE, tetrachlormethanu, TCA, motorové nafty, benzinu (*FRTR, 2004*), 1,1,1-trichlorethanu (*Agnihotri a kol., 2004*), benzenu (*Cal a Schluem, 2001*) apod. Účinnost odstranění může být velmi vysoká, tak např. pro TCE se uvádí destrukční účinnost až 99,9 % a pro PCE mezi 90 až 95 % (*CPEO, 2002*).

# Vysokoenergetická destrukce



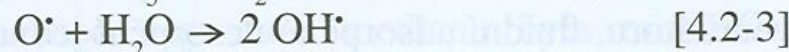
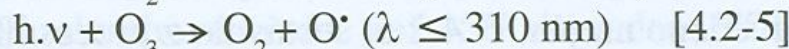
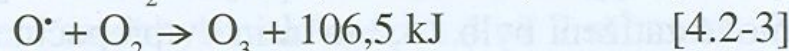
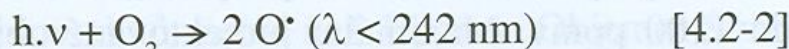
Obr. č. 4.2-7 Schéma testovacího zařízení vysokoenergetické destrukce  
(B. Koutský, J. Malecha, 2005)

# Fotolytická oxidace

## Fotolytická oxidace

### Princip:

Fotolytická oxidace organických látek je iniciována v reaktoru ozářením energeticky bohatým UV-zářením. Vzájemným působením UV-záření a odpunu vznikají reaktivní složky. Na jedné straně vznikají z molekul kyslíku a vody látky jako ozon a hydroxyradikály dle následujících rovnic.



Vzniklé oxidační prostředky ozon, peroxid vodíku,  $O^\cdot$  a  $OH^\cdot$  radikály mají vysoký oxidační potenciál a dokážou přítomné škodliviny rychle oxidovat. Děj probíhá radikálovým mechanismem. Na druhé straně probíhá absorpcie UV-záření molekulami škodlivin a jejich rozkladními produkty. Většina organických látek absorbuje UV-záření od 260 nm ve stoupající míře ke kratším vlnovým délkám. Absorpcí záření se molekuly organických látek dostanou na vyšší energetickou hladinu. Při dostatečně vysokém přívodu energie dochází k jejich rozpadu a vzniku reaktivních radikálů. V konečné fázi vedou homogenně probíhající reakce ke tvorbě oxidu uhličitého, vody a příp. dalších složek, jako např. halogenvodíky.

### Použitelnost:

FLO, která je někdy též nazývána fotolytická destrukce, je určena zejména pro ropné a pro halogenované uhlovodíky (NFESC, 1998). Existuje např. technologie pro zneškodňování 1,2-DCE, TCE, PCE a toluenu (U.S. EPA, 1998a).

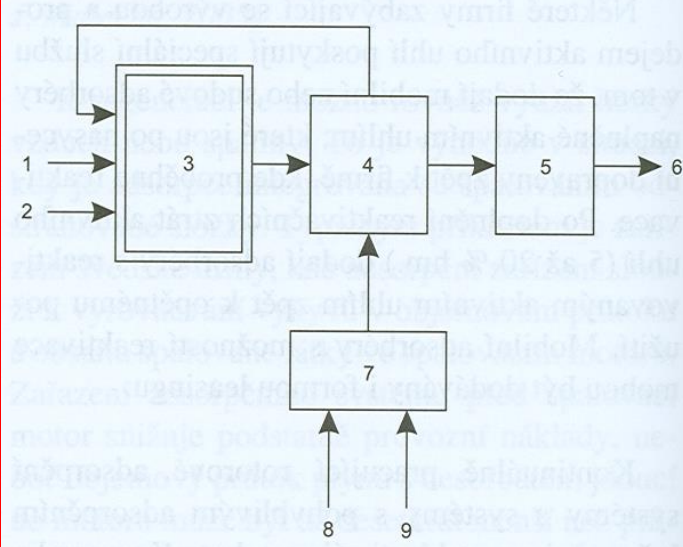
# Termická oxidace/spalování

## Popis:

### Termická oxidace

Typické zařízení určené k termické oxidaci kontaminovaných vzdušin je znázorněno na obr. č. 4.2-9. Sestává z ventilátoru zajišťujícího proudění vzdušin technologickým systémem, spalovací komory se žáruvzdornou vyzdívkou a jedním nebo více hořáky, ventilátoru pro dodávání vzduchu do hořáku, výměníku tepla a komínu pro vypouštění spalin. Vzhledem k tomu, že provoz systému vyžaduje spalování přídavného paliva, je třeba vybudovat také potřebné přípojky a zázemí (zásobníky kapalných paliv, redukční stanice plynu apod.).

Kontaminované vzdušiny vstupující do systému jsou nejdříve naředěny přídavným vzduchem tak, aby koncentrace organických škodlivin byla pod úrovni odpovídající 25 % jejich dolní meze výbušnosti, poté předehráty ve výměníku tepla a vháněny do spalovací komory, kde dochází k termické destrukci kontaminantů. V případě spalování halogenovaných sloučenin musí být do systému zařazen také stupeň čištění spalin (mokrá/alkalická vypírka, sorpce apod.). Při čištění kontaminovaných vzdušin metodou termické oxidace je běžně dosahováno účinnosti vyšší než 99,9 % (Metry, 1982).



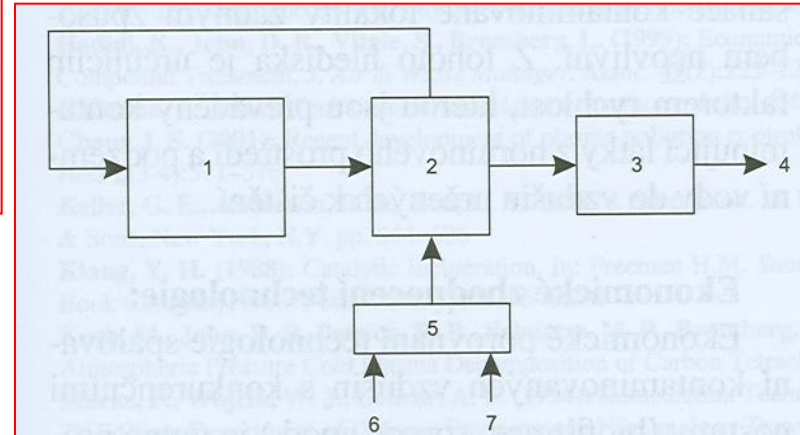
Obr. č. 4.2-9 Technologické schéma termické oxidace (R. Raschman, 2005)

1 – vzduch, 2 – palivo, 3 – spalovací komora s hořákem, 4 – tepelný výměník, 5 – čištění emisí, 6 – výstup do atmosféry, 7 – ventilátor, 8 – kontaminovaná vzdušina, 9 – přídavný vzduch

# Termická oxidace/katalytické spalování

## Katalytické spalování

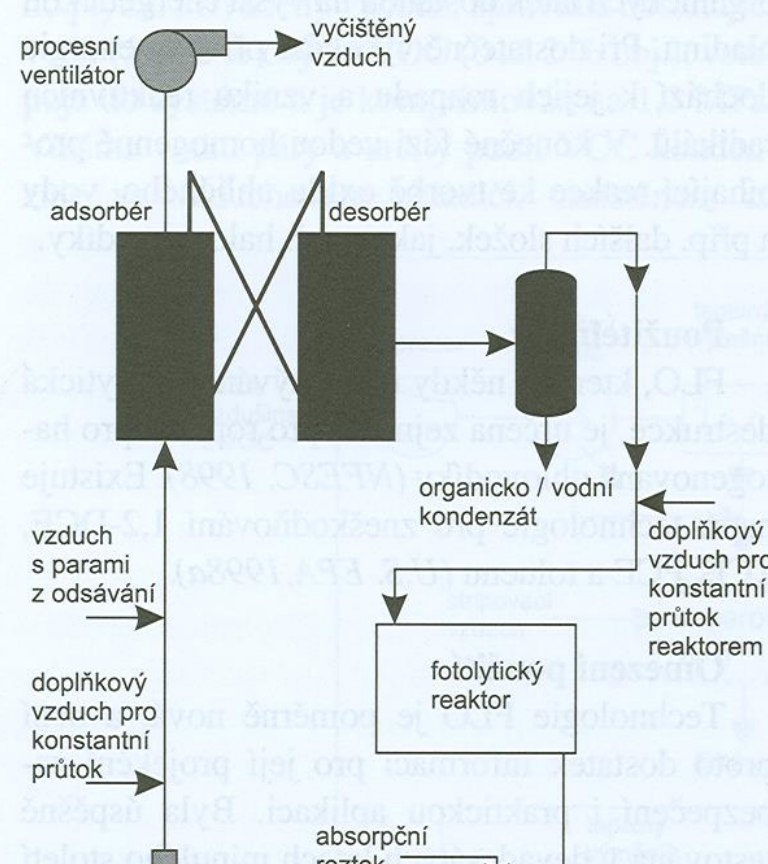
V případě katalytického spalování je rychlosť oxidační reakce zvýšena adsorpcí molekul plynů vstupujících do reakce na aktivním povrchu katalyzátoru. Většina katalytických oxidačních reakcí je velmi rychlá a obvykle probíhá na vnějším povrchu katalyzátoru. Velmi velký vnitřní povrch katalyzátoru proto významně nezlepšuje parametry spalovacího procesu.



Obr. č. 4.2-10 Technologické schéma katalytického spalování (R. Raschman, 2005)

1 – katalytická spalovací jednotka, 2 – tepelný výměník/topný systém, 3 – kontrola emisí, 4 – výstup do atmosféry, 5 – ventilátor, 6 – kontaminovaná vzdušina, 7 – přídavný vzduch

# Fotolytická oxidace



Obr. č. 4.2-5 Schéma fotolytické oxidace par VOC odsávaných z půdy (B. Koutský, J. Malecha, 2005)

# Fotokatalytická oxidace

## Princip:

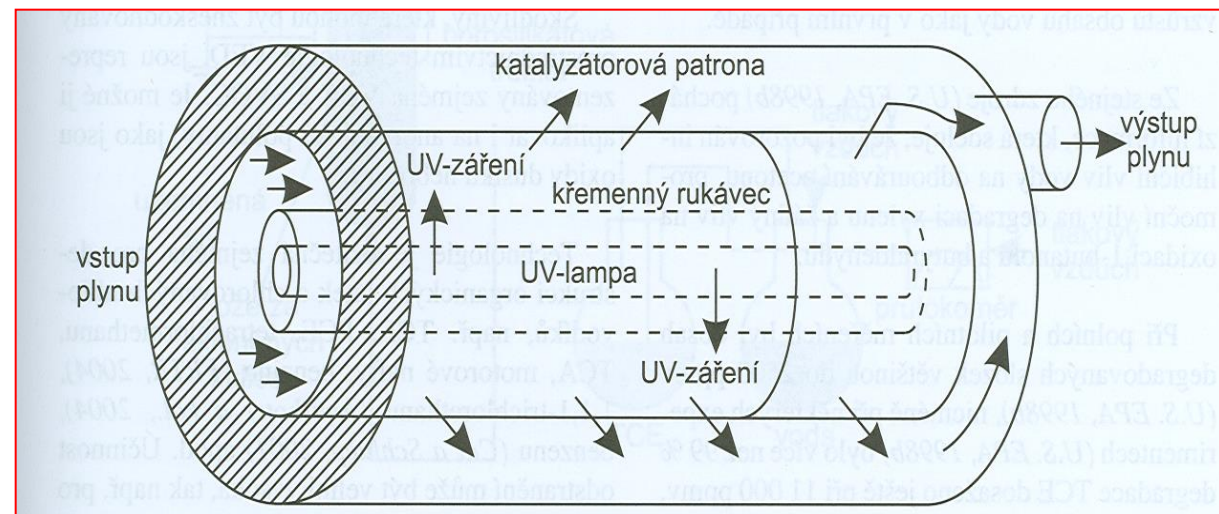
FKO je proces, který využívá UV-záření a polovodičového katalyzátoru k tvorbě vysoce reaktivních radikálů, jako jsou hydroxylový radikál ( $\text{OH}^{\cdot}$ ), peroxyl ( $\text{HO}_2^{\cdot}$ ) nebo superoxid ( $\text{O}_2^{\cdot^-}$ ). Z nich je nejreaktivnější hydroxylový radikál  $\text{OH}^{\cdot}$ , který reaguje prakticky s jakoukoli organickou látkou, a to o několik rátů rychleji než běžné oxidanty typu ozonu nebo peroxidu vodíku. Proces probíhá podobným mechanismem, jak bylo popsáno výše u FLO, je však díky působení katalyzátorů podstatně intenzivnější.

## Použitelnost:

FKO je použitelná nejen pro ropné a pro halogenované uhlovodíky, ale i pro další látky, jako jsou alkoholy, ketony, pachové látky (Völker, 2003), nitroglycerin (U.S. ACE, 1999) apod.

## Omezení použití:

I když je FKO používána podstatně více než FLO, není stále dostatek spolehlivých podkladů pro projektování. Při zpracovávání halogenovaných uhlovodíků je nutno zajistit vypírku halogenvodíků. V případě přidávání chemických oxidantů pro zvýšení výkonu mohou tyto v případě nadměrného množství působit jako likvidátory radikálů.



Obr. č. 4.2-6 Schéma reaktoru FOK (B. Koutský, J. Malecha, 2005)

# Základní charakteristiky tradičních metod čištění odpadních plynů

Technologie	Vstupní koncentrace [ppmv]	Účinnost [%]	Výhody	Nevýhody
absorpce	250	90	zvláště vhodná pro anorganické kyslé plyny	omezená použitelnost
	1000	95		
	50 000	98		
adsorpce	200	50	nízké kapitálové nároky; vhodná pro rekuperaci rozpouštědel	omezení z důvodů vlhkosti plynu a teploty
	1000	90–95		
	5000	98		
termická oxidace	20	95	vysoká účinnost odstranění; rozsáhlá aplikovatelnost; zpětné získávání energie možné	nelze rekuperovat organické látky; nákladově náročná
	100	99		
katalytická oxidace	50	90	vysoká účinnost odstranění ; může být méně nákladná než termická oxidace	nelze rekuperovat organické látky; nebezpečí otravy katalyzátorů
	100	>95		
spalování na fléře		>98	vysoká účinnost odstranění	nelze rekuperovat organické látky; pro velké emise

Tab. č. 4.2-1 Základní charakteristika tradičních metod čištění odpadních plynů  
(Schnelle a Brown, 2002)

# Biologické postupy

- ↳ Likvidace škodlivin ve vodné fázi působením mikroorganismů
- ↳ Škodliviny musí být převoditelné do roztoku
- ↳ Biologicky nezávadné produkty, nízké investiční a provozní náklady
- ↳ Biologické filtry
- ↳ Biologické pračky

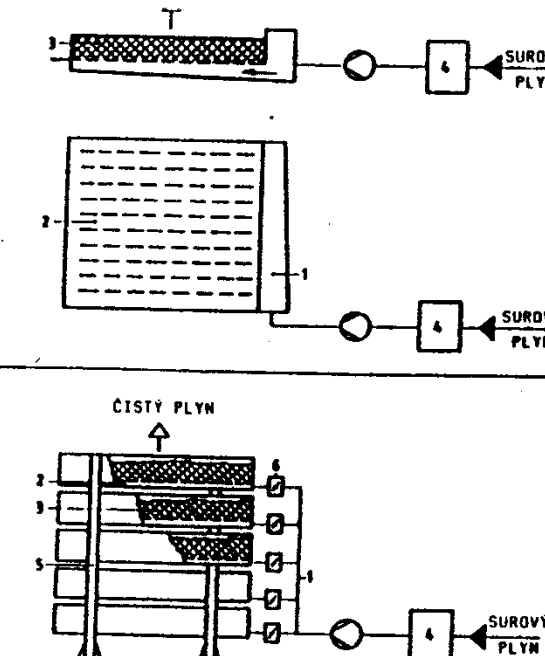
# Biologické postupy

Biologické filtry - nosičem mikroorganismů

Pevná fáze – kompost, rašelina, stromová kůra

Adsorpce spojená s biologickým odbouráním zachycených škodlivin mikroorganismy

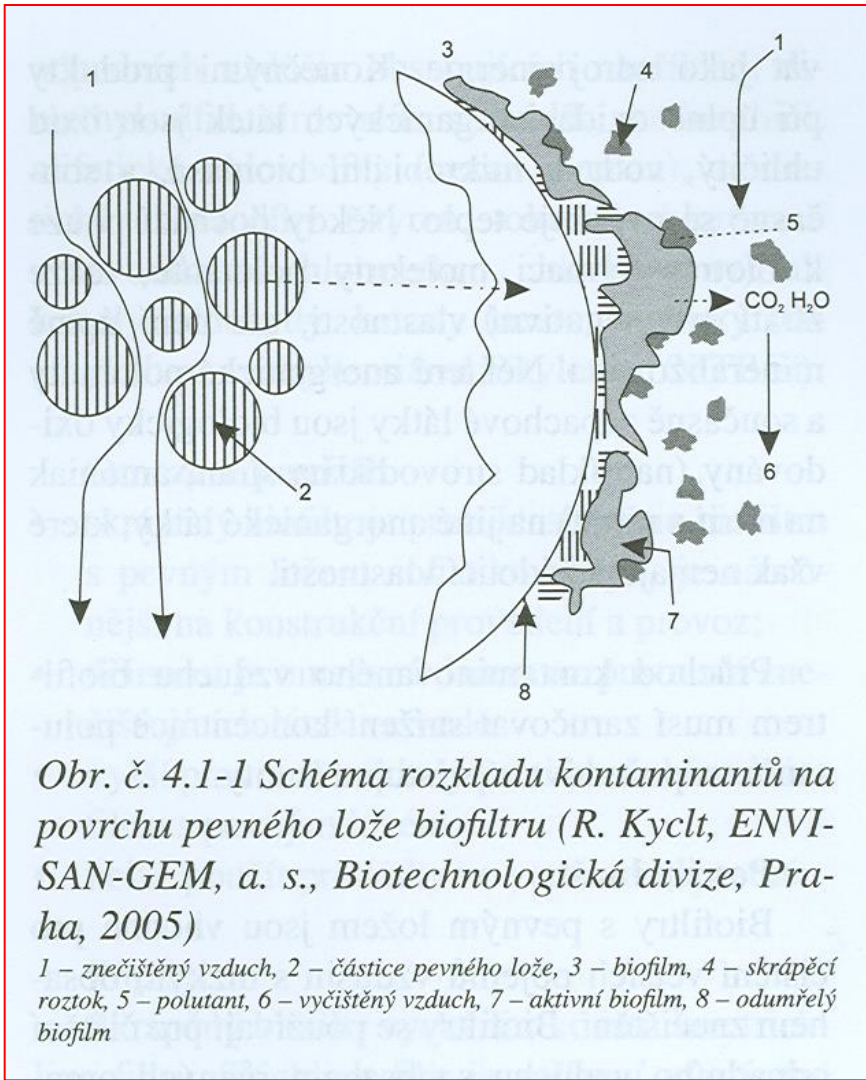
Pro likvidaci organických zápachů účinnost 90 - 90° C



Obr.44. Plošné a etážové provedení biofiltru

- 1 - rozdělovací kanál
- 2 - rošt
- 3 - filtr. vrstva
- 4 - vlhčení plynů
- 5 - nosná konstrukce
- 6 - regulační klapky

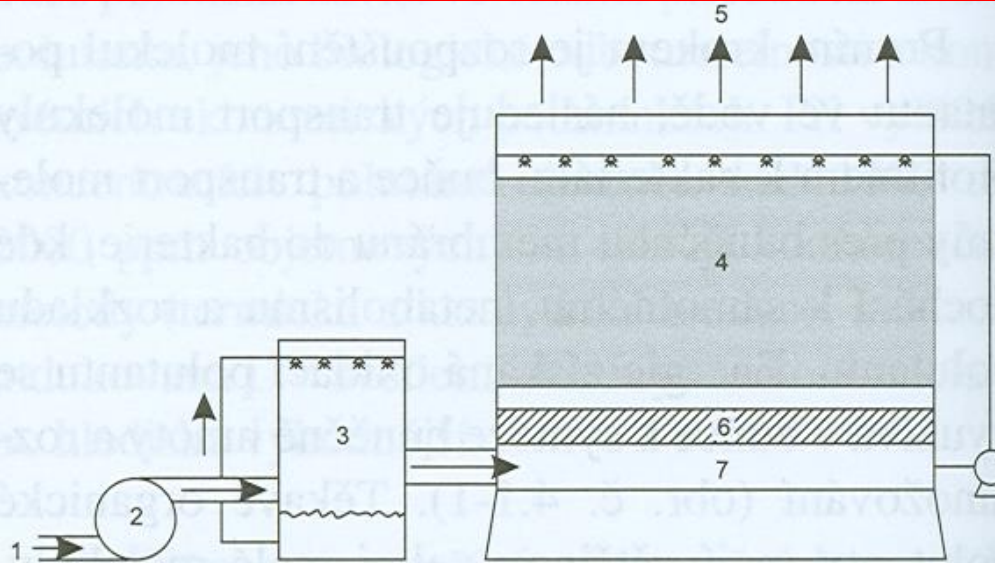
# Biologické postupy



Obr. č. 4.1-1 Schéma rozkladu kontaminantů na povrchu pevného lože biofiltru (R. Kyclt, ENVISAN-GEM, a. s., Biotechnologická divize, Praha, 2005)

1 – znečištěný vzduch, 2 – částice pevného lože, 3 – biofilm, 4 – skrápěcí roztok, 5 – polutant, 6 – vyčištěný vzduch, 7 – aktivní biofilm, 8 – odumřelý biofilm

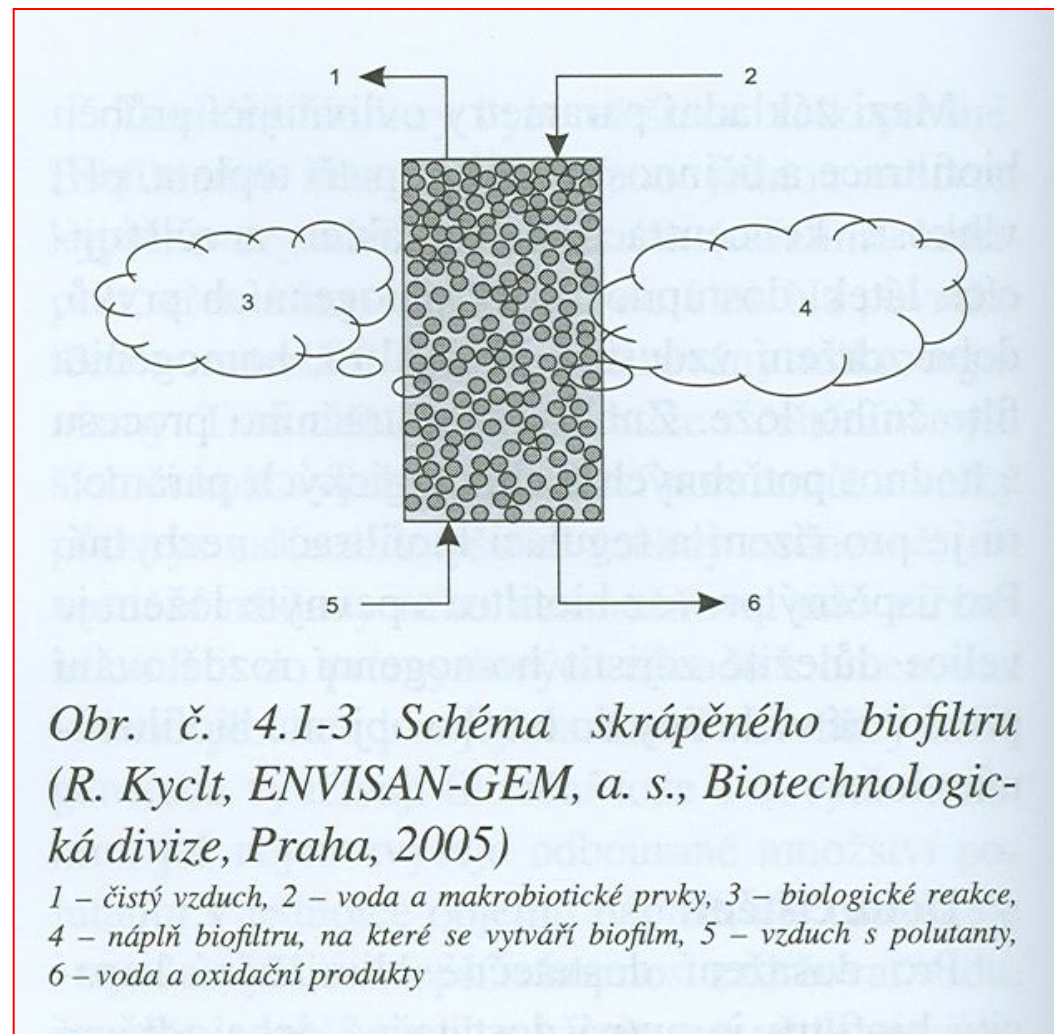
# Biologické postupy



Obr. č. 4.1-2 Schéma biofiltru s pevným ložem  
(R. Kyclt, ENVISAN-GEM, a. s., Biotechnologic-  
ká divize, Praha, 2005)

1 – znečištěný plyn, 2 – dmychadla, 3 – zvlhčovač – 4 – lože biofiltru, 5 – vy-  
čištěný plyn, 6 – rozdělovací systém vzduchu, 7 – odvod kondenzátu

# Biologické postupy



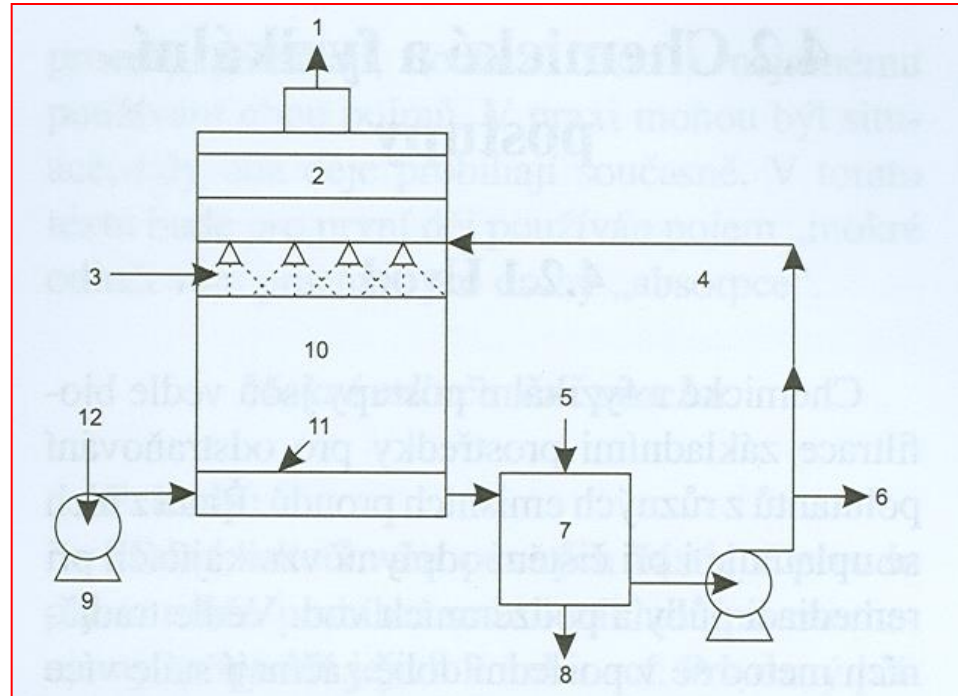
Obr. č. 4.1-3 Schéma skrápěného biofiltru  
(R. Kyclt, ENVISAN-GEM, a. s., Biotechnologická divize, Praha, 2005)

1 – čistý vzduch, 2 – voda a makrobiotické prvky, 3 – biologické reakce,  
4 – náplň biofiltru, na které se vytváří biofilm, 5 – vzduch s polutanty,  
6 – voda a oxidační produkty

# Biologické postupy

**Biologické pračky – škodliviny jsou převáděny do roztoku ve sprchových nebo výplňových pračkách a současně jsou odbourávány mikroorganismy přežívajícími v roztoku**

**Absorbéry – výplňové, bublinové, patrové, sprchové**



Obr. č. 4.1-4 Základní schéma bioskrubru (Anonymous, 2005)

1 – vyčištěný vzduch, 2 – oddělovač aerosolu, 3 – postřikové hlavice, 4 – recirkulace kapalné fáze, 5 – živiny, řízení pH, 6 – na čištění odpadních vod, 7 – jímka, 8 – kal, 9 – dmychadlo, 10 – výplň skrubru, 11 – dno nesoucí výplň skrubru, 12 – znečištěný vzduch

# Biologické postupy

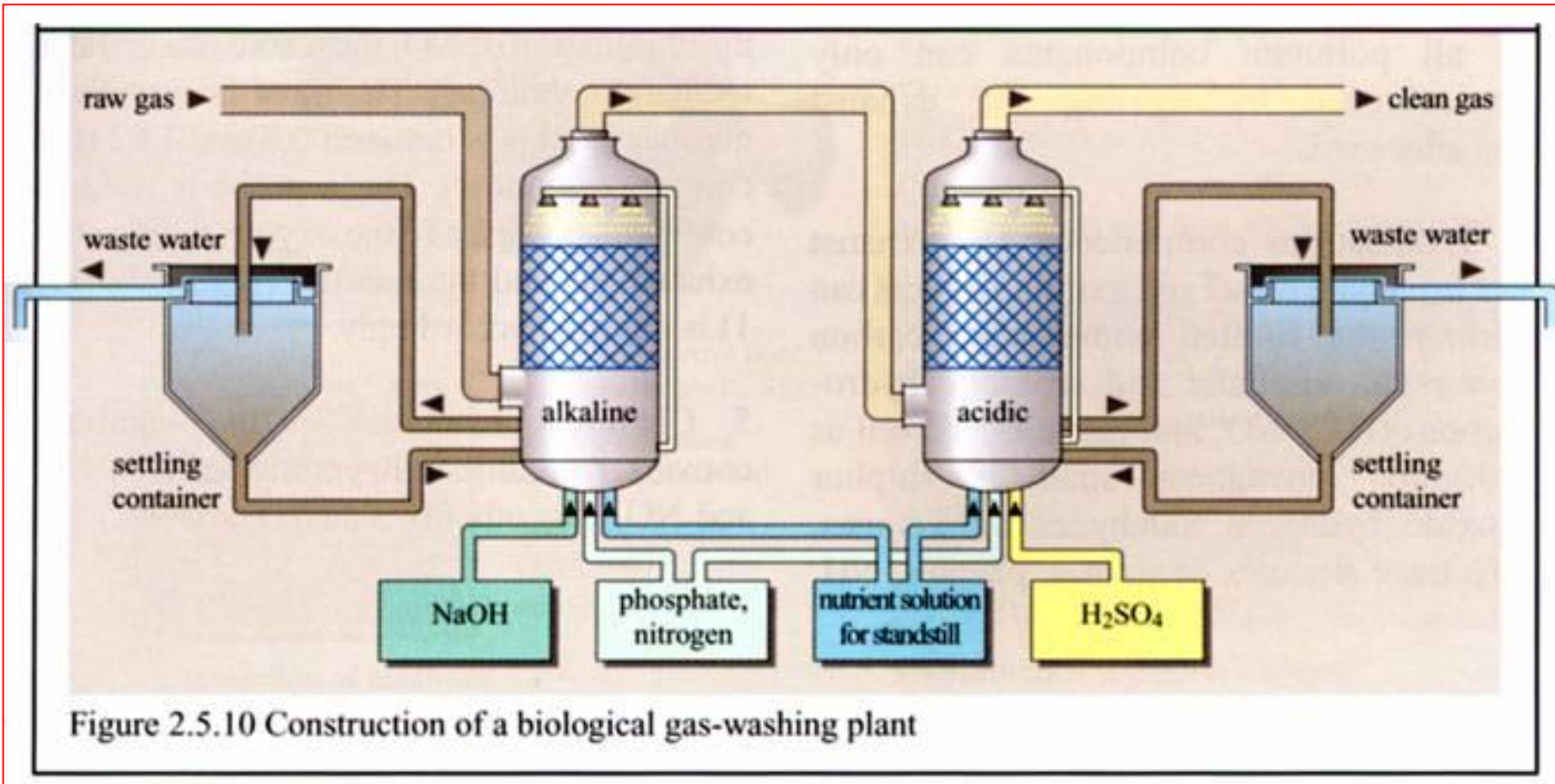


Figure 2.5.10 Construction of a biological gas-washing plant

Č	Název přednášky	Obsah přednášky
III.	Technologie sloužící pro zajištění čistoty ovzduší	III.2.6 Snižování emisí z dopravy

# Exhalace v dopravě

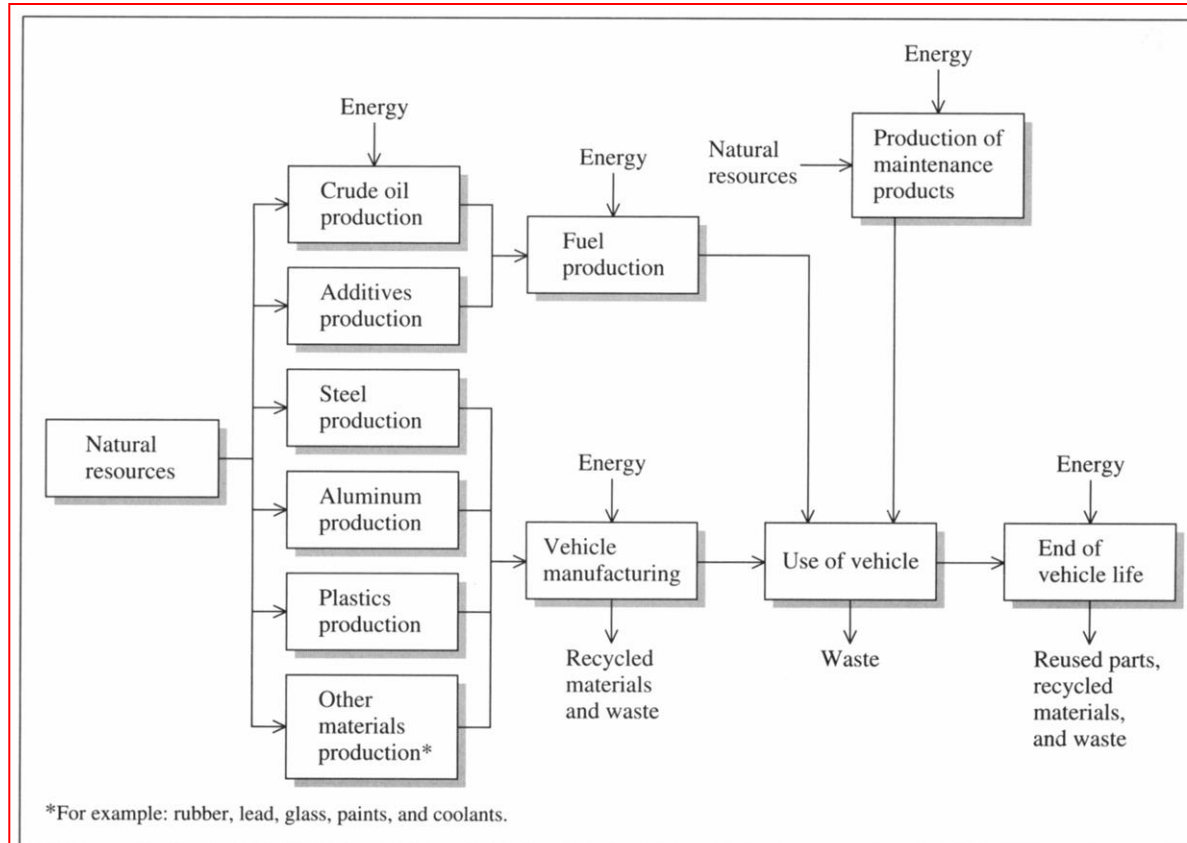


Figure 10-12

Important input and output components in life cycle assessments of motor vehicles. (Source: M. Freemantle. Total life-cycle analysis harnessed to generate "greener" automobiles. *Chemical & Engineering News* November 27, 1995: 25.)

# Exhalace v dopravě

Automobilová doprava – dominantní 70 %

Největší znečištěvatel ~ 3 mld automobilů

1 vozidlo ~ 12 t škodlivin ročně

~ 700 kg CO

100 kg HCs

35 kg NOx

PAHs, Pb, RCHO

# Exhalace v dopravě

Zážehové motory – směs paliva a vzduchu je nejprve ve válci stlačena a pak zapálena elektrickou jiskrou:

- ↳ karburační – směs se připravuje při plnění válce
- ↳ vstřikovací – palivo se vstřikuje do komprimovaného vzduchu ve válci na začátku komprese

14,5 – 15 kg na 1 kg paliva

Nedokonalé spalování  $\Rightarrow$  RH, CO

Oxidace  $\Rightarrow$  RCHO, NO<sub>x</sub>

Vysoká T, p  $\Rightarrow$  PAHs

# Exhalace v dopravě

**Vznětové motory - nemají karburátor ani elektrickou iniciaci – zapálení paliva – vstřikování do stlačeného vzduchu, jehož teplota kompresí dosáhla meze zápalnosti.**

**Nutný vysoký přebytek vzduchu:**

- ~ 20% - tvorba sazí
- ~ 60% - dokonalejší spalování – více NO<sub>x</sub>

# Exhalace v dopravě

Vliv konstrukce motoru na obsah škodlivin ve výfukových plynech

## Zážehové motory:

- ﴿ úprava motoru
- ﴿ snížení obsahu škodlivin ve výfukových plynech - lze kombinovat
- ﴿ opatření týkající se změn ve složení paliva

## Úprava motoru:

1. úpravy vedoucí ke zlepšení přípravy palivové směsi
2. zdokonalení zapalování
3. recirkulace výfukových plynů
4. snížení tolerancí ve spalovací části motoru
5. přechod na chudé směsi

# Exhalace v dopravě

1. Úpravy karburátoru nebo zavedení vstřikování paliva  $\Rightarrow$  zlepšení přípravy palivové směsi  $\Rightarrow$  snížení emise RH, CO o 20-50%
2. Optimalizace zapalování  $\Rightarrow$  snížení emisí NOx o 20% (při zvýšení spotřeby max. o 3%)
3. Zpětné zavedení spalin do sání  $\Rightarrow$  snížení CO2 ve směsi  $\Rightarrow$  snížení T  $\Rightarrow$  snížení tvorby NOx  $\Rightarrow$  recyklace 10 – 15%  $\Rightarrow$  NOx o 30 – 50%  $\Rightarrow$  recyklace > 15%  $\Rightarrow$  zvýšení spotřeby emise RH a zhoršení jízdních vlastností

# Exhalace v dopravě

4. Snížení tolerancí ve spalovací části motoru  $\Rightarrow$  snížení emise RH, CO
5. Přechod na chudé směsi  $\Rightarrow$  přebytek vzduchu  $\Rightarrow$  poměr skutečného vzduchu ke stechiometrii = 1,4 – 1,6  $\Rightarrow$  podstatné snížení NOx  $\Rightarrow$  zvýšení emise RH  $\Rightarrow$  zhoršení jízdních vlastností

# Exhalace v dopravě

## Vznětové motory

Emise škodlivin = funkce (konstrukce spalovací komory)

- ↳ osobní - motory s tlakovou předkomůrkou
- ↳ nákladní – přímý vstřik paliva do válce  $\Rightarrow$  nižší spotřeba, vyšší emise, hlučnost

Turbomotory – přeplňovaný vznětový motor

Spalovací vzduch je vháněn pod tlakem pomocí turbodmýchadla hnáného energií výfukových plynů

Příznivější spotřeba snížení emisí

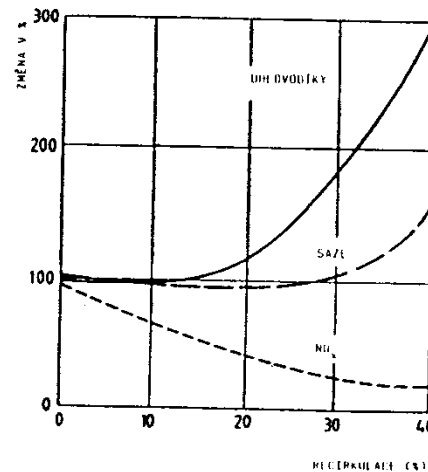
# Exhalace v dopravě

Další snížení  $\Rightarrow$  změny konstrukce motoru

Motory s předkomůrkou  $\Rightarrow$  snížení  $\text{NO}_x$   $\Rightarrow$  recirkulace části spalin

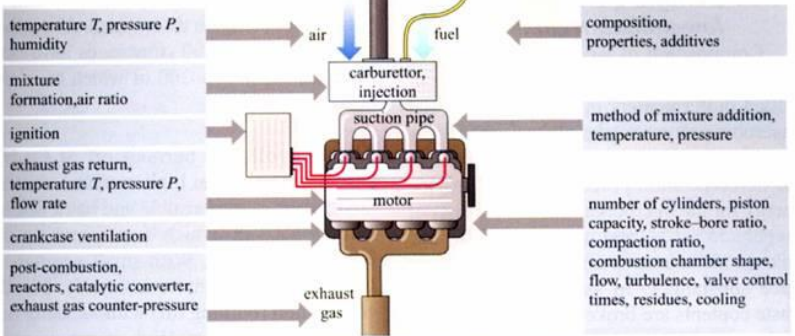
Omezení  $\Rightarrow$  nárast emisí HCs, sazí

Katalytická oxidace  $\text{NO}_x$  u vznětových motorů – nelze - vysoký obsah  $\text{O}_2$  ve výfukových plynech - vysoký obsah tuhých úletů

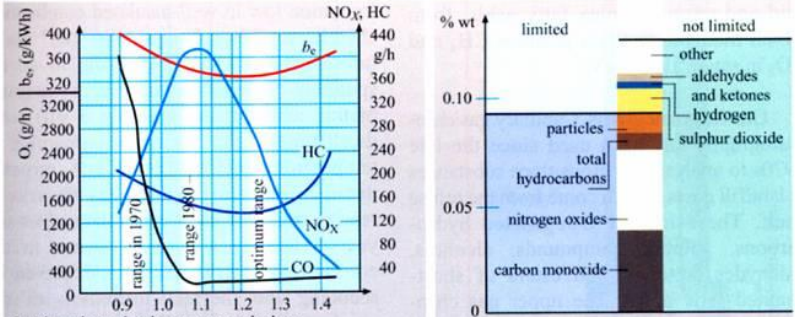


Obr. 29. Vliv recirkulace výfukových plynů na jejich složení

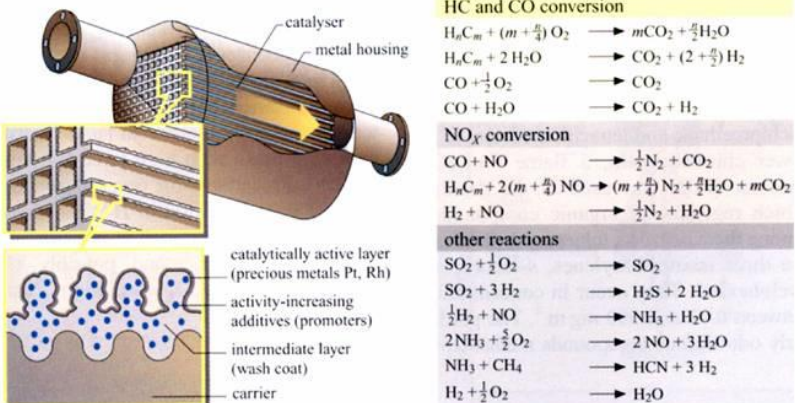
# Exhalace v dopravě



## 1. Parameters influencing exhaust gas composition



## 2. Air ratio and exhaust gas emissions with combustion engines



## 4. Construction of catalyser

Figure 2.5.11 Automobile exhaust and its cleaning

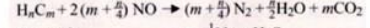


## 3. Exhaust gas components

### HC and CO conversion



### NO<sub>x</sub> conversion



### other reactions



## 5. Chemical reactions in catalyser

# Exhalace v dopravě

## Opatření na straně výfukových plynů

### Zážehové motory

Termická následná oxidace – prodloužení prodlevy plynů ve výfukovém systémů při co nejvyšší T přítomnosti přebytku  $O_2 \Rightarrow$  snížení CO, HCs  $\Rightarrow$  obtížné zachování dostatečně vysoké T  $\Rightarrow$  nízká účinnost – 30 – 50%

Již se nepoužívá

# Exhalace v dopravě

## Katalytická likvidace škodlivin

Dopálení CO, RH, NOx

Redukce NOx pomocí RH, CO  
+ oxidace zbytku kyslíkem

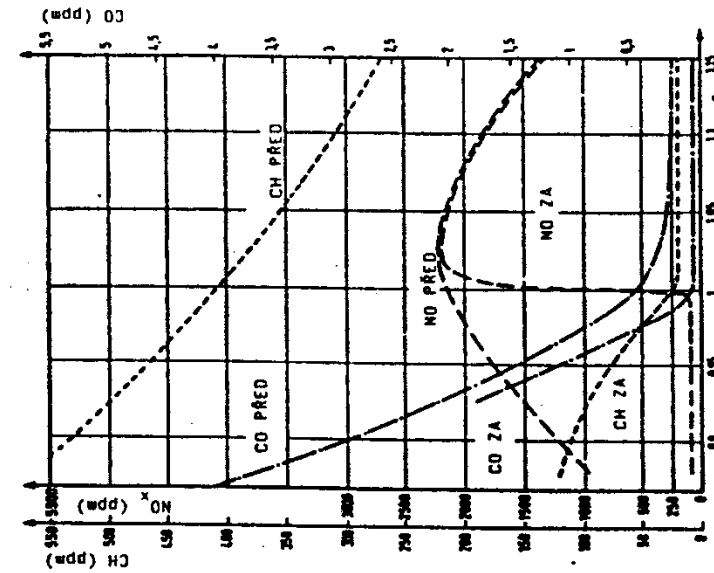
Může být spojeno v jeden  
Třícestný katalyzátor

$\lambda = \text{poměr palivo/vzduch}$   
regulace pomocí 1 -  
sondy - čidlo citlivé na  
obsah O<sub>2</sub> ve výfukových  
plynech

Signál ovládá minimálním zpožděním přípravu palivové směsi

**Katalyzátor** – keramika voštinového typu, potažená aluminou, impregnovanou  
vlastním katalyzátorem – směs Pt + Rh

**Bezolovnatý benzín** - účinnost 80 000km



Obr.30. Účinnost třícestného katalyzátoru v závislosti na lambda

# Exhalace v dopravě

